

Tiltaksrettet vassdragsovervåking for Hurdalsvassdraget/Vorma 2022



RAPPORT

| Hovedkontor | NIVA Region Sør | NIVA Region Innlandet | NIVA Region Vest | NIVA Danmark |
|--|--|---|---|---|
| Økernveien 94 0579 Oslo Telefon (47) 22 18 51 00 | Jon Lilletuns vei 3 4879 Grimstad Telefon (47) 22 18 51 00 | Sandvikaveien 59 2312 Ottestad Telefon (47) 22 18 51 00 | Thormøhlensgate 53 D 5006 Bergen Telefon (47) 22 18 51 00 | Njalsgade 76, 4. sal 2300 København S, Danmark Telefon (45) 39 17 97 33 |

Internett: www.niva.no

| | | |
|---|---|------------------------------|
| Tittel Tiltaksrettet vassdragsovervåking for Hurdalsvassdraget/Vorma 2022 | Løpenummer 7845-2023 | Dato 21.03.2023 |
| Forfatter(e) Johnny Håll, Tor-Erik Eriksen & Birger Skjelbred | Fagområde Overvåking | Distribusjon Åpen |
| | Geografisk område Viken fylke | Sider 67 + vedlegg |

| | |
|---|---|
| Oppdragsgiver(e) Vannområdet Hurdalsvassdraget/Vorma (Huvo) | Kontaktperson hos oppdragsgiver Helge B. Pedersen |
| | Utgitt av NIVA Prosjektnummer 220090 |

Sammendrag

Rapporten presenterer resultatene fra tiltaksrettet overvåking av 18 vannlokaliteter fordelt på 12 elver og én innsjø i Vannområdet Hurdalsvassdraget /Vorma (Huvo) i 2022. Totalt 8 av 18 vannlokaliteter ble klassifisert til *god* eller *svært god* fysisk-kjemisk tilstand med hensyn til eutrofiering i 2022. Fire vannlokaliteter ble klassifisert til *moderat* fysisk-kjemisk tilstand og 6 stasjoner til *dårlig* tilstand. 7 vannlokaliteter hadde bedre fysisk-kjemisk tilstand i 2022 sammenlignet med i 2021. Vannlokaliteten Nessa ble som eneste stasjon klassifisert til verre fysisk-kjemisk tilstand (*dårlig*) sammenlignet med i 2021 (*moderat*). I tillegg ble Hersjøen vurdert til *dårlig* økologisk tilstand i 2022 basert på kvalitetselementet planteplankton, hvilket er en forverring av tilstanden sammenlignet med i 2021 (moderat). Én vannforekomst ble typifisert som leirvassdrag i 2022 (vanntype R111), mens 7 vannforekomster lå nær grensen til leirvassdrag.

| | |
|--|---|
| Fire emneord | Four keywords |
| 1. Eutrofiering 2. Leirelver 3. Fysisk-kjemisk klassifisering 4. Økologisk tilstand | 1. Eutrophication 2. Clay rivers 3. Physico-chemical classification 4. Ecological status |

Denne rapporten er kvalitetssikret iht. NIVAs kvalitetssystem og godkjent av:

Johnny Håll
Prosjektleder/Hovedforfatter

Jan-Erik Thrane
Kvalitetssikrer
ISBN 978-82-577-7581-0
NIVA-rapport ISSN 1894-7948

Laurence Carvalho
Forskningsleder

Tiltaksrettet vassdragsovervåking for
Hurdalsvassdraget/Vorma 2022

Forord

Rapporten presenterer resultatene fra tiltaksrettet overvåking av eutrofitilstanden til 18 vannlokaliteter fordelt på 12 elver og én innsjø i Vannområdet Hurdalsvassdraget /Vorma (Huvo) i 2022. Overvåking er utført på oppdrag av Huvo, som er et samarbeidsorgan eid av kommunene Eidsvoll, Nes, Hurdal, Nannestad, Ullensaker, Østre Toten, Gran, Stange og Nord-Odal. Kontaktperson hos oppdragsgiver har vært daglig leder for Huvo, Helge B. Pedersen.

Overvåkingen er gjennomført av Norsk institutt for vannforsking (NIVA), og Johnny Håll har vært prosjektleder for NIVA.

Feltarbeidet ble utført av Eivind Ekholt Andersen og Johnny Håll, med assistanse fra Helge B. Pedersen på første prøvetakingsrunde. Analyser, utregninger av indekser og vurdering av resultatene for planterplankton er utført av Birger Skjelbred. De vannkjemiske analysene ble utført ved NIVAs laboratorium, med Eurofins som underleverandør til NIVA for analysene av total-nitrogen og *E.coli*. Analyse av vannkjemiske data og klassifisering av fysisk-kjemiske parametere er gjort av Johnny Håll og Jan-Erik Thrane, mens Johnny Håll og Tor-Erik Eriksen har stått for rapportskrivingen.

Roar Brænden har hatt ansvaret for overføringen av data til Vannmiljø. Rapporten er kvalitetssikret av Jan-Erik Thrane og forskningsleder Laurence Carvalho.

Samtlige takkes for velvillig samarbeid.

Oslo, 21. mars 2023

Johnny Håll

Innholdsfortegnelse

| | | |
|----------|---|-----------|
| 1 | Introduksjon..... | 10 |
| 1.1 | Bakgrunn | 10 |
| 2 | Metode | 11 |
| 2.1 | Overvåkningsprogram..... | 11 |
| 2.2 | Nedbørsforhold 2022..... | 14 |
| 2.3 | Vannprøvetaking..... | 14 |
| 2.4 | Analyse..... | 15 |
| 2.4.1 | Fysisk-kjemiske og biologiske parametere | 15 |
| 2.5 | Typifisering og klassifisering av vannlokaliteter | 15 |
| 2.5.1 | E-coli | 19 |
| 2.5.2 | Biologiske kvalitetselementer | 19 |
| 2.5.3 | Samlet økologisk tilstandsvurdering | 19 |
| 3 | Resultater..... | 20 |
| 3.1 | Vannforekomst Hersjøen (002-4158-L) | 20 |
| 3.1.1 | Vannlokalitet Hersjøen (Hersj) | 20 |
| 3.2 | Vannforekomst Risa (002-3789-R) | 25 |
| 3.2.1 | Vannlokalitet Risa ved Haga (Risa-Ha)..... | 25 |
| 3.3 | Vannforekomst Risa bekkefelt (002-3790-R) | 27 |
| 3.3.1 | Vannlokalitet Gudmundsbekken (Risa-Gud) | 27 |
| 3.3.2 | Vannlokalitet Gudmundsbekken (Gudm-2) | 29 |
| 3.4 | Vannforekomst Hersjøen bekkefelt (002-3793-R)..... | 31 |
| 3.4.1 | Vannlokalitet Bjørtombekken (Elst-Bjø3)..... | 31 |
| 3.5 | Vannforekomst Hæravassdraget (002-3734-R) | 33 |
| 3.5.1 | Vannlokalitet Hæra ved Østli (Hæra-Øs) | 33 |
| 3.6 | Vannforekomst Høverelva/Hurdalselva (002-2568-R) | 35 |
| 3.6.1 | Vannlokalitet Hurdalselva nederst (Hurd)..... | 35 |
| 3.7 | Vannforekomst Sentrumsbekkene (002-1582-R) | 38 |
| 3.7.1 | Vannlokalitet Bekk i Eidsvoll sentrum (Sen) | 38 |
| 3.8 | Vannforekomst Andelva (002-3785-R) | 41 |
| 3.8.1 | Vannlokalitet Andelva ved Bårlidalen (And)..... | 41 |
| 3.9 | Vannforekomst Løykjbekken (002-3787-R) | 44 |
| 3.9.1 | Vannlokalitet Løykjbekken (Løykj)..... | 44 |
| 3.10 | Vannforekomst Nessa (002-3760-R)..... | 47 |
| 3.10.1 | Vannlokalitet Nessa nedstrøms Nesfossen (Nessa) | 47 |
| 3.11 | Vannforekomst Jøndalsåa (002-3777-R)..... | 50 |
| 3.11.1 | Vannlokalitet Jøndalsåa ved utløp i Vorma (Hols-Ne)..... | 50 |
| 3.12 | Vannforekomst Tilløpsbekker Vorma nord for Sundet (002-1545-R)..... | 52 |
| 3.12.1 | Vannlokalitet Bekk ved Røkholt/Måevja (Vo-N-Røkh) | 52 |
| 3.12.2 | Vannlokalitet Bekk ved Dokknes (Vo-N-Dokn) | 55 |
| 3.13 | Vannforekomst Tilløpsbekker Vorma sør for Sundet (002-1581-R) | 57 |

| | | |
|----------|---|-----------|
| 3.13.1 | Vannlokalitet – Brådalsbekken (Vo-S-Brå) | 57 |
| 3.13.2 | Vannlokalitet Ilebekken ved Gullhaug (Vo-S-Gul) | 59 |
| 3.13.3 | Vannlokalitet Bekk ved Fosserud (Vo-S-Fos)..... | 62 |
| 3.14 | Vannforekomst Stensbyelva (002-1540-R) | 65 |
| 3.14.1 | Vannlokalitet Stensbyelva Midtre (Sten-Mi)..... | 65 |
| 4 | Referanser..... | 67 |

Sammendrag

NIVA har i 2022 gjennomført tiltaksrettet overvåking i Vannområdet Hurdalsvassdraget /Vorma med hensyn til eutrofiering. Vannforekomstene som inngikk i overvåkningsprogrammet, har tidligere blitt vurdert til moderat eller dårlig økologisk tilstand. På bakgrunn av dette ble det i 2022 gjennomført månedlig prøvetaking i perioden mai til oktober på 18 stasjoner fordelt på 12 elver og én innsjø (Hersjøen). Elveprøvene ble analysert for næringssalter og *E.coli*, der konsentrasjonen av total-fosfor ble benyttet for vurdering av eutrofitilstand. Biologiske undersøkelser i elvene skal først gjøres i 2024. I tillegg ble en ny stasjon i Gudmundsbekken (Gudm-2) undersøkt for vannkjemiske parametere med hensikt å avdekke eventuell fosforpåvirkning fra et oppkomme i bekken. I Hersjøen ble det i tillegg til næringssalter gjort undersøkelser av planteplankton.

Overvåkingen viste at totalt 8 av 18 vannlokaliteter ble klassifisert til *god* eller *svært god* fysisk-kjemisk tilstand med hensyn til eutrofiering i 2022 (**Tabell 1**). Fire vannlokaliteter ble klassifisert til *moderat* fysisk-kjemisk tilstand og 6 stasjoner til *dårlig* tilstand. Hele 7 vannlokaliteter hadde bedre fysisk-kjemisk tilstand i 2022 sammenlignet med i 2021. Vannlokaliteten Nessa ble som eneste stasjon klassifisert til verre fysisk-kjemisk tilstand (*dårlig*) sammenlignet med i 2021 (*moderat*). I tillegg ble Hersjøen vurdert til *dårlig* økologisk tilstand i 2022 basert på kvalitetselementet planteplankton, hvilket er en forverring av tilstanden sammenlignet med i 2021 (*moderat*) (**Tabell 2**).

Vannlokalitet Stensbyelva Midtre (Sten-Mi) ble etablert i juli i 2022 som erstatning for vannlokalitet Stensbyelva Nedre (Sten-Ne) grunnet fysiske endringer på sistnevnte stasjon. Siden stasjonen ved Stensbyelva Nedre kun ble prøvetatt to ganger (i mai og juni) ble den ikke klassifisert i 2022. Den nyetablerte stasjonen ved Stensbyelva Midtre ble klassifisert til *svært god* fysisk-kjemisk tilstand basert på total-fosfor målt ved fire anledninger i perioden juli til oktober. De vannkjemiske målingene i 2022 samsvarer bra med de tidligere målte resultatene, og det er grunn til å anta at flyttingen av målestasjon fortsatt gir et riktig bilde av elvas miljøtilstand.

En vannforekomst ble typifisert som leirvassdrag i 2022 (vanntype R111), mens 7 vassdrag lå nær grensen til leirvassdrag. I tilfeller der vannforekomsten lå på grensen mellom to vanntyper valgte vi å typifisere vannforekomsten etter vanntypen med de strengeste klassegrensene. Dette i henhold til klassifiseringsveilederen.

Tabell 1. Fysisk-kjemisk klassifisering for hver enkelt vannlokalitet i perioden 2011-2022. For perioden 2019-2021 vises også samlet fysisk-kjemisk klassifisering.

| Stations ID | Kode vannlokalitet | Stasjonsnavn | Vanntype brukt i rapporten | Vanntype Vann-Nett | Fysisk-kjemisk klassifisering 2011-2014 | Fysisk-kjemisk klassifisering 2015-2016 | Fysisk-kjemisk klassifisering 2017 | Fysisk-kjemisk klassifisering 2018 | Fysisk-kjemisk klassifisering 2019 | Fysisk-kjemisk klassifisering 2020 | Fysisk-kjemisk klassifisering 2021 | Samlet fysisk-kjemisk klassifisering 2019-2021 | Fysisk-kjemisk klassifisering 2022 | |
|-------------|--------------------|---------------------------------------|----------------------------|--------------------|---|---|------------------------------------|------------------------------------|------------------------------------|------------------------------------|------------------------------------|--|------------------------------------|-----------|
| Risa-Ha | 002-82954 | Risa ved Haga (Risa-Ha) | R109 | R109 | Moderat | Moderat | God | God | God | God | Moderat | God | Moderat | |
| Risa-Gud | 002-58999 | Gudmundsbekken (Risa-2) | R110 | R109 | Moderat | God | Svært god | Svært god | God | God | Moderat | God | Svært god | |
| Gudm-2 | 002-111226 | Gudmundsbekken (Gudm-2) ^{Ny} | R110 | R109 | - | - | - | - | - | - | - | - | - | Svært god |
| Elst-Bjø3 | 002-79011 | Bjørtomtbekken | R109 | R109 | Moderat | Moderat | Moderat | Moderat | God | Moderat | Moderat | Moderat | Moderat | God |
| Hæra-Øs | 002-58987 | Hæra v/Østli (Hær 1) | R108 | R108 | <God/Moderat | <God/Moderat | <God/Moderat | <God/Moderat | <God/Moderat | <God/Moderat | Moderat | Moderat | Moderat | Moderat |
| Hurd | 002-58990 | Hurdalselva, nederst | R206 | | Svært god | Svært god | God | Moderat | God | Svært god | God | Svært god | Svært god | |
| Sen | 002-58994 | Bekk i Eidsvoll sentrum | R110 | x | <God/Moderat | <God/Moderat | <God/Moderat | <God/Moderat | <God/Moderat | <God/Moderat | Dårlig | Dårlig | Dårlig | |
| And | 002-30592 | Andelva ved Bårlidalen | R107 | R109 | <God/Moderat | >God/Moderat | >God/Moderat | >God/Moderat | >God/Moderat | >God/Moderat | God | God | God | God |
| Løykj | 002-79009 | Løykjebekken | R110 | R111 | <God/Moderat | >God/Moderat | <God/Moderat | >God/Moderat | <God/Moderat | <God/Moderat | Dårlig | Moderat | Moderat | Moderat |
| Nessa | 002-59003 | Nessa nedstrøms Nesfossen (Ne1) | R109 | R111 | >God/Moderat | <God/Moderat | <God/Moderat | <God/Moderat | <God/Moderat | <God/Moderat | Moderat | Moderat | Moderat | Dårlig |
| Hols-Ne | 002-59002 | Jøndalsåa ved utløp i Vorma (Hs2) | R206 | R206 | Dårlig | Moderat | God | Dårlig | God | God | Moderat | God | God | God |
| Vo-N-Røkh | 002-58991 | Bekk ved Måeveja (Røkholt) | R109 | R111 | <God/Moderat | >God/Moderat | <God/Moderat | >God/Moderat | <God/Moderat | <God/Moderat | Svært dårlig | Svært dårlig | Svært dårlig | Dårlig |
| Vo-N-Dokn | 002-58993 | Bekk ved Doknnes | R111 | R111 | <God/Moderat | <God/Moderat | <God/Moderat | <God/Moderat | <God/Moderat | <God/Moderat | Moderat | Moderat | >God/Moderat | |
| Vo-S-Brå | 002-79010 | Brådalsbekken | R108 | R111 | <God/Moderat | <God/Moderat | <God/Moderat | <God/Moderat | <God/Moderat | <God/Moderat | Dårlig | Dårlig | Dårlig | Dårlig |
| Vo-S-Gul | 002-58997 | Ilebekken ved Gullhaug | R108 | R111 | <God/Moderat | <God/Moderat | <God/Moderat | <God/Moderat | <God/Moderat | <God/Moderat | Moderat | Moderat | Moderat | Moderat |
| Vo-S-Fos | 002-58996 | Bekk ved Fosserud | R108 | R111 | <God/Moderat | <God/Moderat | <God/Moderat | <God/Moderat | <God/Moderat | <God/Moderat | Dårlig | Moderat | Moderat | Dårlig |
| Sten-Ne | 002-59001 | Stensbyelva ved Berger (Ste 2) | | R107 | Moderat | God | Svært god | God | God | God | God | Svært god | - | |
| Sten-Mi | 002-111227 | Stensbyelva Midtre ^{Ny} | R107 | R107 | - | - | - | - | - | - | - | - | - | Svært god |

Tabell 2. Økologisk tilstandsvurdering for Hersjøen (over dypeste punkt) i perioden 2015-2022. For perioden 2019-2021 vises også samlet økologisk tilstand.

| Stations ID | Kode vannlokalitet | Stasjonsnavn | Vanntype brukt i rapporten | Vanntype Vann-Nett | Økologisk tilstandsvurdering 2011-2014 | Økologisk tilstandsvurdering 2015-2016 | Økologisk tilstandsvurdering 2017 | Økologisk tilstandsvurdering 2018 | Økologisk tilstandsvurdering 2019 | Økologisk tilstandsvurdering 2020 | Økologisk tilstandsvurdering 2021 | Samlet økologisk tilstandsvurdering 2019-2021 | Økologisk tilstandsvurdering 2022 | |
|-------------|--------------------|-------------------------------|----------------------------|--------------------|--|--|-----------------------------------|-----------------------------------|-----------------------------------|-----------------------------------|-----------------------------------|---|-----------------------------------|--------|
| Hersj | 002-37952 | Hersjøen (over dypeste punkt) | L109 | L109 | - | Moderat | Moderat | Moderat | Dårlig | Moderat | Moderat | Moderat | Moderat | Dårlig |

Tabell 3. Økologisk tilstandsvurdering for hver enkelt vannlokalitet i perioden 2011-2014 og for 2017, samt samlet økologisk tilstandsvurdering for perioden 2019-2021.

| Stations ID | Kode vannlokalitet | Stasjonsnavn | Vanntype brukt i rapporten | Vanntype Vann-Nett | Økologisk tilstandsvurdering 2011-2014 | Økologisk tilstandsvurdering 2017 | Samlet økologisk tilstandsvurdering 2019-2021 |
|-------------|--------------------|---------------------------------------|----------------------------|--------------------|--|-----------------------------------|---|
| Hersj | 002-37952 | Hersjøen (over dypeste punkt) | L109 | L109 | - | Moderat | Moderat |
| Risa-Ha | 002-82954 | Risa ved Haga (Risa-Ha) | R109 | R109 | Moderat | Moderat | Moderat |
| Risa-Gud | 002-58999 | Gudmundsbekken (Risa-2) | R110 | R109 | Moderat | God | God |
| Gudm-2 | 002-111226 | Gudmundsbekken (Gudm-2) ^{Ny} | R110 | R109 | - | - | - |
| Elist-Bjø3 | 002-79011 | Bjørtombekken | R109 | R109 | Moderat | Moderat | Moderat |
| Hæra-Øs | 002-58987 | Hæra v/Østli (Hær 1) | R108 | R108 | Svært dårlig | Moderat | Moderat |
| Hurd | 002-58990 | Hurdalselva, nederst | R206 | | God | God | God |
| Sen | 002-58994 | Bekk i Eidsvoll sentrum | R110 | x | Svært dårlig | Dårlig | Dårlig |
| And | 002-30592 | Andelva ved Bårlidalen | R107 | R109 | Moderat | God | Moderat |
| Løykj | 002-79009 | Løykjebekken | R110 | R111 | Moderat | Moderat | Moderat |
| Nessa | 002-59003 | Nessa nedstrøms Nesfossen (Ne1) | R109 | R111 | Moderat | Moderat | Moderat |
| Hols-Ne | 002-59002 | Jøndalsåa ved utløp i Vorma (Hs2) | R206 | R206 | Moderat | Moderat | Moderat |
| Vo-N-Røkh | 002-58991 | Bekk ved Måevja (Røkholt) | R109 | R111 | Dårlig | Moderat | Svært dårlig** |
| Vo-N-Dokn | 002-58993 | Bekk ved Doknes | R111 | R111 | - | Moderat | Moderat |
| Vo-S-Brå | 002-79010 | Brådalsbekken | R108 | R111 | Moderat | Moderat | Moderat |
| Vo-S-Gul | 002-58997 | Ilebekken ved Gullhaug | R108 | R111 | Moderat | Moderat | Moderat |
| Vo-S-Fos | 002-58996 | Bekk ved Fosserud | R108 | R111 | Dårlig | Moderat | Moderat |
| Sten-Ne | 002-59001 | Stensbyelva ved Berger (Ste 2) | | R107 | Moderat | God | Moderat |
| Sten-Mi | 002-111227 | Stensbyelva Midtre ^{Ny} | R107 | R107 | - | - | - |

* Usikker tilstand, lav pålitelighet for begroingsalger i 2021.

Summary

Title: Measure-oriented watercourse monitoring for Hurdalsvassdraget/Vorma 2022

Year: 2023

Author(s): Johnny Håll, Tor-Erik Eriksen & Birger Skjelbred

Source: Norwegian Institute for Water Research, ISBN 978-82-577-7581-0

In 2022, NIVA carried out operational monitoring in the Hurdalsvassdraget/Vorma water district with regard to eutrophication. The water bodies that were included in the monitoring programme have previously been assessed as having a moderate or worse ecological status. Based on this, in 2022 monthly sampling was carried out in the period from May to October at 18 stations spread over 12 rivers and one lake (Lake Hersjøen). The river samples were analyzed for nutrients and *E.coli*, with the concentration of total-phosphorus used to assess the trophic state of the rivers. Biological surveys will not be carried out until 2024. In addition, a new station in the Gudmundsbekken (Gudm-2) was examined for water quality parameters with the aim of uncovering any phosphorus impact from a groundwater upwelling in the stream. In Lake Hersjøen, in addition to nutrients, phytoplankton were surveyed.

The monitoring showed that a total of 8 out of 18 locations were classified with *good* or *high* physico-chemical status with regard to eutrophication in 2022 (**Tabell 1**). Four locations were classified with *moderate* physico-chemical status, and 6 stations with *poor* status. As many as 7 locations had a better physico-chemical status in 2022 compared to 2021. The Nessa location was the only location classified with worse physico-chemical status (*poor*) compared to 2021 (*moderate*). In addition, Lake Hersjøen was assessed as having a *poor* ecological status in 2022 based on the quality element phytoplankton, which is a worsening of the *moderate* status recorded in 2021 (**Tabell 2**).

The sampling location Stensbyelva Midtre (Sten-Mi) was established in July 2022 as a replacement for Stendbyelva Nedre (Sten-Ne) due to physical changes at the latter station. Since the station at Stensbyelva Nedre was only sampled twice (in May and June), it was not classified in 2022. The newly established station at Stensbyelva Midtre was classified as *high* physico-chemical status based on the total-phosphorus measured on four occasions in the period July until October. The water chemistry measurements in 2022 corresponded well with the previously measured results, and it is reasonable to assume that the relocation of the station still gives a correct picture of the river's environmental condition.

One watercourse was typified as a clay river in 2022 (water type R111), while 7 watercourses were close to being defined as clay rivers. In the cases where the water body was on the border between two water types, we chose to typify the watercourse according to the water type with the strictest class boundaries. This is in accordance with the classification guide.

1 Introduksjon

1.1 Bakgrunn

Vannområdet Hurdalsvassdraget/Vorma (Huvo) er et regionalt samarbeidsorgan som skal støtte implementeringen av EUs vanndirektiv og være pådriver for at målene i vannforskriften nås. Det er en del av Vannregion Innlandet og Viken. Vannområdet består av ni kommuner – Eidsvoll, Nes, Hurdal, Nannestad, Ullensaker, Østre Toten, Gran, Stange og Nord-Odal.

Ved implementeringen av vannforskriften har alle vannforekomster i Norge fått konkrete og målbare miljømål, ved at minimum *god tilstand* skal oppnås. Vannforskriften har som mål å sikre beskyttelse og bærekraftig bruk av vannmiljøet, og om nødvendig iverksette tiltak for at miljømålene nås. Fundamentalt i vannforskriften er at det foretas en karakterisering og klassifisering av vannforekomstene. Karakteriseringen inndeler vannforekomster i vanntyper, identifiserer belastninger og miljøvirkninger av belastningene, mens klassifiseringen definerer den faktiske tilstanden i en vannforekomst.

Som et minimumskrav skal det biologiske kvalitetselementet som er mest følsom for belastningen inngå i overvåningsprogrammet, samt relevante fysisk-kjemiske støtteparametere. Alle EUs prioriterte miljøgifter som slippes ut i vannforekomsten skal overvåkes, samt andre forurensende stoffer som slippes ut i betydelige mengder, såkalt vannregionspesifikke stoffer.

Målet med dette prosjektet har vært å klassifisere miljøtilstand for vannforekomster i Vannområde Huvo der det er tvil om vannforskriftens miljømål oppnås. Huvo ønsker å videreføre det tiltaksrettede overvåningsprogrammet fra 2015-2021 til kommende planperiode i 2022-2027. Overvåningsprogrammet omfatter 13 vannforekomster som tidligere har blitt vurdert til moderat økologisk tilstand eller dårligere, samt generell resipientovervåking i Hurdalselva. Det er i programmet til sammen 16 stasjoner fordelt på 12 elver og én innsjø som skal overvåkes med hensyn til eutrofiering. I tillegg ble en ny stasjon i Gudmundsbekken (Gudm-2) undersøkt for vannkjemiske parametere månedlig i perioden mai til oktober i 2022.

Denne rapporten omhandler undersøkelser og klassifisering av utvalgte vannforekomster i Huvo på bakgrunn av vannkjemi og planteplankton (Hersjøen) med prøver tatt i 2022. Rapporten presenterer i hovedsak resultater fra 2022, og gir en klassifisering kun for dette året. En samlet tilstandsvurdering vil først kunne gjennomføres i 2024 når de biologiske kvalitetselementene bunndyr og begroing inngår i overvåkingen. Rapporten beskriver metodene som er benyttet og omtaler hvordan tilstandsklassifiseringen er gjennomført. Tilstandsvurderingene er sammenstilt og presentert i form av faktaark for hver vannforekomst. Primærdata er gitt som vedlegg og rapportert til Vannmiljø-databasen.

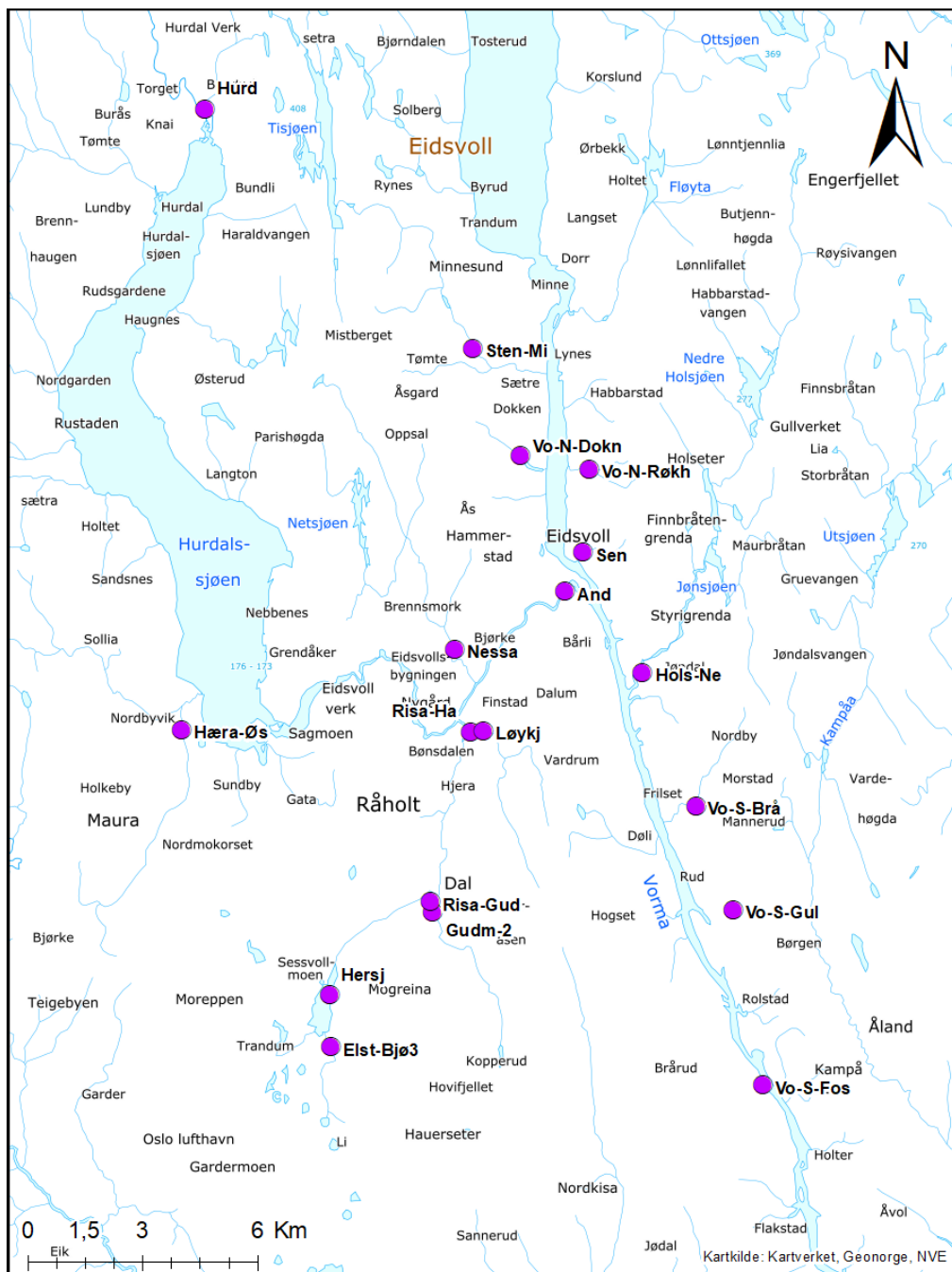
2 Metode

2.1 Overvåkningsprogram

Det oppsatte overvåkningsprogrammet (2022-2027) skal dekke kommunenes behov for tiltaksrettet vassdragsovervåkning for Huvo i tråd med vannforskriftens bestemmelser. I programmet inngår det fysisk-kjemisk og bakteriologisk parametere, samt biologiske kvalitetselementer (planteplankton, påvekstalger og bunndyr). De utvalgte parameterne overvåkes med ulik frekvens gjennom perioden. Det tas månedlige vannprøver hvert år i sommerhalvåret, mens bunndyr- og påvekstalger undersøkes i 2024 og i 2027. Planteplanktonprøver tas fra innsjøen alle seks årene. I 2022 ble det tatt vannprøver for analyse av fysisk-kjemiske og bakteriologiske (*Escherichia coli*; *E. coli*) parametere fra 18 stasjoner, samt plantepunkton fra en stasjon (**Figur 1; Tabell 5**). Vannkjemi ble prøvetatt en gang i måneden i perioden mai-oktober 2022. Datoene for prøvetaking er presentert i **Tabell 4**.

Tabell 4. Datoer for vannprøvetaking i 2022.

| Dato for vannprøvetaking |
|-----------------------------|
| 24. mai. |
| 28. jun. |
| 19. jul. |
| 18. aug. |
| 22. sep. |
| 18. okt. |



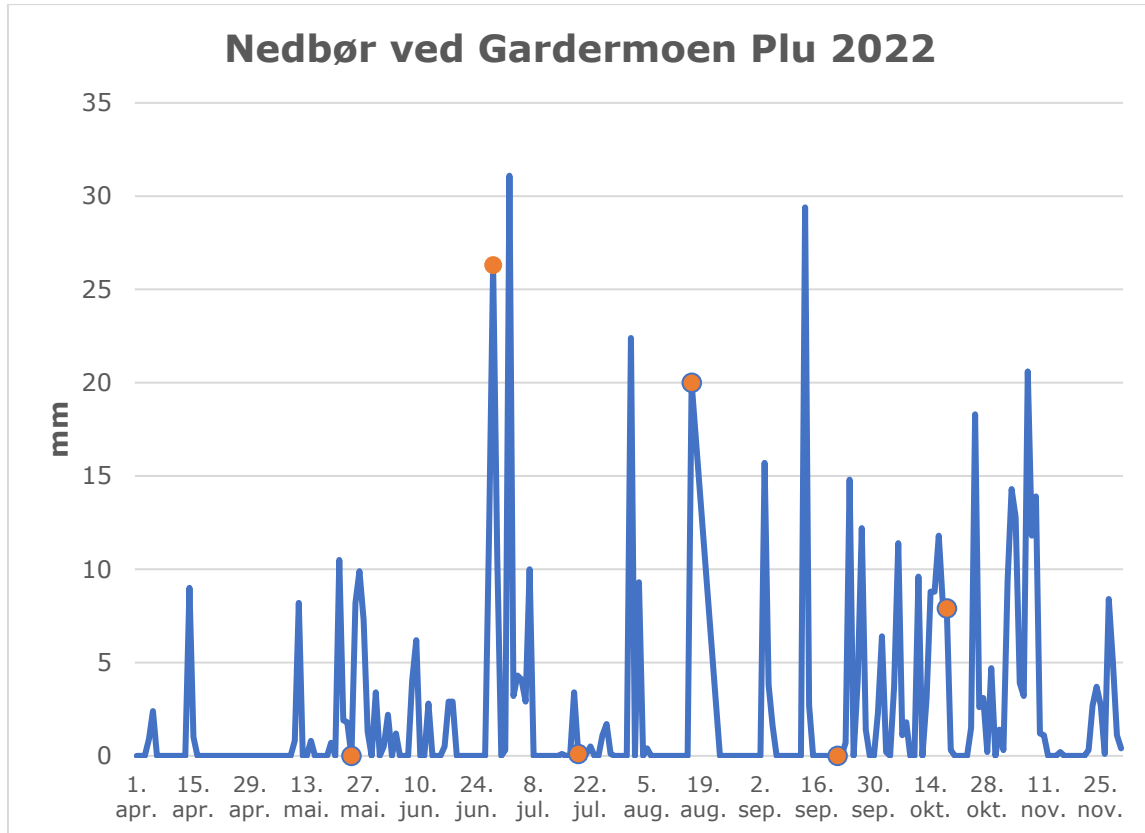
Figur 1. Kartutsnitt med prøvetakingsstasjoner som ble undersøkt i 2022. Se **Tabell 5** for stasjonskoordinater.

Tabell 5. Stasjonsoversikt med stasjonskode, kode for vannlokalitet i Vannmiljø og vannforekomst i Vann-nett, koordinater for prøvetaking, samt vanntype. «Vanntype Vann-nett» angir typen oppgitt i Vann-nett, mens «Vanntype brukt i 2022» angir typen basert på overvåkingsdata på kalsium, farge og suspendert tørrstoff (STS) og gløderest (SGR). Alternativ vanntype er oppgitt for vannforekomster som ligger på grensen mellom to typer.

| Stasjons ID | Stasjonsnavn/Vannlokalitet | Kode vannlokalitet | Vannforekomst | Kode vannforekomst | Tidligere vannforekomst | Kommune | UTM-33 nord | UTM-33 øst | Vanntype Vann-Nett | Vanntype brukt i 2022 (NIVA) | Alternativ vanntype i 2022 (NIVA) | Vanntype 2021 (Rambøll) |
|-------------|-----------------------------------|--------------------|-------------------------------------|--------------------|--|----------------------|-------------|------------|--------------------|------------------------------|-----------------------------------|-------------------------|
| Hersj | Hersjøen (over dypeste punkt) | 002-37952 | Hersjøen | 002-4158-L | - | Ullensaker | 6682389 | 287174 | L109 | L109 | - | - |
| Risa-Ha | Risa ved Haga (Risa-Ha) | 002-82954 | Risa | 002-3789-R | Risa med tilløpsbekker (002-2347-R) | Eidsvoll | 6689275 | 290869 | R109 | R109 | - | - |
| Risa-Gud | Gudmundsbekken (Risa-2) | 002-58999 | Risa bekkefelt | 002-3790-R | Risa med tilløpsbekker (002-2347-R) | Eidsvoll/ Ullensaker | 6684815 | 289815 | R109 | R110 | - | - |
| Gudm-2 | Gudmundsbekken (Gudm-2) | 002-111226 | Risa bekkefelt | 002-3790-R | Risa med tilløpsbekker (002-2347-R) | Eidsvoll/ Ullensaker | 6684557 | 289882 | R109 | R110 | - | - |
| Eist-Bjø3 | Bjørtombekken | 002-79011 | Hersjøen bekkefelt | 002-3793-R | Eistad bekkefelt (002-2348-R) | Ullensaker | 6681019 | 287199 | R109 | R109 | - | - |
| Hæra-Øs | Hæra v/Østli (Hær 1) | 002-58987 | Hærvassdraget | 002-3734-R | Hæra (002-1576-R) | Nannestad | 6689331 | 283314 | R108 | R108 | R110 | - |
| Hurd | Hurdalselva, nedrest | 002-58990 | Høverelva/Hurdalselva | 002-1568-R | - | Hurdal | 6705567 | 283913 | R206 | R206 | R205 | - |
| Sen | Bekk i Eidsvoll sentrum | 002-58994 | Sentrumsbekkene Eidsvoll | 002-1582-R | - | Eidsvoll | 6693960 | 293798 | - | R110 | R111 | - |
| And | Andelva ved Bårlidalen | 002-30592 | Andelva | 002-3785-R | Andelva med tilløpsbekker (002-1553_R) | Eidsvoll | 6692935 | 293343 | R109 | R107 | R109/R111 | - |
| Løykj | Løykjbekken | 002-79009 | Løykjbekken | 002-3787-R | Andelva med tilløpsbekker (002-1553_R) | Eidsvoll | 6689281 | 291199 | R111 | R109 | R110/R!!! | - |
| Nessa | Nessa nedstrøms Nesfossen (Ne1) | 002-59003 | Nessa | 002-3760-R | Nessa med tilløpsbekker (002-1551-R) | Eidsvoll | 6691417 | 290462 | R111 | R109 | R110/R111 | - |
| Hols-Ne | Jøndalsåa ved utløp i Vorma (Hs2) | 002-59002 | Jøndalsåa | 002-3777-R | Holsjøvassdraget med tilløpsbekker (002-307-R) | Eidsvoll | 6690828 | 295367 | R206 | R206 | - | - |
| Vo-N-Røkh | Bekk ved Måevja (Røkholt) | 002-58991 | Tilløpsbekker Vorma nord for Sundet | 002-1545-R | - | Eidsvoll | 6696135 | 293975 | R111 | R109 | R111 | - |
| Vo-N-Dokn | Bekk bed Dokknas | 002-58993 | Tilløpsbekker Vorma nord for Sundet | 002-1545-R | - | Eidsvoll | 6696488 | 292178 | R111 | R111 | R109/R110 | R108 |
| Vo-S-Brå | Brådalsbekken | 002-79010 | Tilløpsbekker Vorma sør for Sundet | 002-1581-R | - | Eidsvoll/ Nes | 6687332 | 296757 | R111 | R108 | - | - |
| Vo-S-Gul | Ilebekken ved Gullhaug | 002-58997 | Tilløpsbekker Vorma sør for Sundet | 002-1581-R | - | Nes | 6684615 | 297744 | R111 | R108 | R111 | - |
| Vo-S-Fos | Bekk ved Fosserud | 002-58996 | Tilløpsbekker Vorma sør for Sundet | 002-1581-R | - | Nes | 6680021 | 298515 | R111 | R108 | R110/R111 | R108 |
| Sten-Mi | Stensbyelva Midtre | 002-111227 | Stensbyelva | 002-1540-R | - | Eidsvoll | 6699275 | 290961 | R107 | R107 | - | - |

2.2 Nedbørsforhold 2022

Figur 2 viser målt nedbør per døgn i prøvetakingsperioden ved Gardemoen Plu målestasjon, samt dato for hver prøvetaking. Prøvetaking i leirvassdrag bør gjøres ved normal vannføring. Dette for å unngå flomverdier av leirpartikler og partikkellbundet fosfor, som er lite representative for normaltilstanden i vassdraget. I juni begynte det å regne mens prøvetaking pågikk, og i august ble prøvetaking foretatt et par dager etter en middels nedbørepisode.



Figur 2. Total nedbør per døgn målt i mm (blå linje) ved værstasjon Gardemoen Plu med stasjons-ID SN4758 (Norsk Klimaserivcesenter 2022). Prøvetakingsdato er markert med oransje prikker. Prøvetakingsdato 18 august er markert den 16. august grunnet manglende målinger av nedbør i perioden 17-22. august.

2.3 Vannprøvetaking

Vannprøvetaking ble gjennomført månedlig i perioden mai til oktober. Vannprøver fra Hersjøen ble tatt som integrerte blandprøver fra eufotisk sone i henhold til NS-EN 16698:2015. Temperatur og oksygenkonsentrasjon (mg/l) i innsjøen ble målt med YSI 600 instrument, og siktedyb ble målt med en 25 cm i diameter Secchi-skive.

2.4 Analyse

2.4.1 Fysisk-kjemiske og biologiske parametere

Tabell 6 viser en oversikt over de metodene som NIVAs og underleverandøren Eurofins AS laboratorier har benyttet for analyse av de fysisk-kjemiske og bakteriologiske parameterne i denne undersøkelsen. Laboratoriene som er benyttet er akkreditert for de aktuelle analysene.

Tabell 6. Analysemетодer for fysisk-kjemiske og bakteriologiske parameterne målt i vannprøver. Merk at parameterne kan avvike noe i rapporten og Vannmiljø. Analysene er utført av NIVA og Eurofins AS (Tot-N og E. coli). Tot-P = totalfosfor ($\mu\text{g P/l}$); P-orto = ortofosfat ($\mu\text{g PO}_4\text{-P/l}$); Tot-N = total-nitrogen ($\mu\text{g N/l}$); kalsium (mg/l); farge (mg Pt/l); STS = suspendert tørrstoff (mg/l); SGR = suspendert gløderest (mg/l); E. coli (antall/100 ml), klorofyll a ($\mu\text{g/l}$) og ammonium ($\mu\text{g NH}_4\text{-N/l}$).

| Parameterkode i rapporten | Parameterkode i Vannmiljø | Metode |
|------------------------------|------------------------------|--|
| Tot-P | P-TOT | Intern metode; basert på NS 4725:1984 (D2-1) |
| P-Orto (filtrert) | P-ORTO (filtrert) | Intern metode; basert på NS 4725:1984 (D1-3) |
| P-Orto (ufiltrert) | P-ORTO (ufiltrert) | Intern metode; basert på NS 4725:1984 (D1-3) |
| Tot-N | N-TOT | Intern metode Eurofins |
| Kalsium | CA | SS-EN ISO 17294-2:2016 |
| Farge | FARGE | Intern metode; basert på NS-EN ISO 7887:2011 |
| STS | STS | Intern metode; basert på NS 4733:2- 1983 og NS-EN 872:2-2005 |
| SGR | S-GR | Intern metode; basert på NS 4733:2- 1983 og NS-EN 872:2-2005 |
| E. coli | E-KOLI | NS-EN ISO 9308-2:2014 |
| Klorofyll a | KLFA | SS 028146 (NS 4767) |
| Ammonium | N-NH4 | NS-EN ISO 10304-1:2009 (Anioner) NS-EN ISO 14911:1999 (Kationer) (C4- 4) |

2.5 Typifisering og klassifisering av vannlokaliteter

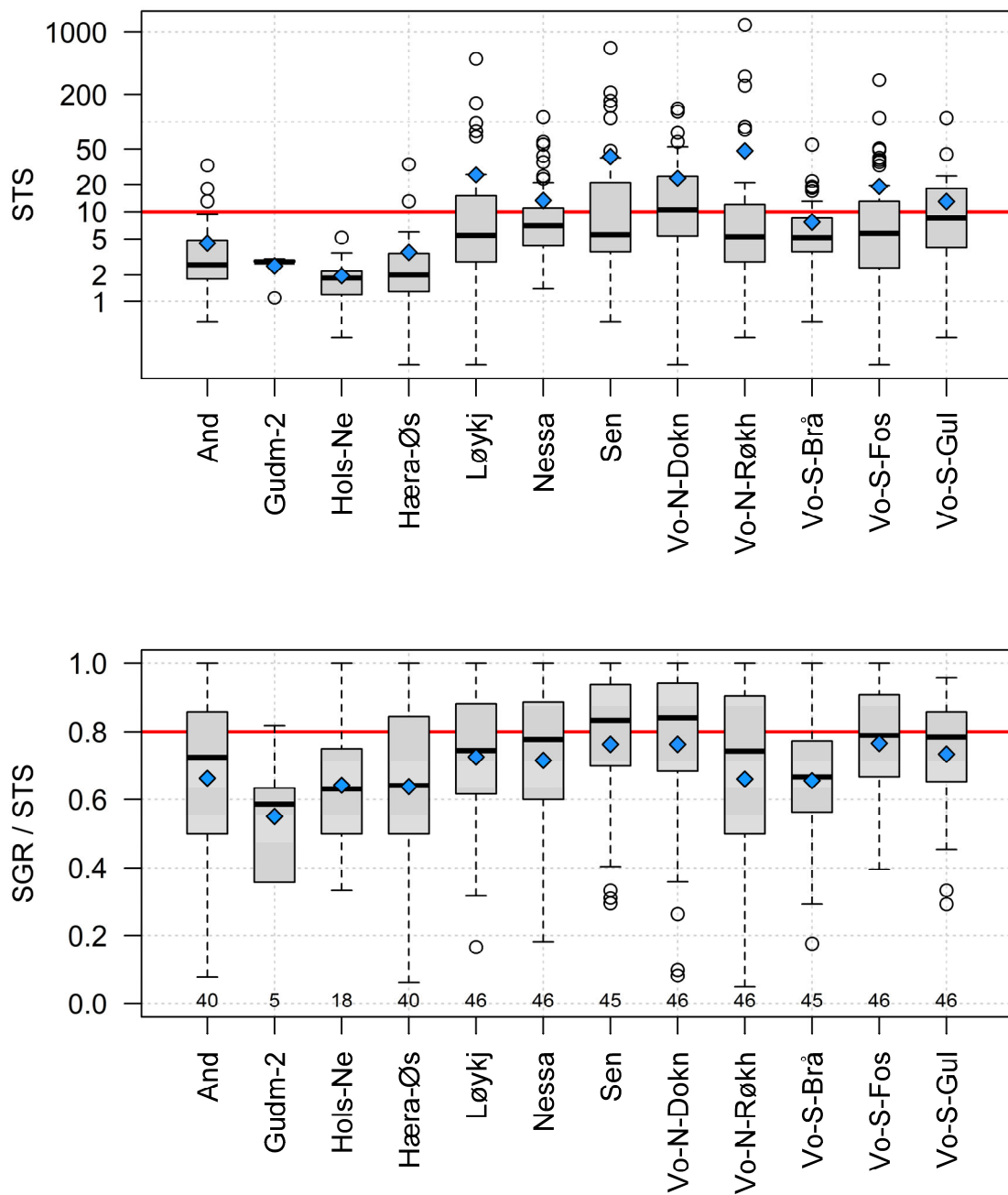
Vanntyper er bestemt på bakgrunn av tilgjengelige overvåkingsdata (2012-2022) som er hentet fra Vannmiljø (**Figur 3** og **Figur 4**). Siden det foreligger data fra mange prøvetakinger over flere år, der det sannsynligvis foreligger data fra flomepisoder, er vanntype bestemt basert på medianverdier av målingene for aktuelle parametere. I noen tilfeller ble det funnet avvik fra vanntype oppgitt i Vannnett og tidligere rapporter (vist i **Tabell 5**). I slike tilfeller har vi valgt vanntype på bakgrunn av våre analyser i denne årsrapporten, da vi mener det flerårige datagrunnlaget gir et robust bilde av vanntypen. I tilfeller der vannforekomsten ligger på grensen mellom to vanntyper (f.eks. R110

[kalkrik, klar] og R111 [leirvassdrag]) har vi valgt å typifisere vannforekomsten etter vanntypen med de strengeste klassegrensene (R110 i eksempelet over). Dette i henhold til klassifiseringsveilederen (02:2018).

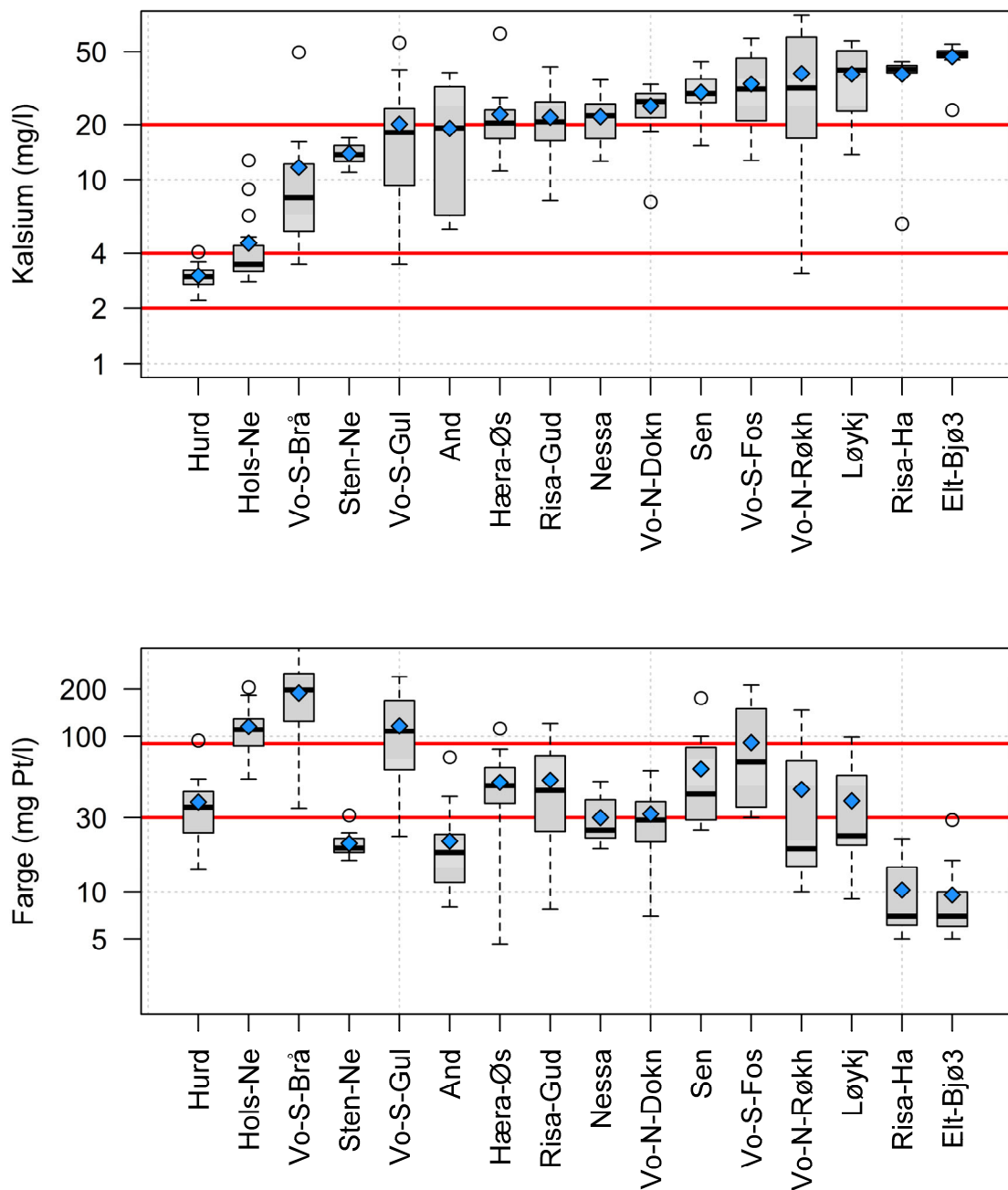
Flere av stasjonene i denne undersøkelsen ligger i områder med høyt innslag av marin leire, og det kan være spesielt utforende å vurdere miljøtilstand i slike vassdrag (Eriksen mfl. 2015). *Leirvassdrag* (vanntype R111) har ofte større innslag av leirholdige mineralpartikler bestående av forvitningsprodukter etter feltspat, glimmer og andre mineraler. Stort sett er leirmineraler aluminiumsilikater, men fosfor inngår også ofte i krystallitteret. Høyt innhold av leire i vannmassene korrelerer derfor med høye konsentrasjoner av fosfor (f.eks. total-fosfor). Som en konsekvens av dette satte Lyche Solheim mfl. (2008) opp et foreløpig rammeverk for definisjon av *leirvassdrag*, og foreslo tilpassede vannkjemiske miljømål for total-fosfor ved ulike grader av leirpåvirkning. De definerte leirvassdrag som elver med et partikkellinnhold $> 10 \text{ mg suspendert tørrstoff (STS) pr. liter}$ (middelkonsentrasjon ved normalvannføring, etter fjerning av ekstremverdier), der maks 20 % forsvinner ved oppvarming til 550°C (definert som gløderest, SGR, som altså utgjør den uorganiske andelen av STS). Dette systemet brukes også etter klassifiseringsveileder 02:2018 (Direktoratsgruppen vanndirektivet 2018). I denne rapporten er leirpåvirkning av stasjonene vurdert på bakgrunn av medianverdier for STS og SGR (STS $> 10 \text{ mg/L}$ og SGR/STS $> 0,8$; **Figur 3**) fra tilgjengelige overvåkingsdata fra stasjonene (2012-2022), samt kriterier for leirdekningsgrad i nedbørsfeltene som beskrevet i klassifiseringsveileder 02:2018.

For å klassifisere tilstand har vi brukt klassegrenser iht. vannforskriften for den aktuelle vanntypen (Direktoratsgruppen vanndirektivet 2018). Ved klassifiseringen av tilstand for Tot-P og Tot-N i elver og bekker har vi benyttet medianverdier av seks målinger gjennom året. Medianverdien er valgt som oppsummeringstall istedenfor gjennomsnitt for å fastsette miljøtilstanden i elver og bekker i 2022. Grunnen til dette er at gjennomsnittet er svært følsomt for høye enkeltverdier (uteliggere), og særlig når antall prøver er lavt ($n = 6$ for de fleste elvene i 2022). Medianen gir et bedre estimat på den mest «vanlige» verdien blant målingene. Et alternativ kunne vært å fjerne uteliggere før vi beregnet gjennomsnittet. Utfordringen med dette er at årsakene bak ekstremverdiene kan være vanskelige å skille fra hverandre. Uteliggere som f.eks. skyldes høyt partikkellinnhold i forbindelse med flom kan en argumentere for å fjerne, mens ekstremt høye verdier som følge av punktutslipp eller avrenning fra dyrka mark gir viktig informasjon om menneskelig påvirkning, og bør ikke fjernes. Ofte skyldes ekstreme fosforkonsentrasjoner under flom eller etter nedbør en kombinasjon av flere faktorer (både naturlig partikkellavrenning og f.eks. avrenning fra landbruk eller overløp på ledningsnett). Et annet argument for å benytte median er at vi i tidsseriefigurene har benyttet data fra tidligere overvåking gjennomført av andre enn NIVA. Her mangler ofte den nødvendige bakgrunnsinformasjonen for å evt. luke ut uteliggere. Ved klassifiseringen av tilstand for Tot-P og Tot-N i Hersjøen har vi i motsetning til klassifiseringen av elver og bekker benyttet gjennomsnittet av seks målinger gjennom året. Grunnen til det er at innsjøer som regel ikke er like utsatt for de ekstreme svingninger i konsentrasjonene av Tot-P og Tot-N som det elver og bekker er under kortere perioder med store nedbørsmengder.

Fosfor antas for å være det begrensende næringsstoffs for biologisk vekst i samtlige bekker og elver. Dette skyldes at forholdet mellom nitrogen og fosfor i vannet er høyt, og at det derfor er et overskudd av nitrogen i forhold til algenes behov gjennom vekstsesongen. Tot-N er på bakgrunn av dette ikke tatt med i samlet tilstandsklassifisering ettersom elvene ikke anses som N-begrenset (se kap. 4.2.1). Vi har allikevel klassifisert Tot-N isolert sett, ettersom høye nitrogenkonsentrasjoner kan være tegn på forurensing fra jordbruk og/eller avløp.



Figur 3. Boksplot som viser fordelingen av A) suspendert tørrstoff (STS) og B) ratioen mellom STS og suspendert glöderest (SGR) i overvåkede vannforekomster. Det er benyttet overvåkingsdata fra 2012-2022, og antall observasjoner pr. elv er vist langs x-aksen. Blått punkt viser gjennomsnitt pr. elv, mens horisontal svart strek indikerer medianen. Boksens nedre og øvre grense viser hhv. første og tredje kvartil. Vertikale stiplede linjer indikerer min- og maks-verdier, unntatt uteliggere (verdier > $1,5 \times$ interkvartilbredden), som er plottet som åpne punkter. Horisontale røde linje indikerer grensen mellom leirvassdrag (STS > 10 mg/L og SGR/STS > 0,8) og ikke-leirvassdrag. Merk logaritmisk skala på y-aksen i A).



Figur 4. Boksplott som viser fordelingen av A) kalsium (mg/L) og B) fargetall (mg Pt/l) i overvåkede vannforekomster. Det er benyttet overvåkingsdata fra 2012-2022. Blått punkt viser gjennomsnitt av alle data pr. elv, mens horisontal svart strek indikerer medianen. Boksens nedre og øvre grense viser hhv. første og tredje kvartil. De stiplede linjene indikerer min- og maks-verdier, unntatt uteliggere (verdier $> 1,5 \times$ interkvartilbredden), som er plottet som åpne punkter. Horisontale røde linjer indikerer grensene mellom kalsium-klasser ($2-4 \text{ mg/l}$ = kalkfattig; $4-20 \text{ mg/l}$ = moderat kalkrik; $> 20 \text{ mg/l}$ = kalkrik) og humus-klasser ($< 30 \text{ mg Pt/l}$ = klar [for kalkrike og moderat kalkrike elvetyper i lavlandet]; $30-90 \text{ mg Pt/l}$ = humøs). Merk logaritmisk skala på y-aksen.

2.5.1 E-coli

Den hygienisk-bakteriologiske vannkvaliteten er vurdert ut fra 90-per sentiler for *E. coli* iht. grenseverdier i SFT-Veileder 97:04 (Andersen mfl. 1997). Det er også gjort en vurdering av om konsentrasjonene av bakterier indikerer god (< 100 *E. coli* / 100 ml) eller mindre god egnethet (100–1000 *E. coli* / 100 ml) for jordvanning, eller om vannet ikke er egnet i det hele tatt (> 1000 *E. coli* / 100 ml). Grenseverdiene for dette er gitt av Vitenskapskomiteen for mattrygghet (2014).

2.5.2 Biologiske kvalitetselementer

I 2022 var det kun det biologiske kvalitetselementet planteplankton som ble undersøkt. De biologiske kvalitetselementene begroing og bunndyr, som også inngår i overvåkningsprogrammet, blir kun undersøkt hvert tredje år i henhold til den syklus for prøvetaking som det er lagt opp til i overvåkningsprogrammet. Neste runde for prøvetaking for begroing og bunndyr er i 2024.

2.5.2.1 Planteplankton

Prøvetakingen ble foretatt i henhold til standard prosedyre (NS-EN 16698:2015) med blandprøve fra eufotisk sone. Analyse av plantepunktonet ble foretatt i omvendt mikroskop iht. norsk standard (NS-EN 15204:2006), og artssammensetningen, biovolumet av hver art og totalt biovolum ble beregnet (NS-EN 16695:2016). Vurdering av økologisk tilstand for planteplankton er basert på klorofyll *a*, totalt biovolum, trofisk indeks for artssammensetning (PTI, Phytoplankton Trophic Index) og maksimum biovolum av cyanobakterier (*Cyano_{max}*). Klassifiseringsmetoden er interkalibrert med de nordiske landene (Lyche-Solheim m.fl. 2014) og presentert i kap. 4.1 i klassifiseringsveileder 02:2018 (Direktoratsgruppen vanndirektivet 2018).

2.5.3 Samlet økologisk tilstandsvurdering

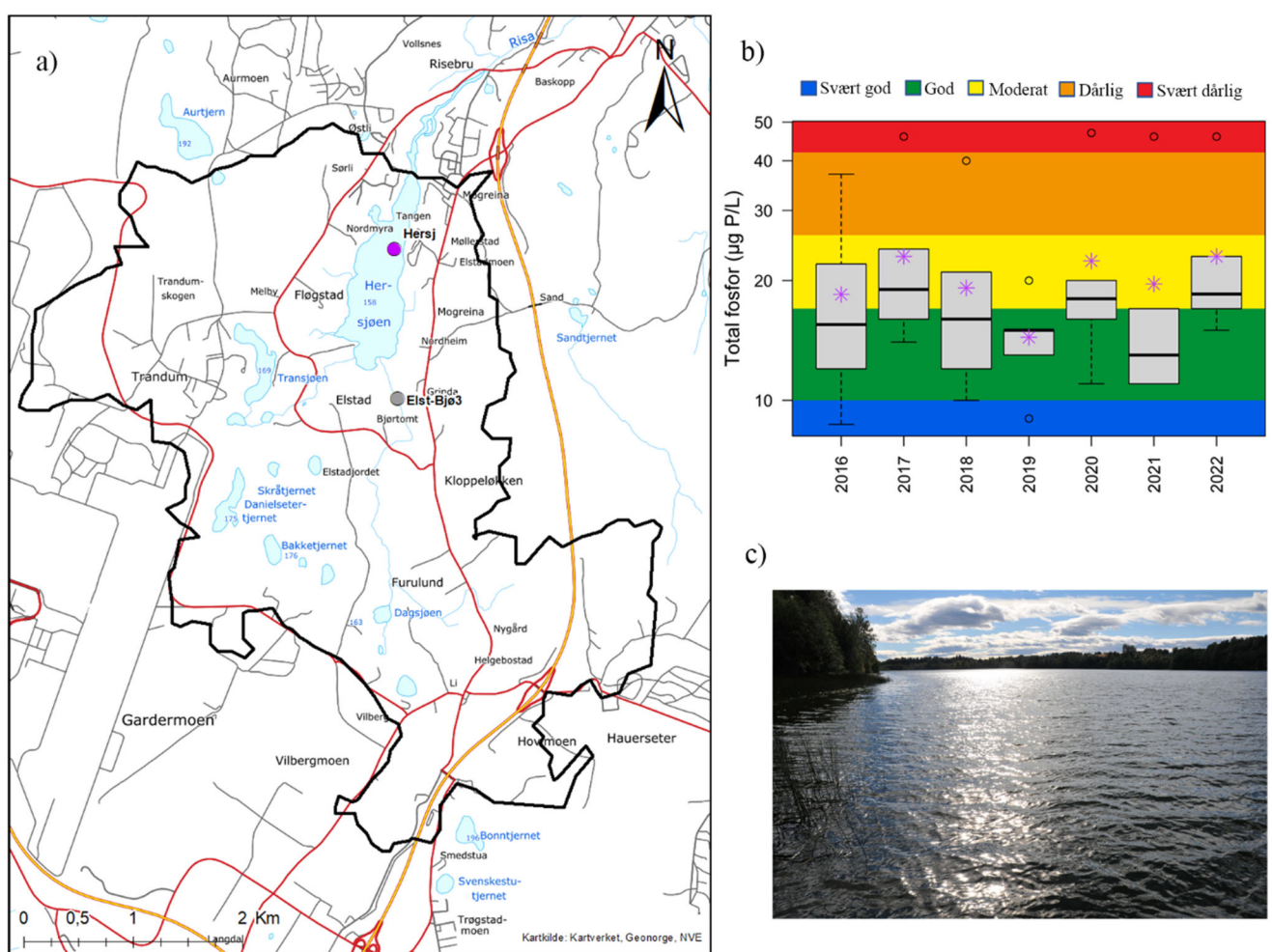
Samlet økologisk tilstand for vannforekomsten beregnes ved kombinasjon av parametere/indeks for de forskjellige kvalitetselementene det finnes data for. For beregning av økologisk tilstand inngår biologiske kvalitetselementer (f.eks. bunnfauna), generelle fysisk-kjemiske støtteparametere (f.eks. næringssalter) og vannregionspesifikke stoffer (dvs. kjemiske forbindelser som potensielt kan skade vannmiljøet, men som ikke står på EU's liste over prioriterte miljøgifter). I årets undersøkelse er det kun gjort en samlet tilstandsvurdering for Hersjøen der det ble samlet inn data om planteplankton og fysisk-kjemiske støtteparametere. For elvene blir det ikke gjort en samlet tilstandsvurdering før biologiske kvalitetselementer prøvetas i 2024.

3 Resultater

3.1 Vannforekomst Hersjøen (002-4158-L)

Vannprøver er tatt som blandprøver fra overflaten og ned til to ganger siktedyper over dypeste punkt i Hersjøen i perioden 2016 til 2022. Vannlokalitetens plassering vises kartet i **Figur 5**. Økologisk tilstandsvurdering for Hersjøen i perioden 2016-2022 er vist i **Tabell 12**.

3.1.1 Vannlokalitet Hersjøen (Hersj)



Figur 5. Resultater fra vannlokalitet Hersjøen (Hersj). Prøver tatt ved dypeste punkt i innsjøen. Figuren viser; a) kart med prøvetakingspunkt (lilla punkt) og tilhørende nedbørsfelt generert vha. nevina.no; b) bokspillot med vanntypespesifikke tilstandsklasser for total-fosfor, der årlig median (sort horisontal linje), gjennomsnitt (lilla stjerne) og variasjonsbredde vises for perioden 2014-2022; og c) stasjonsbilde (Foto: Helge B. Pedersen).

Tabell 7. Fakta om vannlokalitet og vannforekomst.

| | |
|---|--|
| Vannlokalitetsnavn (stasjons-ID) og kode | Hersjøen, over dypeste punkt (Hersj) 002-37952 |
| Kommune | Ullensaker |
| Vannforekomst-ID | 002-4158-L |
| Vannforekomst navn | Hersjøen |
| Vanntype | L109, kalkrik, klar i lavland. |

Fysisk-kjemiske støtteparametere

Resultatene fra et utvalg parametere analysert i 2022 er vist i **Tabell 9**. Siktedypt for hvert prøvetakingstidspunkt er vist i **Tabell 8**. Vannlokalitet Hersjøen (Hersj) ble vurdert til *moderat* tilstand basert på gjennomsnittet av total-fosfor i 2022. Vurderinger av forholdet mellom total-nitrogen og total-fosfor (N/P-forholdet) viser en median N/P på 12 i perioden 2020 – 2022 (n = 12; min = 6; max = 15). Koncentrasjonene av Tot-N er også forholdsvis lave og tilsvarende *svært god* tilstand. Dette indikerer at N-begrensning kan forekomme i perioder, men for å kunne si noe mer sikkert om dette kreves målinger av oppløst uorganisk N (nitrat+ammonium) gjennom vekstsesongen. Det er uansett fosforkoncentrasjonen som er styrende for algemengden og årsaken til at planteplankton havner i dårlig tilstand. Men når det er forholdsvis lave N-koncentrasjoner og lav N/P-ratio, slik det er i Hersjøen, kan resultatet være at nitratet brukes opp i perioder der biomassen/primærproduksjonen er høy (f.eks. under oppblomstringer). Koncentrasjonen av uorganisk N kan dermed sette en øvre begrensning på algebiomassen, selv om det i utgangspunktet er fosfor som fører til stor algevekst. N-begrensning kan også påvirke artssammensetningen og kanskje favorisere nitrogenfikserende cyanobakterier. Ved å måle nitrat kunne man sett om en slik N-begrensning forekommer eller ikke. Tilstanden for E. coli ble vurdert til god basert på 90-persentilen.

Tabell 8. Siktedypt målt over det dypeste punkt i Hersjøen

| Dato | Siktedypt |
|--------|-----------|
| 24.mai | 3,0 m |
| 28.jun | 4,3 m |
| 19.jul | 2,2 m |
| 18.aug | 1,8 m |
| 22.sep | 3,3 m |
| 18.okt | 2,3 m |

Tabell 9. Analyseresultater for et utvalg parametere målt i 2022. Tilstandsklassen for total-fosfor og total-nitrogen er basert på gjennomsnittet av konsentrasjonene i 2022.

| L109 | E-coli (ant./100 ml) | Tot-P (µg/L) | P-Orto (ufiltrert) (µg/L) | P-Orto (filtrert) (µg/L) | Tot-N (µg/l) | Ammonium (µg/L) | Klf-a (µg/L) |
|--------------|-------------------------|-----------------|---------------------------------|--------------------------------|-----------------|--------------------|-----------------|
| n | 4 | 6 | 6 | | 6 | 6 | 6 |
| Min | 1,0 | 15,0 | 2,0 | | 130,0 | 5,0 | 5,4 |
| Maks | 15,0 | 46,0 | 24,0 | | 550,0 | 130,0 | 13,0 |
| Median | 3,5 | 18,5 | 5,0 | | 155,0 | 67,0 | 8,5 |
| Gjennomsnitt | 5,8 | 23,0 | 7,5 | | 236,7 | 70,8 | 8,8 |
| Std. Avvik | 6,4 | 11,6 | 8,2 | | 164,6 | 44,9 | 3,0 |
| 90.persentil | 12,0 | - | - | | - | - | - |
| EQR | | 0,26 | | | 1,16 | | |
| nEQR | | 0,45 | | | 1 | | |

Planteplankton

Klassegrensene og referanseverdiene for kalkrike, klare innsjøer i lavlandet (vanntype L109) ble benyttet. Det totale biovolumet av planteplankton var forholdsvis høyt og indikerte tilstandsklasse *dårlig*. Konsentrasjonen av klorofyll a, som er et annet mål på mengden planteplankton, viste god tilstand, men var nær grensen til *moderat* (Tabell 10). Kisalger og cyanobakterier utgjorde hovedandelen av planteplanktonet (Figur 6). Cyanobakteriene besto for det meste av arter fra slekten *Dolichospermum*. De viktigste kiselalgene var *Asterionella formosa* og *Stephanodiscus hantzschii* (Tabell 64). Artssammensetningen hos planteplanktonet bar preg av næringskrevende arter, som ga *dårlig* tilstand for trofi-indeksem PTI. Det ble observert høye konsentrasjoner av cyanobakterier i prøvene og indeksen Cyano_{max} indikerte også *dårlig* tilstand. Totalvurderingen av planteplanktonet i Hersjøen ga en nEQR på 0,35 som tilsvarer *dårlig* tilstand.

Tabell 10. Resultater for de ulike indeksene og parameterne for det biologiske kvalitetselementet planteplankton i Hersjøen 2022. Alle verdier er gitt som normalisert EQR (nEQR).

| | Klorofyll a | Biovolum | PTI | Cyano _{max} | Samlet tilstand planteplankton |
|------|-------------|----------|------|----------------------|-----------------------------------|
| EQR | 0,34 | 0,44 | 0,62 | 0,73 | |
| nEQR | 0,61 | 0,32 | 0,23 | 0,35 | 0,35 |

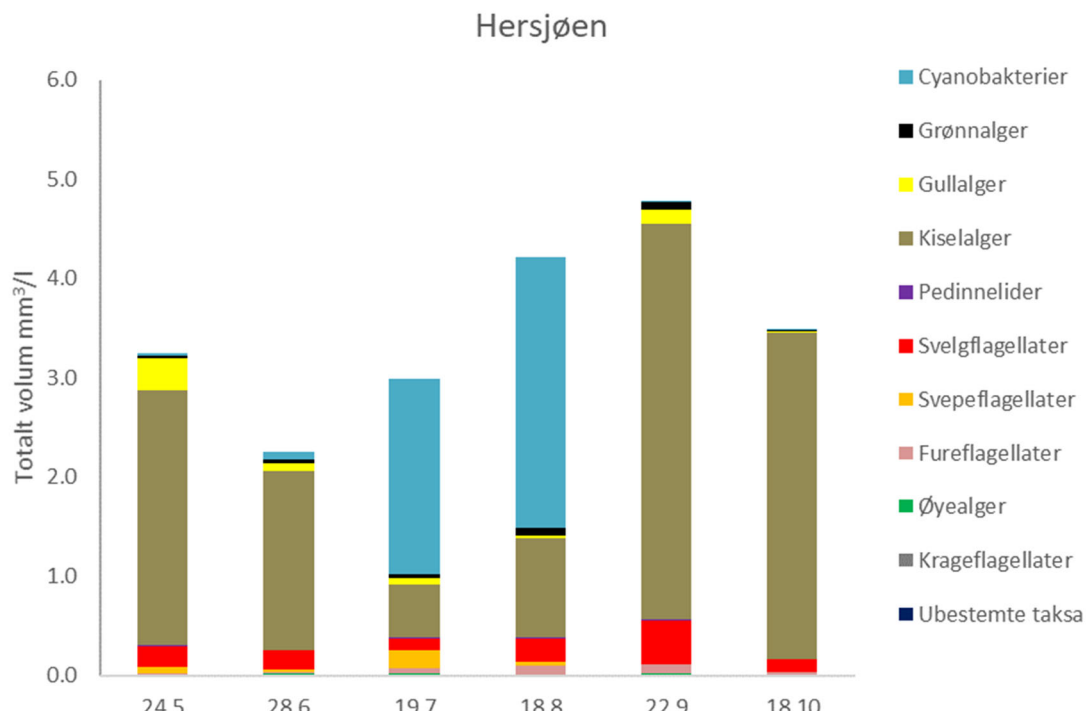
Dolichospermum ser ut til å være den dominerende slekten av cyanobakterier i Hersjøen. Den har typisk sin høyeste biomasse på sensommeren eller tidlig høst. I 2022 ble det målt en større maksimal biomasse på sensommeren sammenlignet med i 2020 og 2021. Tabell 11 viser den maksimale biomassen av cyanobakterier som er registrert de siste fem årene, og tidspunktet for når dette inntraff. *Dolichospermum* og noen andre slekter av cyanobakterier kan produsere flere ulike toksiner. Blant disse er microcystin vanlig å måle på, og den eneste med fastsatte grenseverdier. Huvo fikk dette målt i 15.8.2018, og da var det < 2,0 mikrogram per liter, dvs. om lag en tiendedel av det nivå der aktive tiltak i form av advarsler mm. anbefales satt inn.

Tabell 11. Maksimal biomasse av den dominerende slekten *Dolichospermum* i Hersjøen 2016-2022

| År | Dominerende cyanobakterie | Maksimal registrert biomasse (mm ³ /L) | Dato for maksimal biomasse |
|------|--|---|----------------------------|
| 2016 | <i>Anathece sp. / Dolichospermum spp.*</i> | 0,41 | 01.sep |
| 2017 | <i>Dolichospermum spp.</i> | 2,4 | 23.jul |
| 2018 | <i>Dolichospermum spp.</i> | 7,33 | 28.jul |
| 2019 | <i>Dolichospermum spp.</i> | 2,67 | 25.aug |
| 2020 | <i>Dolichospermum spp.</i> | 0,91 | 12.aug |
| 2021 | <i>Dolichospermum spp.</i> | 0,48 | 19.aug |
| 2022 | <i>Dolichospermum spp.</i> | 2,74 | 18.aug |

* I tidligere rapporter gikk slekten under navnet *Anabaena*. Etter en revisjon av taksonomien ble de planktoniske artene i denne slekten overført til *Dolichospermum*. Denne endringen er tatt med i klassifiseringsveilederen fra og med 2018.

** spp. indikerer at det er trolig flere arter av slekten i prøven som ikke har kunnet identifiseres nærmere.

**Figur 6.** Biomassesammensetning av planteplanktonsamfunnet i Hersjøen 2022.

Samlet økologisk tilstand

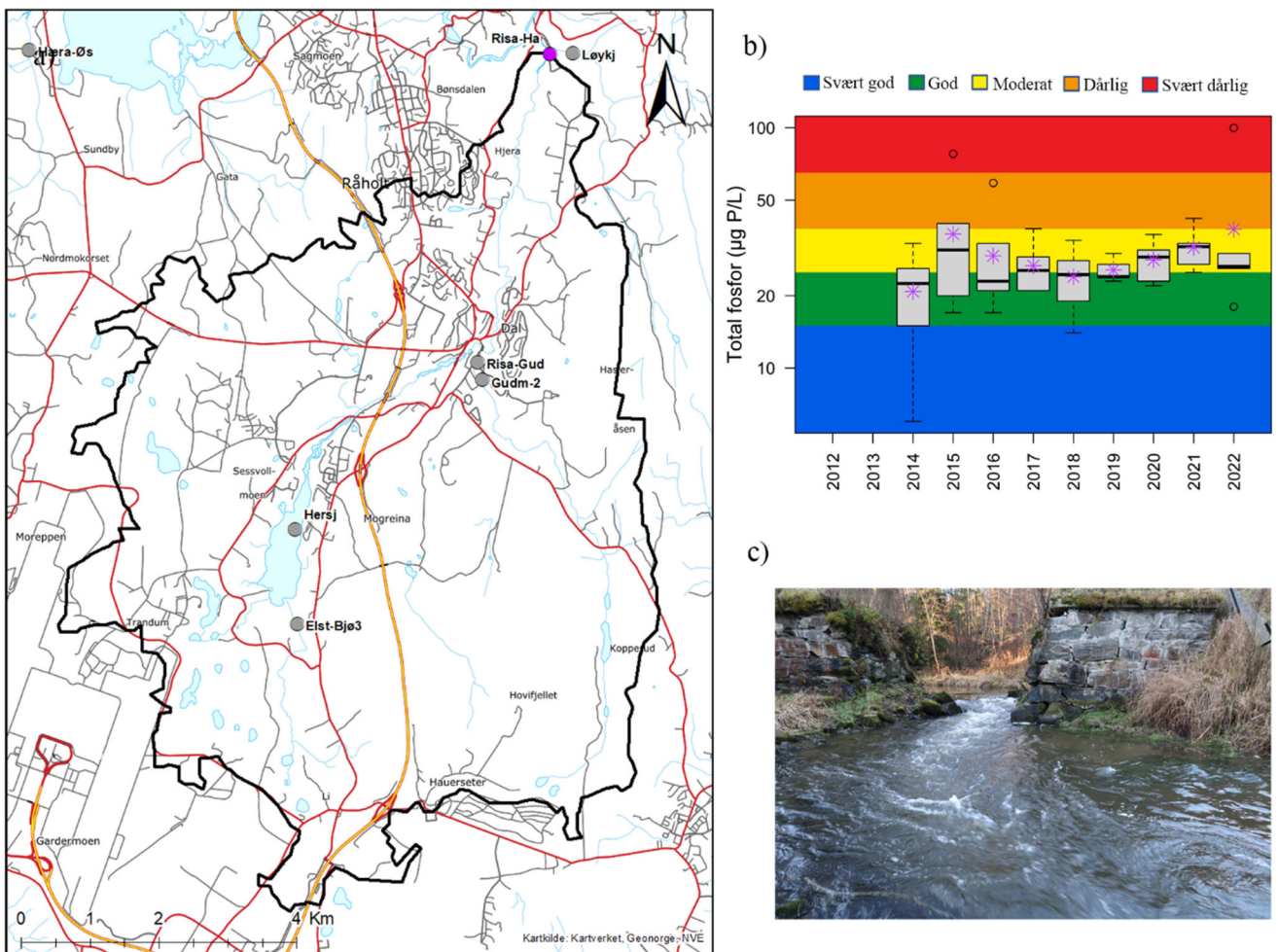
Vannlokalitet Hersjøen (Hers) vurderes til dårlig økologisk tilstand basert på det biologiske kvalitetselementet planteplankton i 2022 (**Tabell 12**).

Tabell 12. Tilstandsklasser for total-fosfor og planteplankton, samt samlet økologisk tilstand i perioden 2016-2022.

| Parameter | Total-fosfor | Planteplankton | Samlet tilstand |
|----------------------|--------------|----------------|-----------------|
| Tilstandsklasse 2016 | Moderat | Moderat | Moderat |
| Tilstandsklasse 2017 | Moderat | God | Moderat |
| Tilstandsklasse 2018 | Moderat | Dårlig | Dårlig |
| Tilstandsklasse 2019 | God | Moderat | Moderat |
| Tilstandsklasse 2020 | Moderat | God | Moderat |
| Tilstandsklasse 2021 | Moderat | God | Moderat |
| Tilstandsklasse 2022 | Moderat | Dårlig | Dårlig |

3.2 Vannforekomst Risa (002-3789-R)

3.2.1 Vannlokalitet Risa ved Haga (Risa-Ha)



Figur 7. Resultater fra vannlokalitet Risa ved Haga (Risa-Ha). Figuren viser; a) kart med prøvetakingspunkt (lilla punkt) og tilhørende nedbørsfelt generert vha. nevina.no; b) boksplott med vanntypespesifikke tilstandsklasser for total-fosfor, der årlig median (sort horisontal linje), gjennomsnitt (lilla stjerne) og variasjonsbredde vises for perioden 2014-2022; og c) stasjonsbilde (Foto: Helge B. Pedersen).

Tabell 13. Fakta om vannlokalitet og vannforekomst.

| | |
|--|---|
| Vannlokalitetsnavn (stasjons-ID) og kode | Risa ved Haga (Risa-Ha) 002-82954 |
| Kommune | Eidsvoll |
| Vannforekomst-ID | 002-3789-R (tidligere 002-2347-R) |
| Vannforekomst navn | Risa (tidligere Risa med tilløpsbekker) |
| Vanntype | R109 kalkrik, klar i lavland. Vanntype i Vann-Nett anbefales beholdt. |

Fysisk-kjemiske støtteparametere

Resultatene fra et utvalg parametere analysert i 2022 er vist i **Tabell 14**. Vannlokalitet Risa ved Haga (Risa-Ha) ble klassifisert til *moderat* tilstand basert på medianen av total-fosfor i 2022 (**Tabell 15**). Tilstanden for E. coli ble vurdert til *moderat* basert på 90-persentilen (**Tabell 14**).

Tabell 14. Analyseresultater for E. coli, total-fosfor (Tot-P), ufiltrert og filtrert ortofosfat (P-Orto) og total-nitrogen (Tot-N) i 2022. Tilstandsklassen for Tot-P og Tot-N er basert på medianen av konsentrasjonene i 2022.

| | E. coli (ant./100 ml) | Tot-P (µg/L) | P-Orto (ufiltrert) (µg/L) | P-Orto (filtrert) (µg/L) | Tot-N (µg/l) |
|---------------------|-----------------------|--------------|---------------------------|--------------------------|--------------|
| n | 3 | 5 | 5 | - | 5 |
| Min | 30,0 | 18,0 | 12,0 | - | 140,0 |
| Maks | 60,0 | 30,0 | 19,0 | - | 410,0 |
| Median | 55,0 | 26,0 | 17,0 | - | 160,0 |
| Gjennomsnitt | 48,3 | 25,4 | 16,6 | - | 234,0 |
| Std. avvik | 16,1 | 4,4 | 2,9 | - | 120,5 |
| 90.persentil | 59,0 | - | - | - | - |
| EQR | - | 0,34 | - | - | 1 |
| nEQR | - | 0,57 | - | - | 1 |

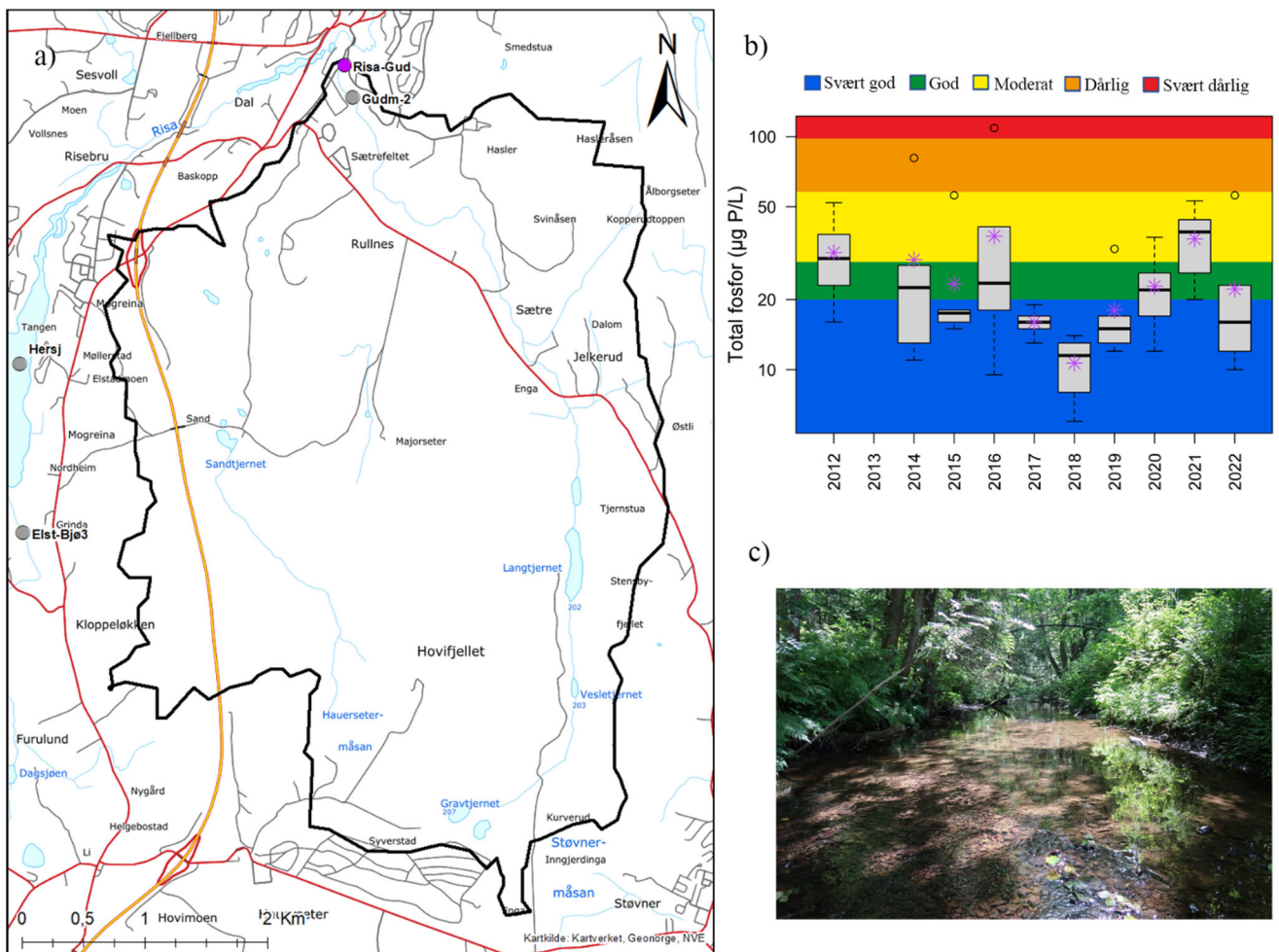
Tabell 15. Tilstandsklasser for total-fosfor, begroingsalger og bunndyr i perioden 2011-2022, samt samlet økologisk tilstand for 2011-2014, 2017 og 2022.

| Parameter | Total-fosfor | Begroingsalger | Bunndyr | Samlet tilstand |
|----------------------------------|--------------|----------------|---------|-----------------|
| Tilstandsklasse 2011-2014 | Moderat | Moderat | God | Moderat |
| Tilstandsklasse 2016 | Moderat | - | - | |
| Tilstandsklasse 2017 | God | Moderat | God | Moderat |
| Tilstandsklasse 2018 | God | - | - | - |
| Tilstandsklasse 2019 | God | - | - | - |
| Tilstandsklasse 2020 | God* | - | - | - |
| Tilstandsklasse 2021 | Moderat* | Moderat | God | Moderat |
| Tilstandsklasse 2022 | Moderat* | - | - | - |

* Endring av vanntype i 2020 grunnet ny inndeling av tidligere vannforekomst «Risa med tilløpsbekker» har ført til at total-fosfor har fått strengere grenseverdier for den nye vannforekomsten «Risa» for perioden 2020-2022 sammenlignet med tidligere år.

3.3 Vannforekomst Risa bekkefelt (002-3790-R)

3.3.1 Vannlokalitet Gudmundsbekken (Risa-Gud)



Figur 8. Resultater fra vannlokalitet Gudmundsbekken (Risa-Gud). Figuren viser; a) kart med prøvetakingspunkt (lilla punkt) og tilhørende nedbørsfelt generert vha. nevina.no, b) boksplott med vannypespesifikke tilstandsklasser for total-fosfor, der årlig median (sort horisontal linje), gjennomsnitt (lilla stjerne) og variasjonsbredde vises for perioden 2012-2022; og c) stasjonsbilde (Foto: Helge B. Pedersen).

Tabell 16. Fakta om vannlokalitet og vannforekomst.

| | |
|--|---|
| Vannlokalitetsnavn (stasjons-ID) og kode | Gudmundsbekken (Risa-Gud) 002-58999 |
| Kommune | Eidsvoll/Ullensaker |
| Vannforekomst-ID | 002-3790-R (tidligere 002-2347-R) |
| Vannforekomst navn | Risa bekkefelt (tidligere Risa med tilløpsbekker) |
| Vanntype | R110 kalkrik, humøs i lavland (er typifisert som R109 i Vann-Nett, kalkrik, klar i lavland) |

Fysisk-kjemiske støtteparametere

Resultatene fra et utvalg parametere analysert i 2022 er vist i **Tabell 17**. Vannlokalitet Gudmundsbekken (Risa-Gud) ble klassifisert til *svært god* tilstand basert på medianen av total-fosfor i 2022 (**Tabell 18**). Tilstanden for E. coli ble vurdert som dårlig basert på 90-persentilen (**Tabell 17**). Konsentrasjonene av bakterier indikerer at vannet på lokaliteten har mindre god egnethet (100–1000 E. coli / 100 ml) for jordvanning i henhold til grenseverdiene gitt av Vitenskapskomiteen for mattrøygghet (2014). De forhøyede konsentrasjonene av indikatorbakterier tyder på innslag av fekal forurensing, f.eks. fra avløp eller husdyrgjødsel.

Tabell 17. Analyseresultater for E. coli, total-fosfor (Tot-P), ufiltrert og filtrert ortofosfat (P-Orto) og total-nitrogen (Tot-N) i 2022. Tilstandsklassen for Tot-P og Tot-N er basert på medianen av konsentrasjonene i 2022. Tot-N benyttes ikke samlet tilstandsvurdering ettersom vannforekomsten antas å være fosforbegrenset.

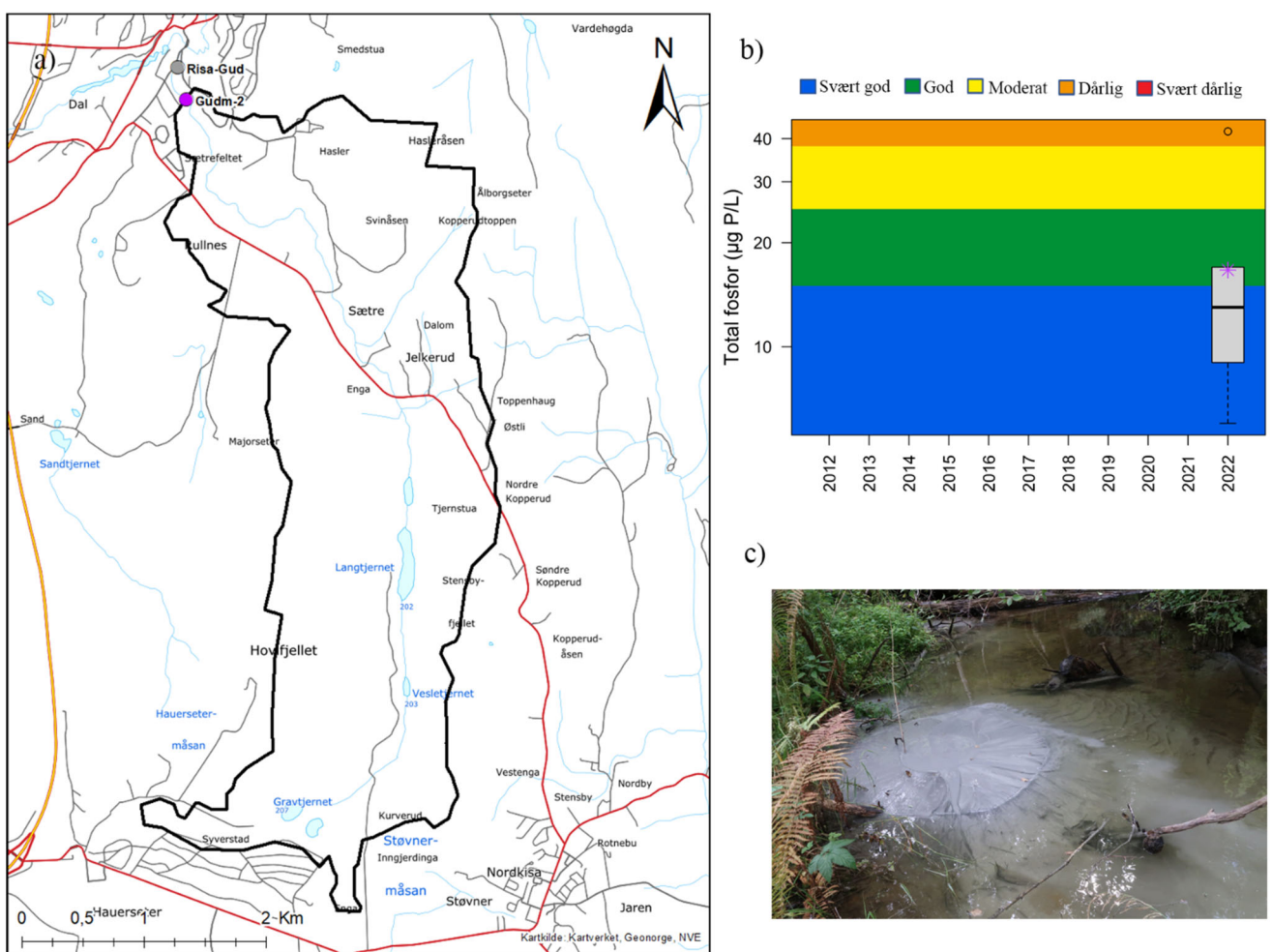
| | E-coli (ant./100 ml) | Tot-P (µg/L) | P-Orto (ufiltrert) (µg/L) | P-Orto (filtrert) (µg/L) | Tot-N (µg/l) |
|--------------|-------------------------|-----------------|---------------------------------|--------------------------------|-----------------|
| n | 3 | 6 | 6 | - | 6 |
| Min | 24,0 | 10,0 | 8,0 | - | 190,0 |
| Maks | 520,0 | 56,0 | 28,0 | - | 610,0 |
| Median | 440,0 | 16,0 | 10,5 | - | 310,0 |
| Gjennomsnitt | 328,0 | 22,2 | 13,0 | - | 360,0 |
| Std. Avvik | 266,3 | 17,3 | 7,5 | - | 170,2 |
| 90.persentil | 504,0 | - | - | - | - |
| EQR | - | 0,69 | - | - | 1,05 |
| nEQR | - | 0,86 | - | - | 1 |

Tabell 18. Tilstandsklasser for total-fosfor, begroingsalger og bunndyr i perioden 2011-2022, samt samlet økologisk tilstand for 2011-2014, 2017 og 2021.

| Parameter | Total-fosfor | Begroingsalger | Bunndyr | Samlet tilstand |
|---------------------------|--------------|----------------|-----------|-----------------|
| Tilstandsklasse 2011-2014 | Moderat | Moderat | God | Moderat |
| Tilstandsklasse 2016 | God | - | - | - |
| Tilstandsklasse 2017 | Svært god | God | Svært god | God |
| Tilstandsklasse 2018 | Svært god | - | - | - |
| Tilstandsklasse 2019 | God | - | - | - |
| Tilstandsklasse 2020 | God | - | - | - |
| Tilstandsklasse 2021 | Moderat | Svært god | Svært god | Moderat |
| Tilstandsklasse 2022 | Svært god | - | - | - |

3.3.2 Vannlokalitet Gudmundsbekken (Gudm-2)

Vannlokalitet Gudmundsbekken (Gudm-2) ble overvåket i 2022 med hensikt å undersøke i hvilken grad leiroppkommet på bildet i **Figur 9 c** eventuelt kan påvirke total-fosfor konsentrasjonen på nedstrøms prøvetakingsstasjonen, Gudmundsbekken (Risa-Gud). Vannprøven ble derfor tatt oppstrøms for leiroppkommet, og resultatene for total-fosfor konsentrasjonene på stasjonen ble sammenlignet med resultatene for total-fosfor konsentrasjonene på stasjonen Risa-Gud. Dette for å vurdere bidraget av total-fosfor fra leireoppkommet på elvestrekningen. Oppkommet var i hovedsak naturlig tildekket igjen i 2022.



Figur 9. Resultater fra vannlokalitet Gudmundsbekken (Gudm-2). Figuren viser; a) kart med prøvetakingspunkt (lilla punkt) og tilhørende nedbørssfelt generert vha. nevina.no, b) boksplot med vanntypespesifikke tilstandsklasser for total-fosfor, der årlig median (sort horisontal linje), gjennomsnitt (lilla stjerne) og variasjonsbredde vises for perioden 2014-2022; og c) stasjonsbilde som viser leiroppkomme (Foto: Helge B. Pedersen).

Tabell 19. Fakta om vannlokalitet og vannforekomst.

| | |
|---|--|
| Vannlokalitetsnavn (stasjons-ID) og kode | Gudmundsbekken (Gudm-2) 002-111226 |
| Kommune | Eidsvoll/Ullensaker |
| Vannforekomst-ID | 002-3790-R (tidligere 002-2347-R) |
| Vannforekomst navn | Risa bekkefelt (tidligere Risa med tilløpsbekker) |
| Vanntype | R110 kalkrik, humøs i lavland (er typifisert som R109 i Vann-Nett, kalkrik, klar i lavland). |

Fysisk-kjemiske støtteparametere

Resultatene fra et utvalg parametere analysert i 2022 er vist i **Tabell 20**. Vannlokalitet Gudmundsbekken (Gudm-2) ble klassifisert til *svært god* tilstand basert på medianen av total-fosfor i 2022 (**Tabell 21**). De lave konsentrasjonene av total-fosfor i 2022 sammenlignet med i 2021 (Burgess et al. 2021) skyldes trolig at leiroppkomet i hovedsak hadde blitt naturlig tildekket igjen.

Tabell 20. Analyseresultater for E. coli, total-fosfor (Tot-P), ufiltrert og filtrert ortofosfat (P-Orto), total-nitrogen (Tot-N), suspendert tørrstoff (STS) og suspendert gløderest (SGR) i 2022.

Tilstandsklassen for Tot-P og Tot-N er basert på medianen av konsentrasjonene i 2022. Tot-N benyttes ikke samlet tilstandsvurdering ettersom vannforekomsten antas å være fosforbegrenset.

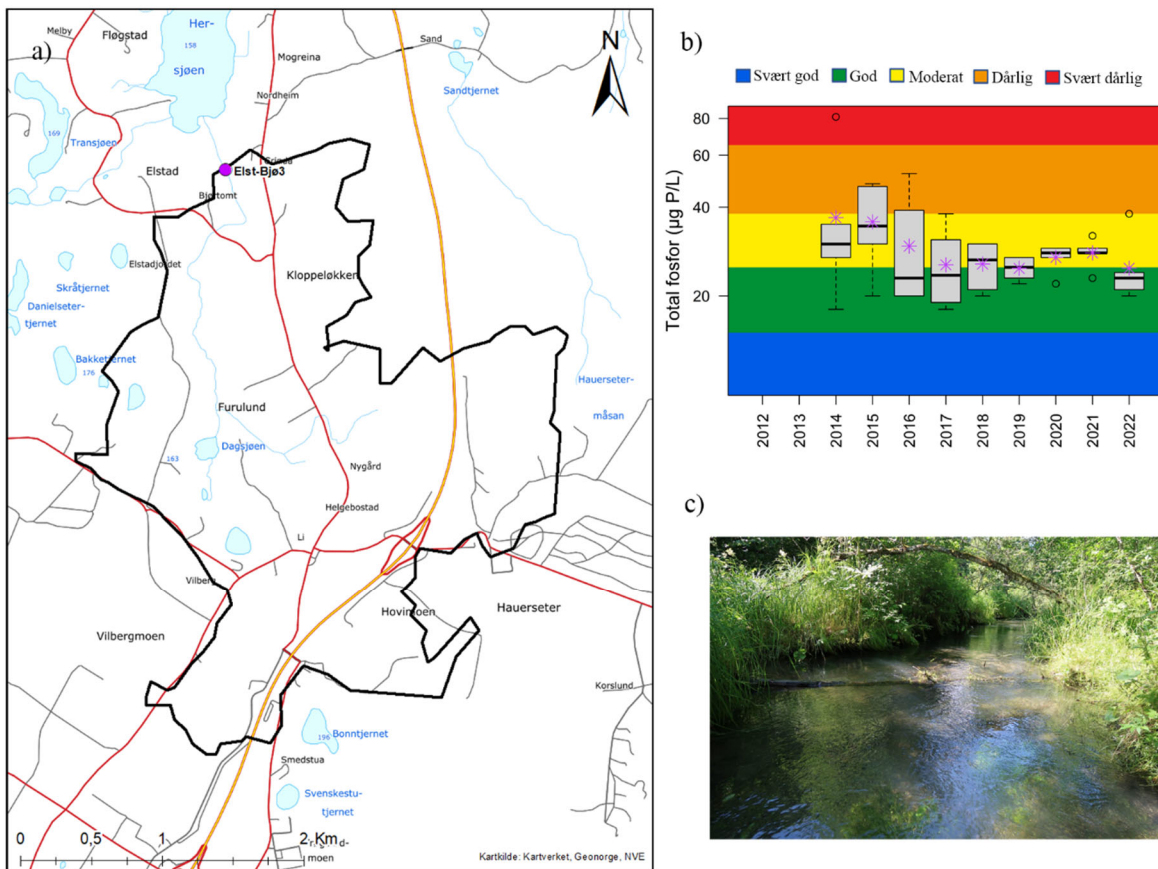
| | E-coli (ant./100 ml) | Tot-P (µg/L) | P-Orto (ufiltrert) (µg/L) | P-Orto (filtrert) (µg/L) | Tot-N (µg/l) | STS (mg/l) | SGR (mg/l) |
|---------------------|---------------------------------|-------------------------|--|---|-------------------------|-----------------------|-----------------------|
| n | - | 6 | 6 | 6 | 6 | 5 | 5 |
| Min | - | 6,0 | 5,0 | 2,0 | 270,0 | 1,10 | 0,45 |
| Maks | - | 42,0 | 17,0 | 11,0 | 580,0 | 3,00 | 1,90 |
| Median | - | 13,0 | 6,5 | 4,5 | 365,0 | 2,80 | 1,00 |
| Gjennomsnitt | - | 16,7 | 7,8 | 5,5 | 395,0 | 2,52 | 1,04 |
| Std. Avvik | - | 13,0 | 4,6 | 3,4 | 123,1 | 0,80 | 0,53 |
| 90.persentil | - | 29,5 | - | - | - | - | - |
| EQR | - | 0,85 | - | - | 0,89 | - | - |
| nEQR | - | 0,93 | - | - | 0,95 | - | - |

Tabell 21. Tilstandsklasse for total-fosfor i 2022.

| Parameter | Total-fosfor | Begroingsalger | Bunndyr | Samlet tilstand |
|-----------------------------|------------------|----------------|---------|-----------------|
| Tilstandsklasse 2022 | Svært god | - | - | - |

3.4 Vannforekomst Hersjøen bekkefelt (002-3793-R)

3.4.1 Vannlokalitet Bjørtomtbekken (Elst-Bjø3)



Figur 10. Resultater fra vannlokalitet Bjørtomtbekken (Elst-Bjø3). Figuren viser; a) kart med prøvetakingspunkt (lilla punkt) og tilhørende nedbørsfelt generert vha. nevina.no, b) bokspill med vanntypespesifikke tilstandsklasser for total-fosfor, der årlig median (sort vertikal linje), gjennomsnitt (lilla stjerne) og variasjonsbredde vises for perioden 2014-2022; og c) stasjonsbilde (Foto: Helge B. Pedersen).

Tabell 22. Fakta om vannlokalitet og vannforekomst.

| | |
|--|---|
| Vannlokalitetsnavn (stasjons-ID) og kode | Bjørtomtbekken (Elst-Bjø3) 002-79011 |
| Kommune | Ullensaker |
| Vannforekomst-ID | 002-3793-R (tidligere 002-2348-R) |
| Vannforekomst navn | Hersjøen bekkefelt (tidligere Elstad bekkefelt) |
| Vanntype | R109, kalkrik, klar i lavland. |

Fysisk-kjemiske støtteparametere

Resultatene fra et utvalg parametere analysert i 2022 er vist i **Tabell 23**. Vannlokalitet Bjørtomtbekken (Elst-Bjø3) ble klassifisert til *god* tilstand basert på medianen av total-fosfor i 2022 (**Tabell 24**). Forholdet mellom median Tot-N og median Tot-P var 12,8, noe som gjør at vi ikke kan utelukke perioder med nitrogenbegrensning. Vi har derfor også klassifisert Tot-N, som havnet i *svært god* tilstand. Tilstanden for E. coli ble vurdert til *dårlig* basert på 90-persentilen (**Tabell 23**).

Konsentrasjonene av bakterier indikerer at vannet på lokaliteten har mindre god egnethet (100–1000 E. coli / 100 ml) for jordvanning i henhold til grenseverdiene gitt av Vitenskapskomiteen for mattrøygghet (2014). De forhøyede konsentrasjonene av indikatorbakterier tyder på innslag av fekal forurensing, f.eks. fra avløp eller husdyrgjødsel.

Tabell 23. Analyseresultater for E. coli, total-fosfor (Tot-P), ufiltrert og filtrert ortofosfat (P-Orto) og total-nitrogen (Tot-N) i 2022. Tilstandsklassen for Tot-P og Tot-N er basert på medianen av konsentrasjonene i 2022.

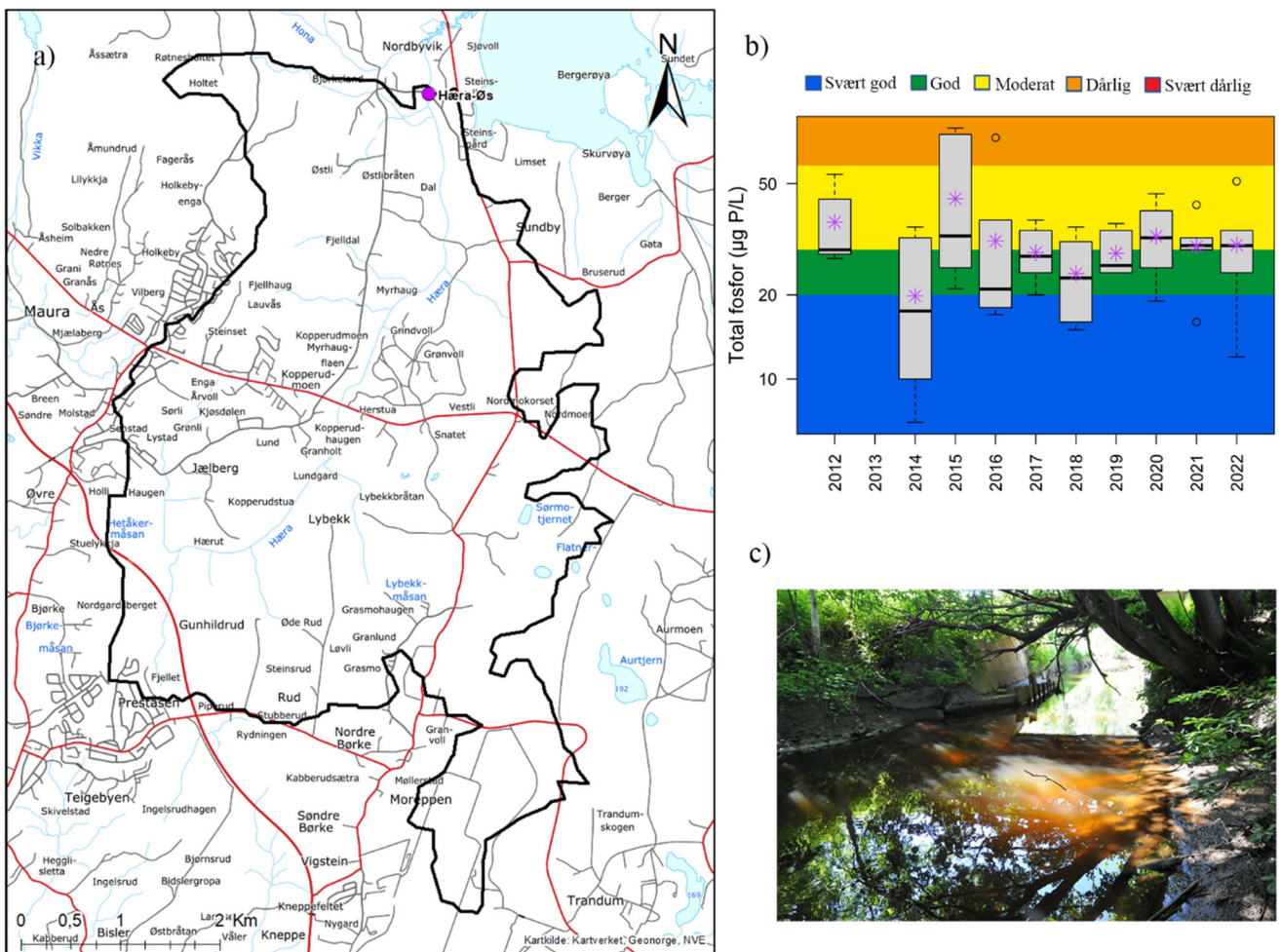
| | E-coli (ant./100 ml) | Tot-P (µg/L) | P-Orto (ufiltrert) (µg/L) | P-Orto (filtrert) (µg/L) | Tot-N (µg/l) |
|--------------|-------------------------|-----------------|---------------------------------|--------------------------------|-----------------|
| n | 3 | 6 | 6 | - | 6 |
| Min | 5,0 | 20,0 | 16,0 | - | 270,0 |
| Maks | 650,0 | 38,0 | 27,0 | - | 610,0 |
| Median | 38,0 | 23,0 | 18,0 | - | 295,0 |
| Gjennomsnitt | 231,0 | 24,8 | 19,2 | - | 345,0 |
| Std. Avvik | 363,2 | 6,6 | 4,2 | - | 132,0 |
| 90.persentil | 527,6 | - | - | - | - |
| EQR | - | 0,39 | - | - | 0,93 |
| nEQR | - | 0,63 | - | - | 0,96 |

Tabell 24. Tilstandsklasser for total-fosfor, begroingsalger og bunndyr i perioden 2011-2022, samt samlet økologisk tilstand for 2011-2014, 2017 og 2021.

| Parameter | Fysisk-kjemisk | Begroingsalger | Bunndyr | Samlet tilstand |
|---------------------------|----------------|----------------|---------|-----------------|
| Tilstandsklasse 2011-2014 | Moderat | Moderat | Moderat | Moderat |
| Tilstandsklasse 2016 | Moderat | - | - | - |
| Tilstandsklasse 2017 | Moderat | Svært god | God | Moderat |
| Tilstandsklasse 2018 | Moderat | - | - | - |
| Tilstandsklasse 2019 | God | - | - | - |
| Tilstandsklasse 2020 | Moderat | - | - | - |
| Tilstandsklasse 2021 | Moderat | Moderat | God | Moderat |
| Tilstandsklasse 2022 | God | - | - | - |

3.5 Vannforekomst Hæravassdraget (002-3734-R)

3.5.1 Vannlokalitet Hæra ved Østli (Hæra-Øs)



Figur 11. Resultater fra vannlokalitet Hæra ved Østli (Hæra-Øs). Figuren viser; a) kart med prøvetakingspunkt (lilla punkt) og tilhørende nedbørsfelt generert vha. nevina.no, b) boksplot med vannypespesifikke tilstandsklasser for total-fosfor, der årlig median (sort horisontal linje), gjennomsnitt (lilla stjerne) og variasjonsbredde vises for perioden 2012-2022; og c) stasjonsbilde (Foto: Helge B. Pedersen).

Tabell 25. Fakta om vannlokalitet og vannforekomst.

| | |
|--|---|
| Vannlokalitetsnavn (stasjons-ID) og kode | Hæra ved Østli (Hæra-Øs) 002-58987 |
| Kommune | Nannestad |
| Vannforekomst-ID | 002-3734-R |
| Vannforekomst navn | Hæravassdraget |
| Vanntype | R108, moderat kalkrik, humøs i lavland (grenser mot R110, kalkrik, humøs) |

Fysisk-kjemiske støtteparametere

Resultatene fra et utvalg parametere analysert i 2022 er vist i **Tabell 26**. Vannlokalitet Hæra ved Østli (Hæra-Øs) ble klassifisert til *moderat* tilstand basert på medianen av total-fosfor i 2022 (**Tabell 27**). Tilstanden for E. coli ble vurdert til *dårlig* basert på 90-persentilen (**Tabell 26**). Konsentrasjonene av bakterier indikerer at vannet på lokaliteten har mindre god egnethet (100–1000 E. coli / 100 ml) for jordvanning i henhold til grenseverdiene gitt av Vitenskapskomiteen for mattrygghet (2014). De moderat høye konsentrasjonene av næringssalter (moderat tilstand), kombinert med forhøyede konsentrasjoner av indikatorbakterier, tyder på betydelig påvirkning fra avløp, punktutslipp og/eller jordbruk.

Tabell 26. Analyseresultater for E. coli, total-fosfor (Tot-P), ufiltrert og filtrert ortofosfat (P-Orto) og total-nitrogen (Tot-N) i 2022. Tilstandsklassen for Tot-P og Tot-N er basert på medianen av konsentrasjonene i 2022. Tot-N benyttes ikke samlet tilstandsvurdering ettersom vannforekomsten antas å være fosforbegrenset.

| | E-coli (ant./100 ml) | Tot-P (µg/L) | P-Orto (ufiltrert) (µg/L) | P-Orto (filtrert) (µg/L) | Tot-N (µg/l) |
|---------------------|-------------------------|-----------------|---------------------------------|--------------------------------|-----------------|
| n | 3 | 6 | 6 | | 6 |
| Min | 48,0 | 12,0 | 7,0 | | 800,0 |
| Maks | 280,0 | 51,0 | 27,0 | | 2500,0 |
| Median | 93,0 | 30,0 | 18,0 | | 935,0 |
| Gjennomsnitt | 140,3 | 30,2 | 17,7 | | 1206,7 |
| Std. Avvik | 123,0 | 12,8 | 7,5 | | 648,3 |
| 90.persentil | 242,6 | - | - | | - |
| EQR | | 0,37 | | | 0,35 |
| nEQR | | 0,59 | | | 0,51 |

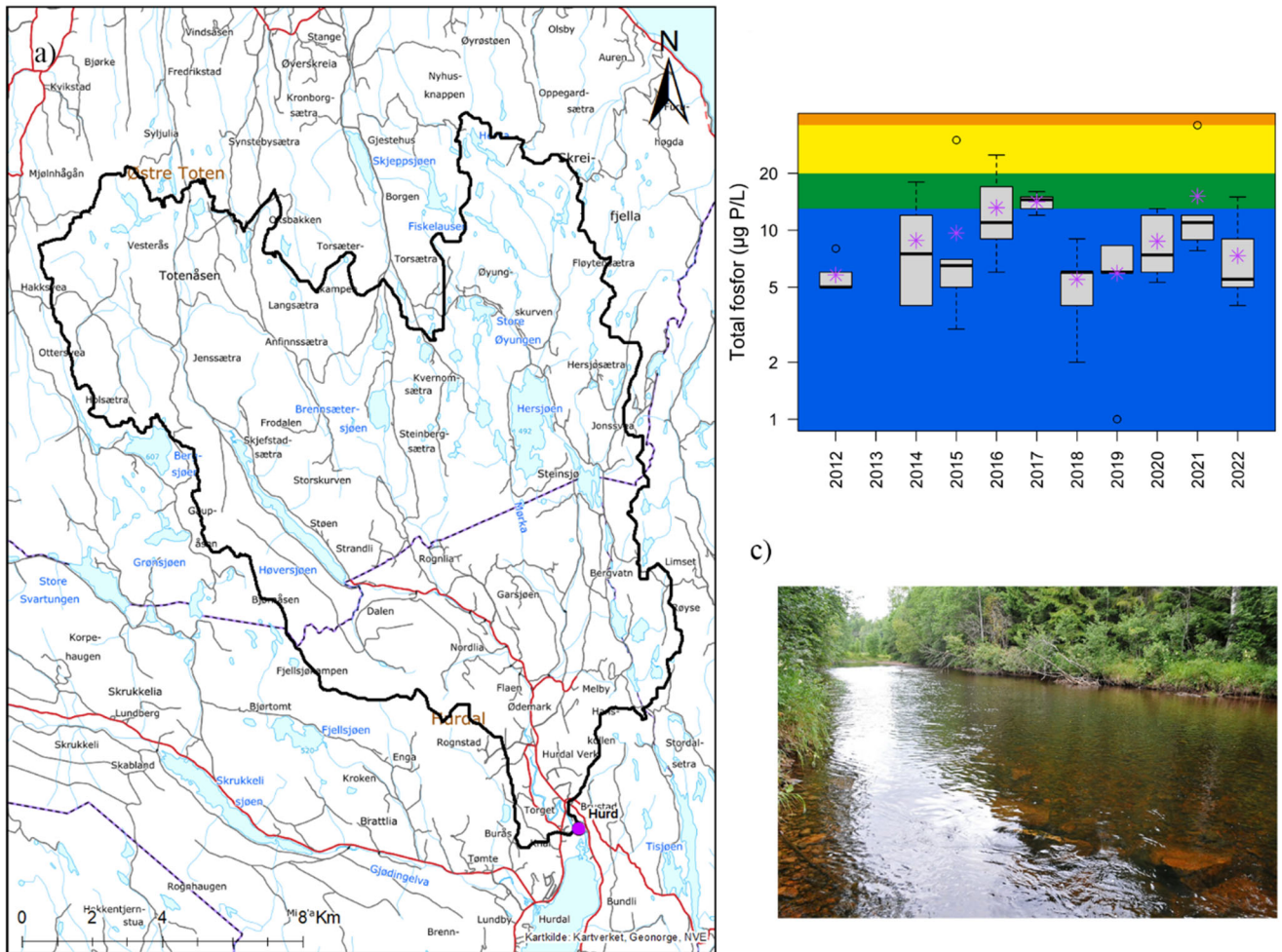
Tabell 27. Tilstandsklasser for total-fosfor, begroingsalger og bunndyr i perioden 2011-2022, samt samlet økologisk tilstand for 2011-2014, 2017 og 2021.

| Parameter | Total-fosfor | Begroingsalger | Bunndyr | Samlet tilstand |
|----------------------------------|--------------|----------------|---------------|-----------------|
| Tilstandsklasse 2011-2014 | God/moderat | Moderat | Svært dårlig* | Moderat |
| Tilstandsklasse 2016 | God/moderat | | | |
| Tilstandsklasse 2017 | God/moderat | Moderat | | Moderat |
| Tilstandsklasse 2018 | God/moderat | | | |
| Tilstandsklasse 2019 | God/moderat | | | |
| Tilstandsklasse 2020 | Moderat | | | |
| Tilstandsklasse 2021 | Moderat | Moderat | | Moderat |
| Tilstandsklasse 2022 | Moderat | | | |

* Det biologiske kvalitetselementet bunndyr inngikk som en del av undersøkelsen i 2011-2014, men resultatet fra bunndyrundersøkelsen har blitt vurdert som ugyldig grunnet uegnet bunnsubstrat på lokaliteten (mudder).

3.6 Vannforekomst Høverelva/Hurdalselva (002-2568-R)

3.6.1 Vannlokalitet Hurdalselva nederst (Hurd)



Figur 12. Resultater fra vannlokalitet Hurdalelva nederst (Hurd). Figuren viser; a) kart med prøvetakingspunkt (lilla punkt) og tilhørende nedbørsfelt generert vha. nevina.no, b) boksplot med vanntypespesifikke tilstandsklasser for total-fosfor, der årlig median (sort horisontal linje), gjennomsnitt (lilla stjerne) og variasjonsbredde vises for perioden 2012-2022; og c) stasjonsbilde (Foto: Helge B. Pedersen).

Tabell 28. Fakta om vannlokalitet og vannforekomst.

| | |
|---|---|
| Vannlokalitetsnavn (stasjons-ID) og kode | Hurdalselva, nederst (Hurd) 002-58990 |
| Kommune | Hurdal |
| Vannforekomst-ID | 002-1568-R |
| Vannforekomst navn | Høverelva/Hurdalselva |
| Vanntype | R206, kalkfattig, humøs i skog (nær grensen for R205) |

Fysisk-kjemiske støtteparametere

Resultatene fra et utvalg parametere analysert i 2022 er vist i **Tabell 29**. Vannlokalitet Hurdalselva, nederst (Hurd) ble klassifisert til *svært god* tilstand basert på medianen av total-fosfor i 2022 (**Tabell 30**). Tilstanden for E. coli ble vurdert til *dårlig* basert på 90-persentilen (**Tabell 29**). Konsentrasjonene av bakterier indikerer at vannet på lokaliteten har mindre god egnethet (100–1000 E. coli / 100 ml) for jordvanning i henhold til grenseverdiene gitt av Vitenskapskomiteen for mattrygghet (2014). De forhøyede konsentrasjonene av indikatorbakterier tyder på innslag av fekal forurensing, f.eks. fra avløp eller husdyrgjødsel.

Tabell 29. Analyseresultater for E. coli, total-fosfor (Tot-P), ufiltrert og filtrert ortofosfat (P-Orto) og total-nitrogen (Tot-N) i 2022. Tilstandsklassen for Tot-P og Tot-N er basert på medianen av konsentrasjonene i 2022. Tot-N benyttes ikke samlet tilstandsvurdering ettersom vannforekomsten antas å være fosforbegrenset.

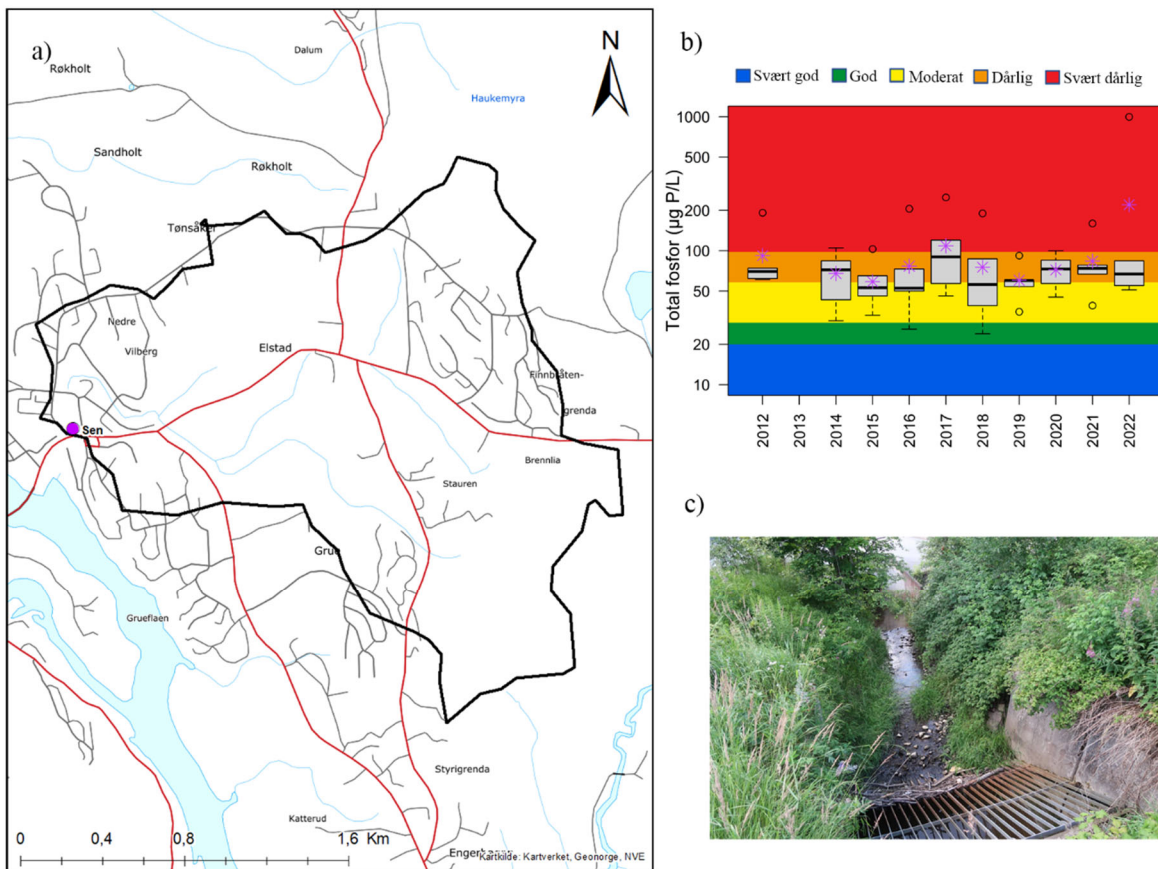
| | E-coli (ant./100 ml) | Tot-P (µg/L) | P-Orto (ufiltrert) (µg/L) | P-Orto (filtrert) (µg/L) | Tot-N (µg/l) |
|---------------------|-------------------------|-----------------|---------------------------------|--------------------------------|-----------------|
| n | 3 | 6 | 6 | - | 6 |
| Min | 30,0 | 4,0 | 0,5 | - | 270,0 |
| Maks | 440,0 | 15,0 | 4,0 | - | 550,0 |
| Median | 47,0 | 5,5 | 1,5 | - | 340,0 |
| Gjennomsnitt | 172,3 | 7,3 | 1,7 | - | 371,7 |
| Std. Avvik | 232,0 | 4,1 | 1,3 | - | 100,3 |
| 90.persentil | 361,4 | 12,0 | 3,0 | - | 485,0 |
| EQR | - | 1,45 | - | - | 0,74 |
| nEQR | - | 1 | - | - | 0,86 |

Tabell 30. Tilstandsklasser for total-fosfor, begroingsalger og bunndyr i perioden 2011-2022, samt samlet økologisk tilstand for 2011-2014, 2017 og 2022.

| Parameter | Total-fosfor | Begroingsalger | Bunndyr | Samlet tilstand |
|---------------------------|--------------|----------------|---------|-----------------|
| Tilstandsklasse 2011-2014 | Svært God | God | God | God |
| Tilstandsklasse 2016 | Svært God | - | - | |
| Tilstandsklasse 2017 | God | Svært God | God | God |
| Tilstandsklasse 2018 | Moderat | - | - | - |
| Tilstandsklasse 2019 | God | - | - | - |
| Tilstandsklasse 2020 | Svært God | - | - | - |
| Tilstandsklasse 2021 | God | Svært God | God | God |
| Tilstandsklasse 2022 | Svært God | - | - | - |

3.7 Vannforekomst Sentrumsbekkene (002-1582-R)

3.7.1 Vannlokalitet Bekk i Eidsvoll sentrum (Sen)



Figur 13. Resultater fra vannlokalitet Bekk i Eidsvoll sentrum (Sen). Figuren viser; a) kart med prøvetakingspunkt (lilla punkt) og tilhørende nedbørdfelt generert vha. nevina.no, b) boksplot med vanntypespesifikke tilstandsklasser for total-fosfor, der årlig median (sort horisontal linje), gjennomsnitt (lilla stjerne) og variasjonsbredde vises for perioden 2012-2022; og c) stasjonsbilde (Foto: Helge B. Pedersen).

Tabell 31. Fakta om vannlokalitet og vannforekomst.

| | |
|--|---|
| Vannlokalitetsnavn (stasjons-ID) og kode | Bekk i Eidsvoll sentrum (Sen) 002-58994 |
| Kommune | Eidsvoll |
| Vannforekomst-ID | 002-1582-R |
| Vannforekomst navn | Sentrumsbekkene Eidsvoll |
| Vanntype | R110, kalkrik, humøs i lavland (grenser mot R111, leirvassdrag). Vanntype i Vann-Nett ikke oppgitt. |

Fysisk-kjemiske støtteparametere

Resultatene fra et utvalg parametere analysert i 2022 er vist i **Tabell 32**. Vannlokalitet Bekk i Eidsvoll sentrum (Sen) ble klassifisert til *dårlig* tilstand basert på medianen av total-fosfor i 2022 (**Tabell 33**). Tilstanden for *E. coli* ble vurdert til svært *dårlig* basert på 90-persentilen (**Tabell 32**). De moderat høye konsentrasjonene av total-nitrogen (dårlig tilstand), høye konsentrasjonene av total-fosfor (dårlig tilstand) kombinert med svært høye konsentrasjoner av indikatorbakterier, tyder på betydelig påvirkning fra avløp.

Vannforekomsten er her typifisert med vanntype R110, kalkrik, humøs elv i lavland, men den ligger tett opp mot vanntype R111, leirvassdrag (**Figur 3**). I tilfeller der vannforekomsten ligger på grensen mellom to vanntyper har vi valgt å typifisere vannforekomsten etter vanntypen med de strengeste klassegrensene. Selv om det er benyttet overvåkingsdata fra 2012-2022 ved typifiseringen, så vil vanntypen for vannforekomster som ligger helt på grensen kunne variere mellom år som følge av tilfeldig variasjon i parameterne som brukes ved typifiseringen av leirvassdrag (her suspendert tørrstoff (STS) og gløderest (SGR)). Det er derfor anbefalt å bruke lange tidsserier ved typifiseringen (her 10 år med måledata for STS og SGR), samt å ha en konservativ tilnærming når vanntypen skal vurderes. Dette i henhold til klassifiseringsveilederen (02:2018).

Tabell 32. Analyseresultater for *E. coli*, total-fosfor (Tot-P), ufiltrert og filtrert ortofosfat (P-Orto),

total-nitrogen (Tot-N), suspendert tørrstoff (STS) og suspendert gløderest (SGR) i 2022.

Tilstandsklassen for Tot-P og Tot-N er basert på medianen av konsentrasjonene i 2022. Tot-N benyttes ikke samlet tilstandsvurdering ettersom vannforekomsten antas å være fosforbegrenset.

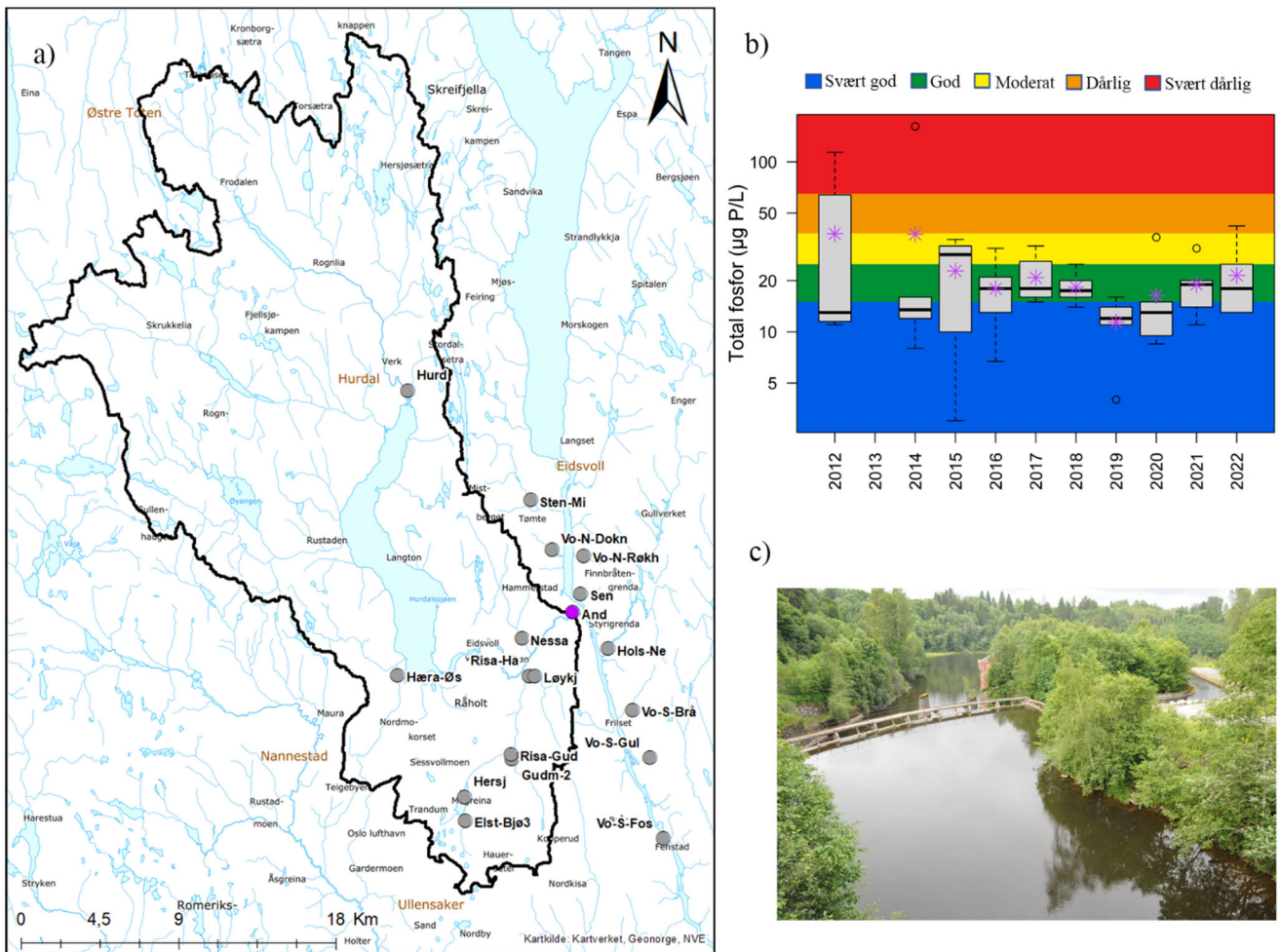
| R110 | E-coli (ant./100 ml) | Tot-P (µg/L) | P-Orto (ufiltrert) (µg/L) | P-Orto (filtrert) (µg/L) | Tot-N (µg/l) | STS (mg/l) | SGR (mg/l) |
|--------------|-------------------------|-----------------|---------------------------------|--------------------------------|-----------------|---------------|---------------|
| n | 2 | 6 | 6 | 5 | 6 | 5 | 5 |
| Min | >2400 | 51,0 | 43,0 | 22,0 | 990,0 | 2,80 | 2,00 |
| Maks | >2400 | 1000,0 | 831,0 | 109,0 | 3900,0 | 667,00 | 625,00 |
| Median | - | 67,0 | 56,0 | 38,0 | 1200,0 | 3,80 | 2,50 |
| Gjennomsnitt | - | 220,7 | 182,0 | 50,6 | 1863,3 | 137,62 | 128,16 |
| Std. Avvik | - | 382,0 | 318,1 | 34,3 | 1236,8 | 295,95 | 277,76 |
| 90.persentil | >2400 | - | - | - | - | - | - |
| EQR | - | 0,16 | - | - | 0,27 | - | - |
| nEQR | - | 0,34 | - | - | 0,42 | - | - |

Tabell 33. Tilstandsklasser for total-fosfor, begroingsalger og bunndyr i perioden 2011-2022, samt samlet økologisk tilstand for 2011-2014, 2017 og 2021.

| Parameter | Total-fosfor | Begroingsalger | Bunndyr | Samlet tilstand |
|---------------------------|--------------|----------------|--------------|-----------------|
| Tilstandsklasse 2011-2014 | <God/Moderat | Moderat | Svært dårlig | Svært dårlig |
| Tilstandsklasse 2015-2016 | <God/Moderat | - | - | - |
| Tilstandsklasse 2017 | <God/Moderat | Moderat | Dårlig | Dårlig |
| Tilstandsklasse 2018 | <God/Moderat | - | - | - |
| Tilstandsklasse 2019 | <God/Moderat | - | - | - |
| Tilstandsklasse 2020 | <God/Moderat | - | - | - |
| Tilstandsklasse 2021 | Dårlig | Moderat | Dårlig | Dårlig |
| Tilstandsklasse 2022 | Dårlig | - | - | - |

3.8 Vannforekomst Andelva (002-3785-R)

3.8.1 Vannlokalitet Andelva ved Bårlidalen (And)



Figur 14. Resultater fra vannlokalitet Andelva ved Bårlidalen (And). Figuren viser; a) kart med prøvetakingspunkt (lilla punkt) og tilhørende nedbørsfelt generert vha. nevina.no, b) bokspott med vannypespesifikke tilstandsklasser for total-fosfor, der årlig median (sort horisontal linje), gjennomsnitt (lilla stjerne) og variasjonsbredde vises for perioden 2012-2022; og c) stasjonsbilde (Foto: Helge B. Pedersen).

Tabell 34. Fakta om vannlokalitet og vannforekomst.

| | |
|--|---|
| Vannlokalitetsnavn (stasjons-ID) og kode | Andelva ved Bårlidalen (And) 002-30592 |
| Kommune | Eidsvoll |
| Vannforekomst-ID | 002-3785-R |
| Vannforekomst navn | Andelva (tidligere Andelva med tilløpsbekker) |
| Vanntype | R107, moderat kalkrik, klar i lavland (grenser mot R109, kalkrik, klar) |

Fysisk-kjemiske støtteparametere

Resultatene fra et utvalg parametere analysert i 2022 er vist i **Tabell 35**. Vannlokalitet Andelva ved Bårlidalen (And) ble klassifisert til *god* tilstand basert på medianen av total-fosfor i 2022 (**Tabell 36**). Tilstanden for E. coli ble vurdert til *moderat* basert på 90-persentilen (**Tabell 35**).

Vannforekomsten er her typifisert med vanntype R107, moderat kalkrik, klar elv i lavland, men den ligger veldig tett opp mot vanntype R109, kalkrik, klar (**Figur 4**). Siden både gjennomsnittlig- og median kalsium koncentrasjon for vannforekomsten ligger veldig nært opp mot grensen for kalkrike vannforekomster (20 mg Ca/l), så er det knyttet noe usikkerhet til om elven bør vurderes som moderat kalkrik eller kalkrik. I dette tilfellet ligger vannforekomsten uansett på grensen mellom to vanntyper med samme klassegrenser, så det er derfor ikke nødvendig å endre vanntypen i Vann-nett (R109) på nåværende tidspunkt.

Selv om vannforekomsten i tidligere undersøkelser har ligget tett opp mot vanntype R111 (leirelver), så tyder 10 år med måledata for STS og SGR på at vannforekomsten heller bør vurderes til vanntype R107 eller R109 (**Figur 3**).

Tabell 35. Analyseresultater for E. coli, total-fosfor (Tot-P), ufiltrert og filtrert ortofosfat (P-Orto) og total-nitrogen (Tot-N) i 2022. Tilstandsklassen for Tot-P og Tot-N er basert på medianen av koncentrasjonene i 2022. Tot-N benyttes ikke samlet tilstandsvurdering ettersom vannforekomsten antas å være fosforbegrenset.

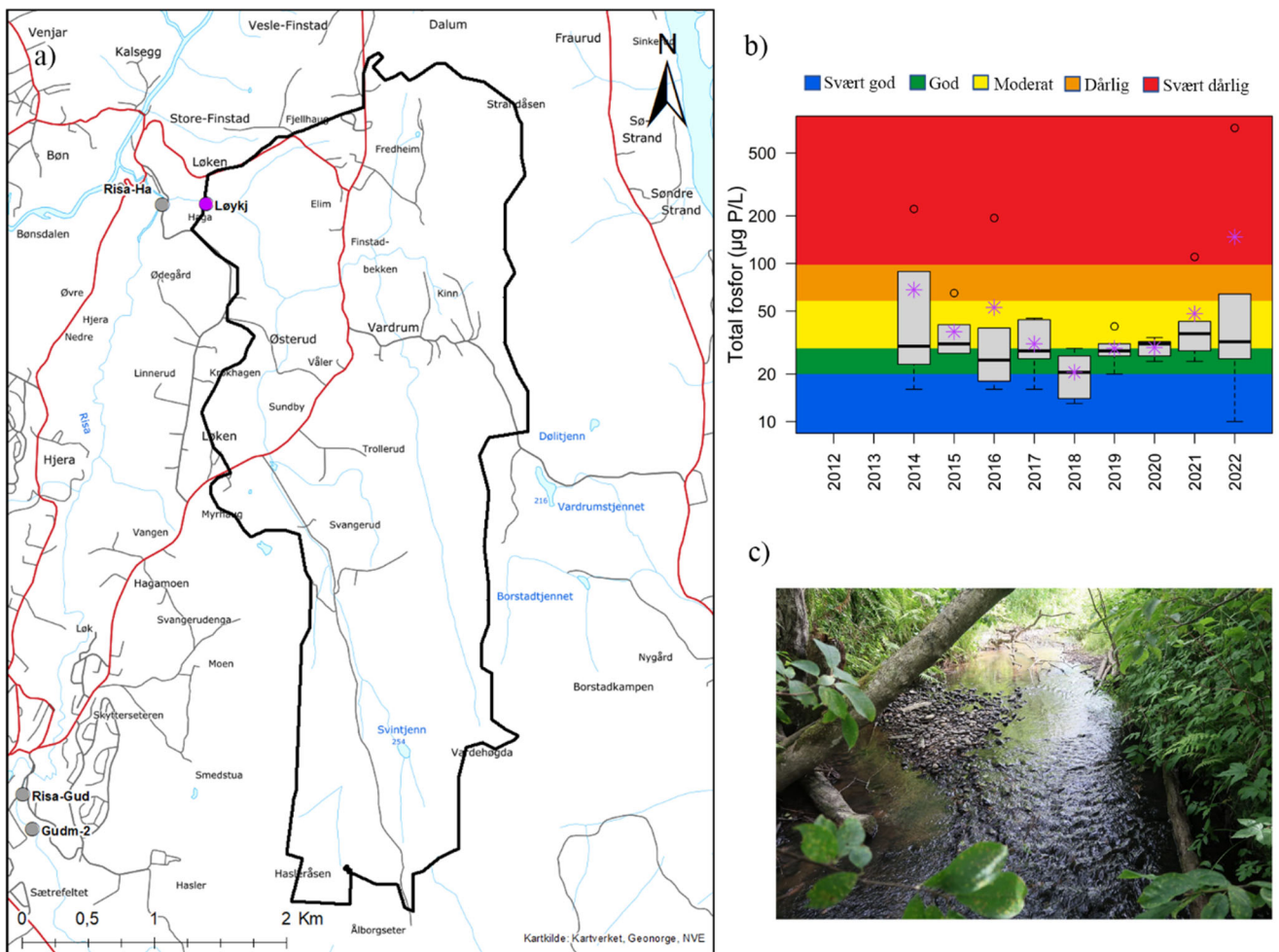
| R107 | E-coli (ant./100 ml) | Tot-P (µg/L) | P-Orto (ufiltrert) (µg/L) | P-Orto (filtrert) (µg/L) | Tot-N (µg/l) |
|--------------|-------------------------|-----------------|---------------------------------|--------------------------------|-----------------|
| n | 3 | 6 | 6 | - | 6 |
| Min | 9,0 | 13,0 | 6,0 | - | 180,0 |
| Maks | 140,0 | 42,0 | 26,0 | - | 790,0 |
| Median | 86,0 | 18,0 | 8,0 | - | 295,0 |
| Gjennomsnitt | 78,3 | 21,5 | 10,8 | - | 358,3 |
| Std. Avvik | 65,8 | 11,0 | 7,7 | - | 225,2 |
| 90.persentil | 129,2 | - | - | - | - |
| EQR | - | 0,5 | - | - | 0,93 |
| nEQR | - | 0,72 | - | - | 0,96 |

Tabell 36. Tilstandsklasser for total-fosfor, begroingsalger og bunndyr i perioden 2011-2022, samt samlet økologisk tilstand for 2011-2014, 2017 og 2021.

| Parameter | Total-fosfor | Begroingsalger | Bunndyr | Samlet tilstand |
|---------------------------|--------------|----------------|---------|-----------------|
| Tilstandsklasse 2011-2014 | <God/Moderat | Moderat | Moderat | Moderat |
| Tilstandsklasse 2015-2016 | >God/Moderat | | | |
| Tilstandsklasse 2017 | >God/Moderat | God | God | God |
| Tilstandsklasse 2018 | >God/Moderat | | | |
| Tilstandsklasse 2019 | >God/Moderat | | | |
| Tilstandsklasse 2020 | >God/Moderat | | | |
| Tilstandsklasse 2021 | God | God | Moderat | Moderat |
| Tilstandsklasse 2022 | God | | | |

3.9 Vannforekomst Løykjebekken (002-3787-R)

3.9.1 Vannlokalitet Løykjebekken (Løykj)



Figur 15. Resultater fra vannlokalitet Løykjebekken (Løykj). Figuren viser; a) kart med prøvetakingspunkt (lilla punkt) og tilhørende nedbørsfelt generert vha. nevina.no, b) boksplot med vanntypespesifikke tilstandsklasser for total-fosfor, der årlig median (sort horisontal linje), gjennomsnitt (lilla stjerne) og variasjonsbredde vises for perioden 2014-2022; og c) stasjonsbilde (Foto: Helge B. Pedersen).

Tabell 37. Fakta om vannlokalitet og vannforekomst.

| | |
|---|--|
| Vannlokalitetsnavn (stasjons-ID) og kode | Løykjebekken (Løykj) 002-79009 |
| Kommune | Eidsvoll |
| Vannforekomst-ID | 002-3787-R |
| Vannforekomst navn | Løykjebekken (tidligere Andelva med tilløpsbekker) |
| Vanntype | R109, kalkrik, humøs i lavland (grenser mot R110, kalkrik, klar) |

Fysisk-kjemiske støtteparametere

Resultatene fra et utvalg parametere analysert i 2022 er vist i **Tabell 38**. Vannlokalitet Løykjebekken (Løykj) ble klassifisert til *moderat* tilstand basert på medianen av total-fosfor i 2022 (**Tabell 39**).

Tilstanden for *E. coli* ble vurdert til *svært dårlig* basert på 90-persentilen (**Tabell 38**).

Konsentrasjonene av bakterier indikerer at vannet på lokaliteten vannet ikke er egnet i det hele tatt (> 1000 *E. coli* / 100 ml) for jordvanning i henhold til grenseverdiene gitt av Vitenskapskomiteen for mattryghet (2014). De moderat høye konsentrasjonene av total-fosfor (moderat tilstand), kombinert med svært høye konsentrasjoner av indikatorbakterier, tyder på betydelig påvirkning fra avløp, punktutslipp og/eller jordbruk.

Vannforekomsten er her typifisert med vanntype R109, kalkrik, klar elv i lavland, men den grenser mot vanntype R110, kalkrik, humøs (**Figur 4**). Siden både gjennomsnittlig- og median humuskonsentrasjon for vannforekomsten ligger veldig nær grensen for humøse vannforekomster (30 mg Pt/l), så er det knyttet noe usikkerhet til om elven bør vurderes som klar eller humøs. I tilfeller der vannforekomsten ligger på grensen mellom to vanntyper har vi valgt å typifisere vannforekomsten etter vanntypen med de strengeste klassegrensene (her R109). Selv om det er benyttet overvåkingsdata fra 2012-2022 ved typifiseringen, så vil vanntypen for vannforekomster som ligger helt på grensen kunne variere mellom år som følge av tilfeldig variasjon i parameterne som brukes til å skille mellom klare og humøse vannforekomster (her humus (Pt/l)). Det er derfor anbefalt å bruke lange tidsserier ved typifiseringen (her 10 år med måledata for humus), samt å ha en konservativ tilnærming når vanntypen skal vurderes. Dette i henhold til klassifiseringsveilederen (02:2018).

I dette tilfellet blir vannforekomsten klassifisert til moderat fysisk-kjemisk tilstand basert på total-fosfor uavhengig hvilken av vanntypene R109 og R110 vi bruker. Selv om vannforekomsten i tidligere undersøkelser har ligget tett opp mot vanntype R111 (leirelver), så tyder 10 år med måledata for STS og SGR på at vannforekomsten heller bør vurderes til vanntype R109 eller R110 (**Figur 3**).

Tabell 38. Analyseresultater for *E. coli*, total-fosfor (Tot-P), ufiltrert og filtrert ortofosfat (P-Orto), total-nitrogen (Tot-N), suspendert tørrstoff (STS) og suspendert gløderest (SGR) i 2022.

Tilstandsklassen for Tot-P og Tot-N er basert på medianen av konsentrasjonene i 2022. Tot-N benyttes ikke samlet tilstandsvurdering ettersom vannforekomsten antas å være fosforbegrenset.

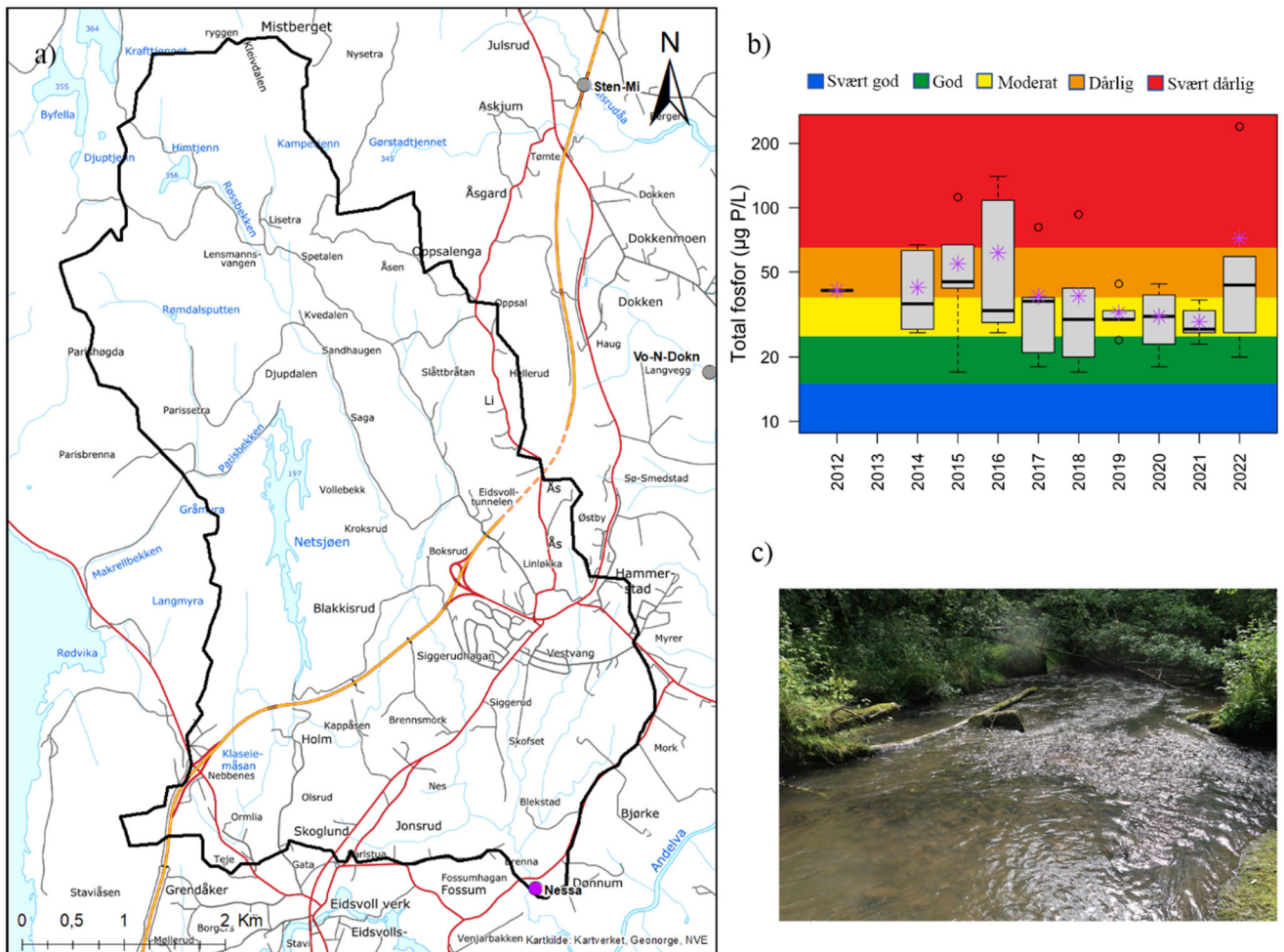
| R110 | E-coli (ant./100 ml) | Tot-P (µg/L) | P-Orto (ufiltrert) (µg/L) | P-Orto (filtrert) (µg/L) | Tot-N (µg/l) | STS (mg/l) | SGR (mg/l) |
|--------------|-------------------------|-----------------|---------------------------------|--------------------------------|-----------------|---------------|---------------|
| n | 3 | 6 | 6 | 6 | 6 | 6 | 6 |
| Min | 81,0 | 10,0 | 7,0 | 2,0 | 130,0 | 2,90 | 0,80 |
| Maks | 1700,0 | 720,0 | 398,0 | 19,0 | 2500,0 | 503,00 | 449,00 |
| Median | 490,0 | 32,0 | 24,0 | 12,5 | 375,0 | 3,80 | 2,65 |
| Gjennomsnitt | 757,0 | 147,2 | 84,5 | 11,3 | 900,0 | 88,73 | 78,47 |
| Std. Avvik | 841,9 | 281,2 | 153,9 | 6,7 | 967,9 | 203,01 | 181,58 |
| 90.persentil | 1458,0 | - | - | - | - | - | - |
| EQR | - | 0,28 | - | - | 0,73 | - | - |
| nEQR | - | 0,47 | - | - | 0,85 | - | - |

Tabell 39. Tilstandsklasser for total-fosfor, begroingsalger og bunndyr i perioden 2011-2022, samt samlet økologisk tilstand for 2011-2014, 2017 og 2021.

| Parameter | Total-fosfor | Begroingsalger | Bunndyr | Samlet tilstand |
|---------------------------|--------------|----------------|---------|-----------------|
| Tilstandsklasse 2011-2014 | <God/Moderat | Moderat | God* | Moderat |
| Tilstandsklasse 2015-2016 | >God/Moderat | - | - | - |
| Tilstandsklasse 2017 | >God/Moderat | God | - | God |
| Tilstandsklasse 2018 | >God/Moderat | - | - | - |
| Tilstandsklasse 2019 | <God/Moderat | - | - | - |
| Tilstandsklasse 2020 | <God/Moderat | - | - | - |
| Tilstandsklasse 2021 | Dårlig | Moderat | - | Moderat |
| Tilstandsklasse 2022 | Moderat | - | - | - |

3.10 Vannforekomst Nessa (002-3760-R)

3.10.1 Vannlokalitet Nessa nedstrøms Nesfossen (Nessa)



Figur 16. Resultater fra vannlokalitet Nessa nedstrøms Nesfossen (And). Figuren viser; a) kart med prøvetakingspunkt (lilla punkt) og tilhørende nedbørsfelt generert vha. nevina.no, b) boksplot med vannypespesifikke tilstandsklasser for total-fosfor, der årlig median (sort horisontal linje), gjennomsnitt (lilla stjerne) og variasjonsbredde vises for perioden 2014-2022; og c) stasjonsbilde (Foto: Helge B. Pedersen).

Tabell 40. Fakta om vannlokalitet og vannforekomst.

| | |
|--|---|
| Vannlokalitetsnavn (stasjons-ID) og kode | Nessa nedstrøms Nesfossen (Nessa) 002-59003 |
| Kommune | Eidsvoll |
| Vannforekomst-ID | 002-3760-R |
| Vannforekomst navn | Nessa |
| Vanntype | R109, kalkrik, klar i lavland (grenser mot R110, kalkrik, humøs). |

Fysisk-kjemiske støtteparametere

Resultatene fra et utvalg parametere analysert i 2022 er vist i **Tabell 41**. Vannlokalitet Nessa nedstrøms Nesfossen (Nessa) ble klassifisert til *dårlig* tilstand basert på medianen av total-fosfor i 2022 (**Tabell 42**). Tilstanden for *E. coli* ble vurdert til *svært dårlig* basert på 90-persentilen (**Tabell 41**). Konsentrasjonene av bakterier indikerer at vannet på lokaliteten vannet ikke er egnet i det hele tatt (> 1000 *E. coli* / 100 ml) for jordvanning i henhold til grenseverdiene gitt av Vitenskapskomiteen for mattrygghet (2014). De høye konsentrasjonene av total-nitrogen (svært dårlig tilstand), kombinert med svært høye konsentrasjoner av indikatorbakterier, tyder på betydelig påvirkning fra avløp, punktutslipp og/eller jordbruk.

Vannforekomsten er her typifisert med vanntype R109, kalkrik, klar elv i lavland, men den grenser mot vanntype R110, kalkrik, humøs (**Figur 4**). Siden både gjennomsnittlig- og median humuskonsentrasjon for vannforekomsten ligger veldig nær grensen for humøse vannforekomster (30 mg Pt/l), så er det knyttet noe usikkerhet til om elven bør vurderes som klar eller humøs. I tilfeller der vannforekomsten ligger på grensen mellom to vanntyper har vi valgt å typifisere vannforekomsten etter vanntypen med de strengeste klassegrensene (her R109). Selv om det er benyttet overvåkingsdata fra 2012-2022 ved typifiseringen, så vil vanntypen for vannforekomster som ligger helt på grensen kunne variere mellom år som følge av tilfeldig variasjon i parameterne som brukes til å skille mellom klare og humøse vannforekomster (her humus (Pt/l)). Det er derfor anbefalt å bruke lange tidsserier ved typifiseringen (her 10 år med måledata for humus), samt å ha en konservativ tilnærming når vanntypen skal vurderes. Dette i henhold til klassifiseringsveilederen (02:2018).

I dette tilfellet blir vannforekomsten klassifisert til dårlig fysisk-kjemisk tilstand basert på total-fosfor hvis vi bruker vanntype R109, og moderat fysisk-kjemisk tilstand hvis vi bruker vanntype R110. Selv om vannforekomsten ligger tett opp mot vanntype R111 (leirelever), så tyder 10 år med måledata for STS og SGR på at vannforekomsten heller bør vurderes til vanntype R109 eller R110 (**Figur 3**).

Tabell 41. Analyseresultater for *E. coli*, total-fosfor (Tot-P), ufiltrert og filtrert ortofosfat (P-Orto), total-nitrogen (Tot-N), suspendert tørrstoff (STS) og suspendert gløderest (SGR) i 2022.

Tilstandsklassen for Tot-P og Tot-N er basert på medianen av konsentrasjonene i 2022. Tot-N benyttes ikke samlet tilstandsvurdering ettersom vannforekomsten antas å være fosforbegrenset.

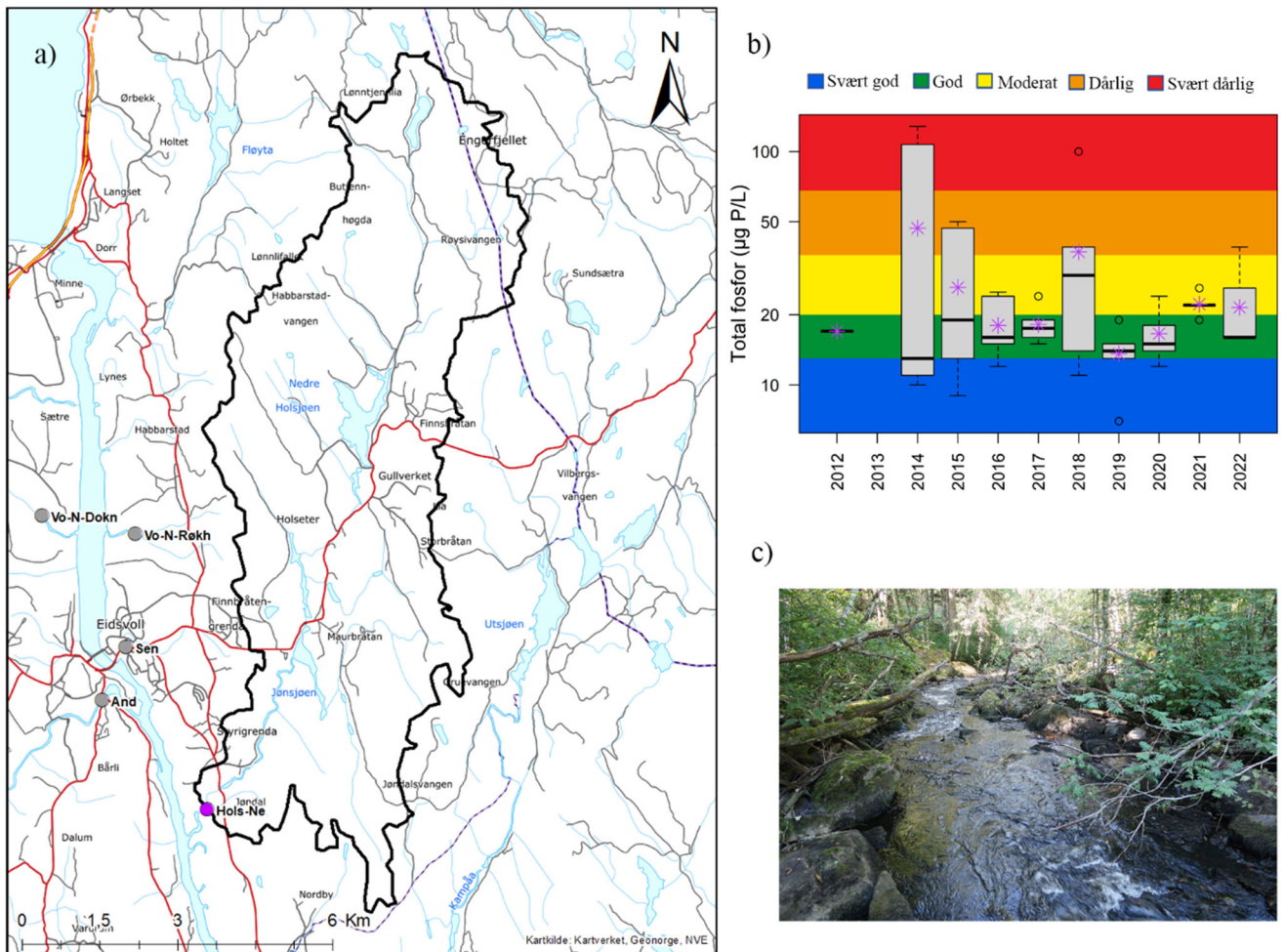
| R109 | E-coli (ant./100 ml) | Tot-P (µg/L) | P-Orto (ufiltrert) (µg/L) | P-Orto (filtrert) (µg/L) | Tot-N (µg/l) | STS (mg/l) | SGR (mg/l) |
|--------------|-------------------------|-----------------|---------------------------------|--------------------------------|-----------------|---------------|---------------|
| n | 3 | 6 | 6 | 6 | 6 | 6 | 6 |
| Min | 150,0 | 20,0 | 11,0 | 8,0 | 810,0 | 3,00 | 0,85 |
| Maks | 1700,0 | 240,0 | 158,0 | 39,0 | 2900,0 | 113,00 | 97,50 |
| Median | 1100,0 | 43,5 | 30,0 | 15,5 | 1550,0 | 8,50 | 7,15 |
| Gjennomsnitt | 983,3 | 72,0 | 46,8 | 18,3 | 1701,7 | 26,87 | 22,76 |
| Std. Avvik | 781,6 | 83,7 | 55,3 | 11,7 | 805,2 | 42,80 | 37,25 |
| 90.persentil | 1580,0 | - | - | - | - | - | - |
| EQR | - | 0,21 | - | - | 0,18 | - | - |
| nEQR | - | 0,33 | - | - | 0,19 | - | - |

Tabell 42. Tilstandsklasser for total-fosfor, begroingsalger og bunndyr i perioden 2011-2022, samt samlet økologisk tilstand for 2011-2014, 2017 og 2021.

| Parameter | Total-fosfor | Begroingsalger | Bunndyr | Samlet tilstand |
|---------------------------|--------------|----------------|---------|-----------------|
| Tilstandsklasse 2011-2014 | >God/Moderat | Moderat | Moderat | Moderat |
| Tilstandsklasse 2015-2016 | <God/Moderat | | | |
| Tilstandsklasse 2017 | <God/Moderat | Moderat | Moderat | Moderat |
| Tilstandsklasse 2018 | <God/Moderat | | | |
| Tilstandsklasse 2019 | <God/Moderat | | | |
| Tilstandsklasse 2020 | <God/Moderat | | | |
| Tilstandsklasse 2021 | Moderat | Moderat | God | Moderat |
| Tilstandsklasse 2022 | Dårlig | | | |

3.11 Vannforekomst Jøndalsåa (002-3777-R)

3.11.1 Vannlokalitet Jøndalsåa ved utløp i Vorma (Hols-Ne)



Figur 17. Resultater fra vannlokalitet Jøndalsåa ved utløp i Vorma (Hols-Ne). Figuren viser; a) kart med prøvetakingspunkt (lilla punkt) og tilhørende nedbørsfelt generert vha. nevina.no, b) boksplot med vanntypespesifikke tilstandsklasser for total-fosfor, der årlig median (sort horisontal linje), gjennomsnitt (lilla stjerne) og variasjonsbredde vises for perioden 2014-2022; og c) stasjonsbilde (Foto: Helge B. Pedersen).

Tabell 43. Fakta om vannlokalitet og vannforekomst.

| | |
|--|---|
| Vannlokalitetsnavn (stasjons-ID) og kode | Jøndalsåa ved utløp i Vorma (Hols-Ne) 002-59002 |
| Kommune | Eidsvoll |
| Vannforekomst-ID | 002-3777-R |
| Vannforekomst navn | Jøndalsåa |
| Vanntype | R206, kalkfattig, humøs i skog. |

Fysisk-kjemiske støtteparametere

Resultatene fra et utvalg parametere analysert i 2022 er vist i **Tabell 44**. Vannlokalitet Jøndalsåa ved utløp i Vorma (Hols-Ne) ble klassifisert til *god* tilstand basert på medianen av total-fosfor i 2022 (**Tabell 45**). Tilstanden for E. coli ble vurdert til moderat basert på 90-persentilen (**Tabell 44**).

Tabell 44. Analyseresultater for E. coli, total-fosfor (Tot-P), ufiltrert og filtrert ortofosfat (P-Orto), total-nitrogen (Tot-N), suspendert tørrstoff (STS) og suspendert gløderest (SGR) i 2022.

Tilstandsklassen for Tot-P og Tot-N er basert på medianen av konsentrasjonene i 2022. Tot-N benyttes ikke samlet tilstandsvurdering ettersom vannforekomsten antas å være fosforbegrenset.

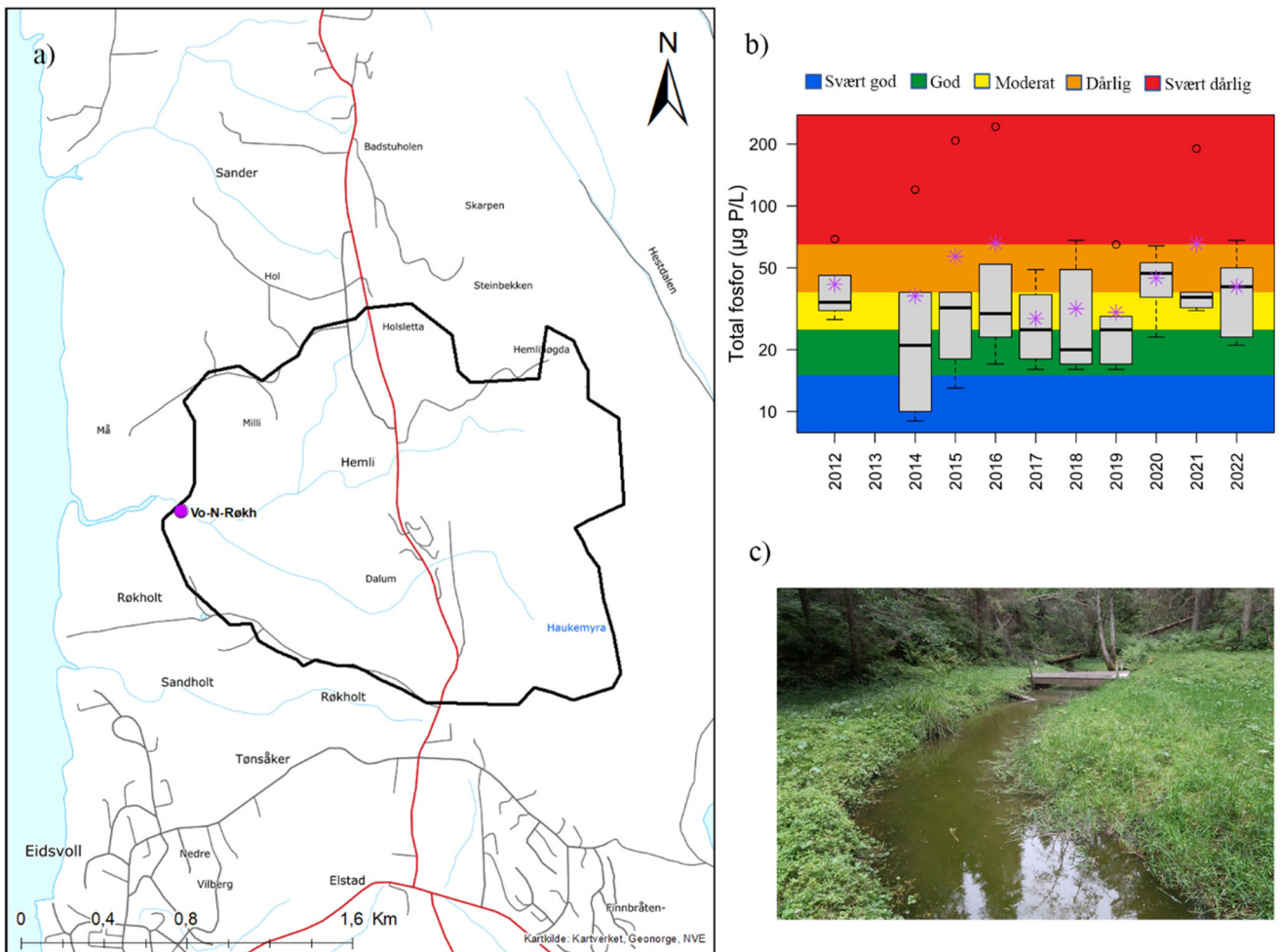
| R206 | E-coli (ant./100 ml) | Tot-P (µg/L) | P-Orto (ufiltrert) (µg/L) | P-Orto (filtrert) (µg/L) | Tot-N (µg/l) | STS (mg/l) | SGR (mg/l) |
|--------------|-------------------------|-----------------|---------------------------------|--------------------------------|-----------------|---------------|---------------|
| n | 3 | 6 | 6 | - | 6 | - | - |
| Min | 9,0 | 16,0 | 3,0 | - | 250,0 | - | - |
| Maks | 130,0 | 39,0 | 18,0 | - | 610,0 | - | - |
| Median | 27,0 | 16,0 | 4,0 | - | 270,0 | - | - |
| Gjennomsnitt | 55,3 | 21,5 | 6,8 | - | 370,0 | - | - |
| Std. Avvik | 65,3 | 9,5 | 5,9 | - | 167,5 | - | - |
| 90.persentil | 109,4 | - | - | - | - | - | - |
| EQR | - | 0,5 | - | - | 0,93 | - | - |
| nEQR | - | 0,69 | - | - | 0,96 | - | - |

Tabell 45. Tilstandsklasser for total-fosfor, begroingsalger og bunndyr i perioden 2011-2022, samt samlet økologisk tilstand for 2011-2014, 2017 og 2021.

| Parameter | Total-fosfor | Begroingsalger | Bunndyr | Samlet tilstand |
|---------------------------|--------------|----------------|-----------|-----------------|
| Tilstandsklasse 2011-2014 | Dårlig | Moderat | God | Moderat |
| Tilstandsklasse 2015-2016 | Moderat | - | - | - |
| Tilstandsklasse 2017 | God | God | Svært god | God |
| Tilstandsklasse 2018 | Dårlig | - | - | - |
| Tilstandsklasse 2019 | God | - | - | - |
| Tilstandsklasse 2020 | God | - | - | - |
| Tilstandsklasse 2021 | Moderat | Moderat | God | Moderat |
| Tilstandsklasse 2022 | God | - | - | - |

3.12 Vannforekomst Tilløpsbekker Vorma nord for Sundet (002-1545-R)

3.12.1 Vannlokalitet Bekk ved Røkholt/Måevja (Vo-N-Røkh)



Figur 18. Resultater fra vannlokalitet Bekk ved Røkholt/Måevja (Vo-N-Røkh). Figuren viser; a) kart med prøvetakingspunkt (lilla punkt) og tilhørende nedbørsfelt generert vha. nevina.no, b) boksplot med vanntypespesifikke tilstandsklasser for total-fosfor, der årlig median (sort horisontal linje), gjennomsnitt (lilla stjerne) og variasjonsbredde vises for perioden 2012-2022; og c) stasjonsbilde (Foto: Helge B. Pedersen).

Tabell 46. Fakta om vannlokalitet og vannforekomst.

| | |
|--|--|
| Vannlokalitetsnavn (stasjons-ID) og kode | Bekk ved Måevja (Vo-N-Røkh) 002-58991 |
| Kommune | Eidsvoll |
| Vannforekomst-ID | 002-1545-R |
| Vannforekomst navn | Tilløpsbekker Vorma nord for Sundet |
| Vanntype | R109, kalkfattig, klar i lavland (grenser mot R111, leirvassdrag). |

Fysisk-kjemiske støtteparametere

Resultatene fra et utvalg parametere analysert i 2022 er vist i **Tabell 47**. Vannlokalitet Bekk ved Røkholt/Måevja (Vo-N-Røkh) ble klassifisert til *dårlig* tilstand basert på medianen av total-fosfor i 2022 (**Tabell 48**). Tilstanden for E. coli ble vurdert til *dårlig* basert på 90-persentilen (**Tabell 47**). Konsentrasjonene av bakterier indikerer at vannet på lokaliteten har mindre god egnethet (100–1000 E. coli / 100 ml) for jordvanning i henhold til grenseverdiene gitt av Vitenskapskomiteen for mattryghet (2014). De moderat høye konsentrasjonene av total-nitrogen (moderat tilstand), kombinert med forhøyede konsentrasjoner av indikatorbakterier, tyder på betydelig påvirkning fra avløp, punktutslipp og/eller jordbruk.

Vannforekomsten er her typifisert med vanntype R109, kalkrik, klar elv i lavland, men den ligger tett opp mot vanntype R111, leirvassdrag (**Figur 3**). I tilfeller der vannforekomsten ligger på grensen mellom to vanntyper har vi valgt å typifisere vannforekomsten etter vanntypen med de strengeste klassegrensene. Selv om det er benyttet overvåkingsdata fra 2012–2022 ved typifiseringen, så vil vanntypen for vannforekomster som ligger helt på grensen kunne variere mellom år som følge av tilfeldig variasjon i parameterne som brukes ved typifiseringen av leirvassdrag (her suspendert tørrstoff (STS) og gløderest (SGR)). Det er derfor anbefalt å bruke lange tidsserier ved typifiseringen (her 10 år med måledata for STS og SGR), samt å ha en konservativ tilnærming når vanntypen skal vurderes. Dette i henhold til klassifiseringsveilederen (02:2018). Selv om vannforekomsten ligger tett opp mot vanntype R111 (leirelver), så tyder 10 år med måledata for STS og SGR på at vannforekomsten heller bør vurderes til vanntype R109 (**Figur 3**).

Tabell 47. Analyseresultater for E. coli, total-fosfor (Tot-P), ufiltrert og filtrert ortofosfat (P-Orto), total-nitrogen (Tot-N), suspendert tørrstoff (STS) og suspendert gløderest (SGR) i 2022.
Tilstandsklassen for Tot-P og Tot-N er basert på medianen av konsentrasjonene i 2022. Tot-N benyttes ikke samlet tilstandsvurdering ettersom vannforekomsten antas å være fosforbegrenset.

| R109 | E-coli (ant./100 ml) | Tot-P (µg/L) | P-Orto (ufiltrert) (µg/L) | P-Orto (filtrert) (µg/L) | Tot-N (µg/l) | STS (mg/l) | SGR (mg/l) |
|--------------|-------------------------|-----------------|---------------------------------|--------------------------------|-----------------|---------------|---------------|
| n | 3 | 6 | 6 | 6 | 6 | 6 | 6 |
| Min | 44,0 | 21,0 | 15,0 | 0,5 | 430,0 | 3,30 | 2,60 |
| Maks | 220,0 | 68,0 | 42,0 | 11,0 | 2200,0 | 17,30 | 15,20 |
| Median | 180,0 | 40,5 | 23,5 | 3,5 | 810,0 | 7,70 | 4,05 |
| Gjennomsnitt | 148,0 | 40,5 | 25,3 | 5,3 | 960,0 | 9,07 | 6,83 |
| Std. Avvik | 92,3 | 17,9 | 9,9 | 4,2 | 654,2 | 5,55 | 5,49 |
| 90.persentil | 212,0 | - | - | - | - | - | - |
| EQR | - | 0,22 | - | - | 0,34 | - | - |
| nEQR | - | 0,36 | - | - | 0,48 | - | - |

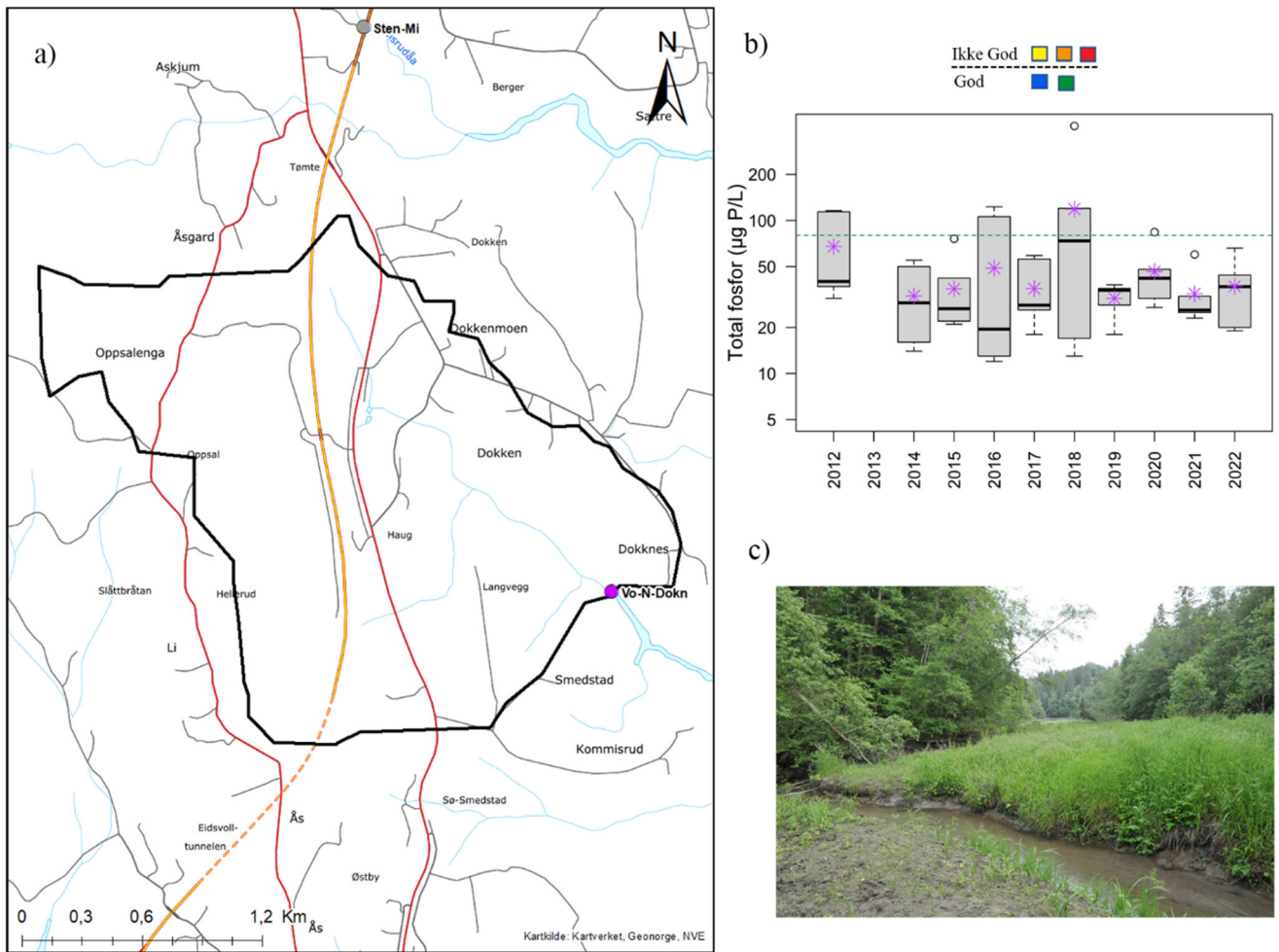
Tabell 48. Tilstandsklasser for total-fosfor, begroingsalger og bunndyr i perioden 2011-2022, samt samlet økologisk tilstand for 2011-2014, 2017 og 2021.

| Parameter | Total-fosfor | Begroingsalger | Bunndyr | Samlet tilstand |
|---------------------------|--------------|----------------|---------|-----------------|
| Tilstandsklasse 2011-2014 | <God/Moderat | Dårlig | Dårlig | Dårlig |
| Tilstandsklasse 2015-2016 | >God/Moderat | - | - | - |
| Tilstandsklasse 2017 | <God/Moderat | Moderat | * | Moderat |
| Tilstandsklasse 2018 | >God/Moderat | - | - | - |
| Tilstandsklasse 2019 | <God/Moderat | - | - | - |
| Tilstandsklasse 2020 | <God/Moderat | - | - | - |
| Tilstandsklasse 2021 | Svært dårlig | ** | * | Svært dårlig |
| Tilstandsklasse 2022 | Dårlig | - | - | - |

* Bunndyr ble ikke prøvetatt på grunn av uegnet bunnsubstrat (bløtbunn).

** Begroing er ikke inkludert i økologisk tilstandsvurdering fordi det kun ble funnet én indikatorart i prøven. I henhold til klassifiseringsveileder 02:2018 (Direktoratsgruppen vanndirektivet 2018) må det være to arter til stede for at PIT-indeks skal kunne beregnes.

3.12.2 Vannlokalitet Bekk ved Dokknes (Vo-N-Dokn)



Figur 19. Resultater fra vannlokalitet Bekk ved Dokknes (Vo-N-Dokn). Figuren viser; a) kart med prøvetakingspunkt (illa punkt) og tilhørende nedbørdfelt generert vha. nevina.no, b) boksplot med vanntypespesifikke tilstandsklasser for total-fosfor, der årlig median (sort horisontal linje), gjennomsnitt (illa stjerne) og variasjonsbredde vises for perioden 2012-2022; og c) stasjonsbilde (Foto: Helge B. Pedersen).

Tabell 49. Fakta om vannlokalitet og vannforekomst.

| | |
|--|--|
| Vannlokalitetsnavn (stasjons-ID) og kode | Bekk ved Dokknes (Vo-N-Dokn) 002-58993 |
| Kommune | Eidsvoll |
| Vannforekomst-ID | 002-1545-R |
| Vannforekomst navn | Tilløpsbekker Vorma nord for Sundet |
| Vanntype | R111, leirvassdrag |

Fysisk-kjemiske støtteparametere

Resultatene fra et utvalg parametere analysert i 2022 er vist i **Tabell 50**. Vannlokalitet Bekk ved Dokknes (Vo-N-Dokn) ble klassifisert til *god* tilstand i 2022 ettersom både mediankonsentrasjonen av total-fosfor og filtrert ortofosfat var under god/moderat-grensen for leirvassdrag med leirkalkning

50% (80 µg/l for TotP og 10 µg/l for fosfat) (**Tabell 51**). Tilstanden for E. coli ble vurdert til *svært dårlig* basert på 90-persentilen (**Tabell 50**). Konsentrasjonene av bakterier indikerer at vannet på lokaliteten vannet ikke er egnet i det hele tatt (> 1000 E. coli / 100 ml) for jordvanning i henhold til grenseverdiene gitt av Vitenskapskomiteen for mattrygghet (2014). De høye konsentrasjonene av total-nitrogen (svært dårlig tilstand), kombinert med svært høye konsentrasjoner av indikatorbakterier, tyder på betydelig påvirkning fra avløp, punktutslip og/eller jordbruk.

Tabell 50. Analyseresultater for E. coli, total-fosfor (Tot-P), ufiltrert og filtrert ortofosfat (P-Orto), total-nitrogen (Tot-N), suspendert tørrstoff (STS) og suspendert gløderest (SGR) i 2022.

Tilstandsklassen for Tot-P og Tot-N er basert på medianen av konsentrasjonene i 2022. Tot-N benyttes ikke samlet tilstandsvurdering ettersom vannforekomsten antas å være fosforbegrenset.

| R111 | E-coli (ant./100 ml) | Tot-P (µg/L) | P-Orto (ufiltrert) (µg/L) | P-Orto (filtrert) (µg/L) | Tot-N (µg/l) | STS (mg/l) | SGR (mg/l) |
|--------------|-------------------------|-----------------|---------------------------------|--------------------------------|-----------------|---------------|---------------|
| n | 3 | 6 | 6 | 6 | 6 | 6 | 6 |
| Min | 62,0 | 19,0 | 13,0 | 5,0 | 1900,0 | 1,80 | 0,50 |
| Maks | 2400,0 | 66,0 | 44,0 | 16,0 | 3300,0 | 46,20 | 42,10 |
| Median | 310,0 | 37,0 | 24,5 | 9,5 | 2000,0 | 14,70 | 11,55 |
| Gjennomsnitt | 924,0 | 37,2 | 26,7 | 10,0 | 2216,7 | 18,18 | 15,65 |
| Std. Avvik | 1284,3 | 17,6 | 12,7 | 4,3 | 541,9 | 15,81 | 15,00 |
| 90.persentil | 1982,0 | - | - | - | - | - | - |
| EQR | - | - | - | - | 0,14 | - | - |
| nEQR | - | - | - | - | 0,18 | - | - |

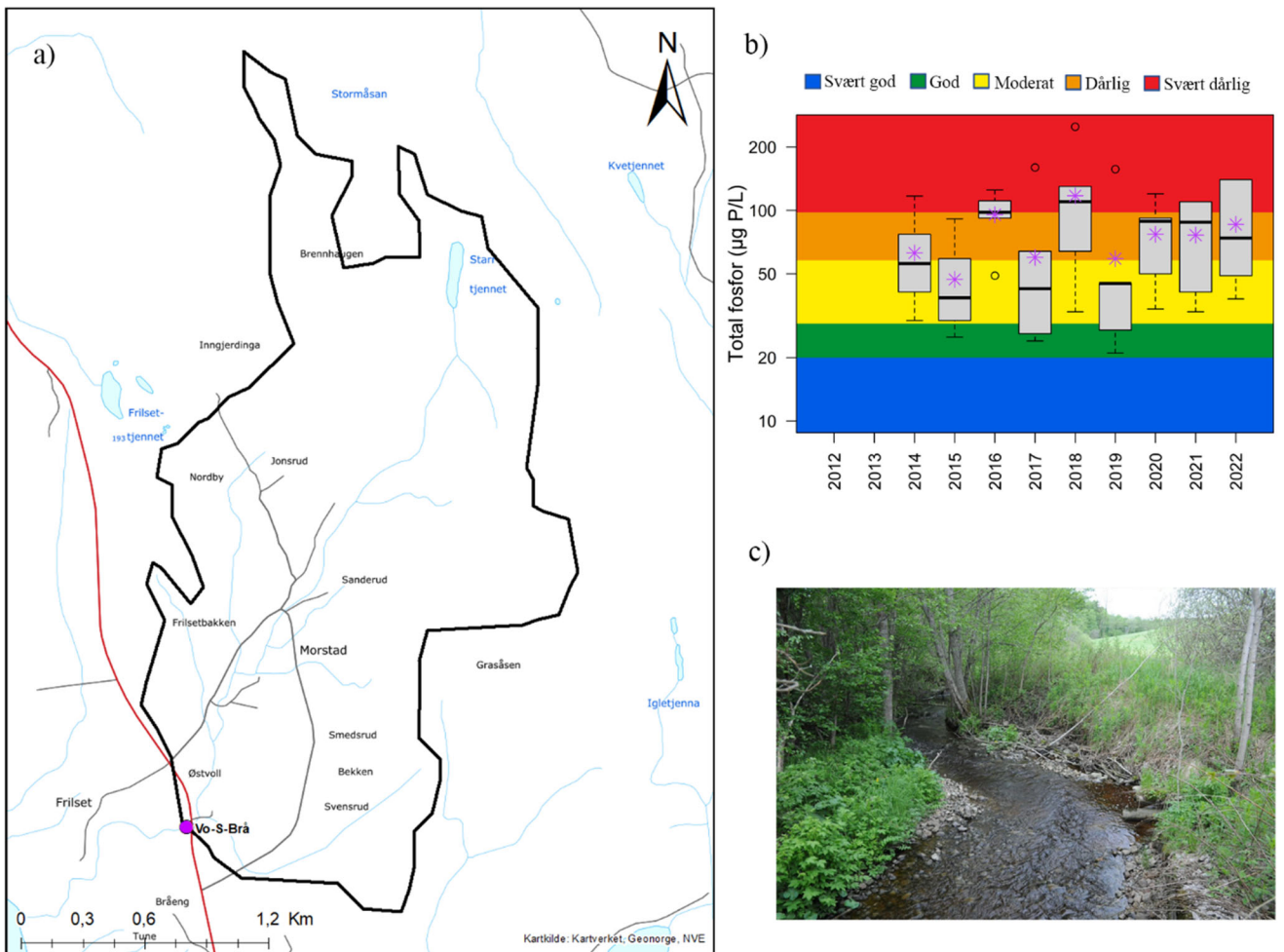
Tabell 51. Tilstandsklasser for total-fosfor, begroingsalger og bunndyr i perioden 2011-2022, samt samlet økologisk tilstand for 2011-2014, 2017 og 2021.

| Parameter | Total-fosfor | Begroingsalger | Bunndyr | Samlet tilstand |
|---------------------------|--------------|----------------|---------|-----------------|
| Tilstandsklasse 2011-2014 | <God/Moderat | - | - | - |
| Tilstandsklasse 2015-2016 | <God/Moderat | - | - | - |
| Tilstandsklasse 2017 | <God/Moderat | God | * | Moderat |
| Tilstandsklasse 2018 | <God/Moderat | - | - | - |
| Tilstandsklasse 2019 | <God/Moderat | - | - | - |
| Tilstandsklasse 2020 | <God/Moderat | - | - | - |
| Tilstandsklasse 2021 | Moderat | Moderat | * | Moderat |
| Tilstandsklasse 2022 | >God/Moderat | - | - | - |

* Bunndyr ble ikke prøvetatt på grunn av uegnet bunnsubstrat (bløtbunn).

3.13 Vannforekomst Tilløpsbekker Vorma sør for Sundet (002-1581-R)

3.13.1 Vann lokalitet – Brådalsbekken (Vo-S-Brå)



Figur 20. Resultater fra vannlokalitet Brådalsbekken (Vo-S-Brå). Figuren viser; a) kart med prøvetakingspunkt (lilla punkt) og tilhørende nedbørsfelt generert vha. nevina.no, b) bokspill med vanntypespesifikke tilstandsklasser for total-fosfor, der årlig median (sort horisontal linje), gjennomsnitt (lilla stjerne) og variasjonsbredde vises for perioden 2014-2022; og c) stasjonsbilde (Foto: Helge B. Pedersen).

Tabell 52. Fakta om vannlokalitet og vannforekomst.

| | |
|--|---|
| Vannlokalitetsnavn (stasjons-ID) og kode | Brådalsbekken (Vo-S-Brå) 002-79010 |
| Kommune | Eidsvoll/Nes |
| Vannforekomst-ID | 002-1581-R |
| Vannforekomst navn | Tilløpsbekker Vorma sør for Sundet |
| Vanntype | R108, moderat kalkrik, humøs i lavland. |

Fysisk-kjemiske støtteparametere

Resultatene fra et utvalg parametere analysert i 2022 er vist i **Tabell 53**. Vannlokalitet Brådalsbekken (Vo-S-Brå) ble klassifisert til *dårlig* tilstand basert på medianen av total-fosfor i 2022 (**Tabell 54**). Tilstanden for E. coli ble vurdert til *dårlig* basert på 90-persentilen (**Tabell 53**). Konsentrasjonene av bakterier indikerer at vannet på lokaliteten har mindre god egnethet (100–1000 E. coli / 100 ml) for jordvanning i henhold til grenseverdiene gitt av Vitenskapskomiteen for mattrygghet (2014). De høye konsentrasjonene av total-nitrogen (dårlig tilstand), kombinert med forhøyede konsentrasjoner av indikatorbakterier, tyder på betydelig påvirkning fra avløp, punktutslipp og/eller jordbruk.

Tabell 53. Analyseresultater for E. coli, total-fosfor (Tot-P), ufiltrert og filtrert ortofosfat (P-Orto), total-nitrogen (Tot-N), suspendert tørrstoff (STS) og suspendert gløderest (SGR) i 2022.

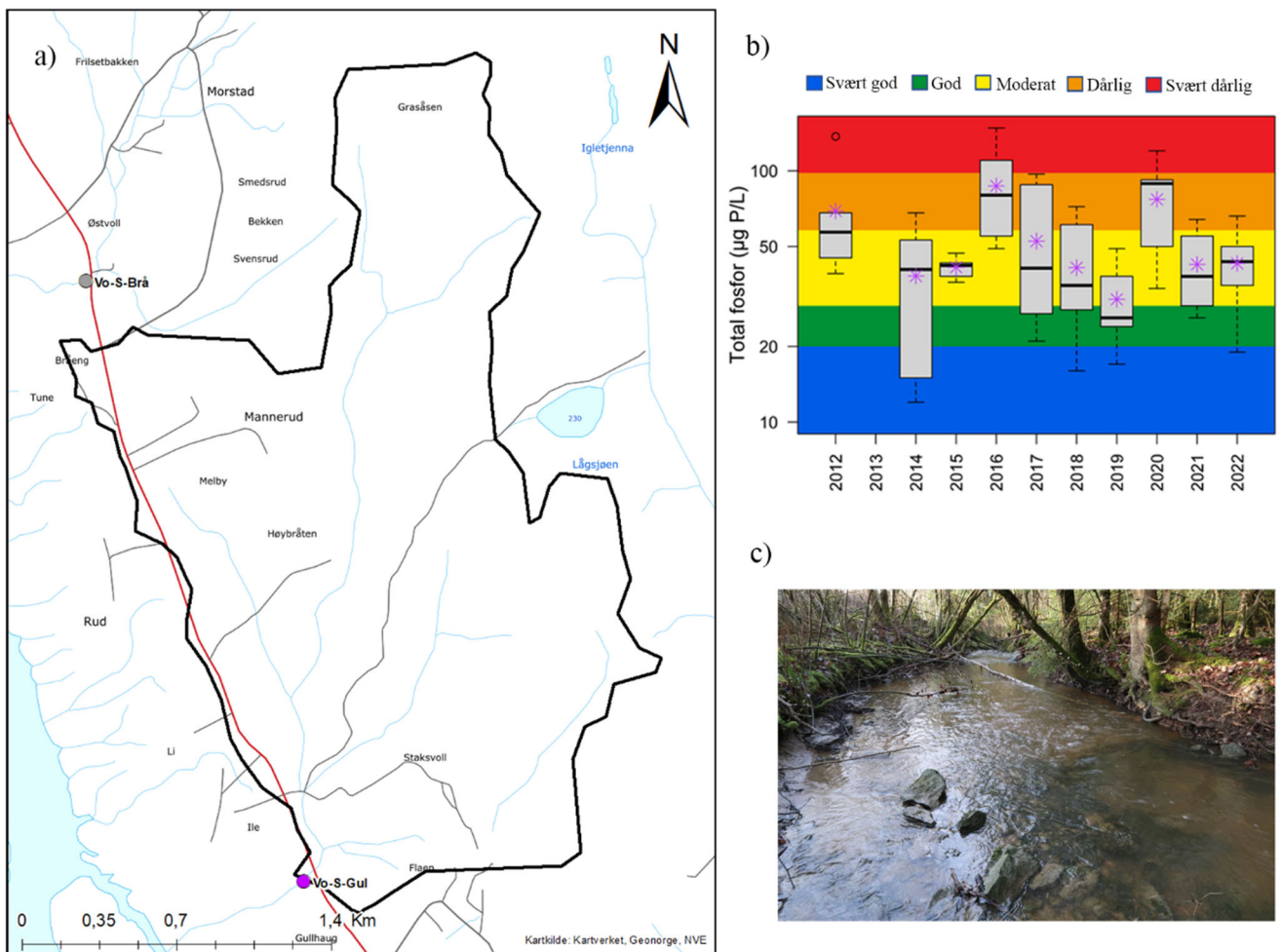
Tilstandsklassen for Tot-P og Tot-N er basert på medianen av konsentrasjonene i 2022. Tot-N benyttes ikke samlet tilstandsvurdering ettersom vannforekomsten antas å være fosforbegrenset.

| R108 | E-coli (ant./100 ml) | Tot-P (µg/L) | P-Orto (ufiltrert) (µg/L) | P-Orto (filtrert) (µg/L) | Tot-N (µg/l) | STS (mg/l) | SGR (mg/l) |
|--------------|-------------------------|-----------------|---------------------------------|--------------------------------|-----------------|---------------|---------------|
| n | 3 | 6 | 6 | 6 | 6 | 6 | 5 |
| Min | 99,0 | 38,0 | 16,0 | 11,0 | 890,0 | 3,60 | 2,40 |
| Maks | 870,0 | 140,0 | 108,0 | 80,0 | 2300,0 | 18,30 | 13,70 |
| Median | 180,0 | 74,0 | 56,5 | 32,5 | 1585,0 | 6,75 | 4,60 |
| Gjennomsnitt | 383,0 | 85,8 | 59,7 | 38,5 | 1581,7 | 8,40 | 6,58 |
| Std. Avvik | 423,7 | 46,2 | 40,4 | 29,1 | 715,2 | 5,30 | 4,51 |
| 90.persentil | 732,0 | - | - | - | - | - | - |
| EQR | - | 0,15 | - | - | 0,21 | - | - |
| nEQR | - | 0,25 | - | - | 0,3 | - | - |

Tabell 54. Tilstandsklasser for total-fosfor, begroingsalger og bunndyr i perioden 2011-2022, samt samlet økologisk tilstand for 2011-2014, 2017 og 2021.

| Parameter | Total-fosfor | Begroingsalger | Bunndyr | Samlet tilstand |
|---------------------------|--------------|----------------|---------|-----------------|
| Tilstandsklasse 2011-2014 | <God/Moderat | Moderat | God | Moderat |
| Tilstandsklasse 2015-2016 | <God/Moderat | - | - | - |
| Tilstandsklasse 2017 | <God/Moderat | Moderat | God | Moderat |
| Tilstandsklasse 2018 | <God/Moderat | - | - | - |
| Tilstandsklasse 2019 | <God/Moderat | - | - | - |
| Tilstandsklasse 2020 | <God/Moderat | - | - | - |
| Tilstandsklasse 2021 | Dårlig | Moderat | God | Moderat |
| Tilstandsklasse 2022 | Dårlig | - | - | - |

3.13.2 Vannlokalitet Ilebekken ved Gullhaug (Vo-S-Gul)



Figur 21. Resultater fra vannlokalitet Ilebekken ved Gullhaug (Vo-S-Gul). Figuren viser; a) kart med prøvetakingspunkt (lilla punkt) og tilhørende nedbørdfelt generert vha. nevina.no, b) boksplot med vanntypespesifikke tilstandsklasser for total-fosfor, der årlig median (sort horisontal linje), gjennomsnitt (lilla stjerne) og variasjonsbredde vises for perioden 2012-2022; og c) stasjonsbilde (Foto: Helge B. Pedersen).

Tabell 55. Fakta om vannlokalitet og vannforekomst.

| | |
|--|--|
| Vannlokalitetsnavn (stasjons-ID) og kode | Ilebekken ved Gullhaug (Vo-S-Gul) 002-58997 |
| Kommune | Nes |
| Vannforekomst-ID | 002-1581-R |
| Vannforekomst navn | Tilløpsbekker Vorma sør for Sundet |
| Vanntype | R108, moderat kalkrik, humøs i lavland (grenser mot R111, leirelv) |

Fysisk-kjemiske støtteparametere

Resultatene fra et utvalg parametere analysert i 2022 er vist i **Tabell 56**. Vannlokalitet Ilebekken ved Gullhaug (Vo-S-Gul) ble klassifisert til *moderat* tilstand basert på medianen av total-fosfor i 2022 (**Tabell 57**). Tilstanden for E. coli ble vurdert til *god* basert på 90-persentilen (**Tabell 56**).

Vannforekomsten er her typifisert med vanntype R108, moderat kalkrik, humøs elv i lavland, men den ligger tett opp mot vanntype R111, leirvassdrag (**Figur 3**). I tilfeller der vannforekomsten ligger på grensen mellom to vanntyper har vi valgt å typifisere vannforekomsten etter vanntypen med de strengeste klassegrensene. Selv om det er benyttet overvåkingsdata fra 2012-2022 ved typifiseringen, så vil vanntypen for vannforekomster som ligger helt på grensen kunne variere mellom år som følge av tilfeldig variasjon i parameterne som brukes ved typifiseringen av leirvassdrag (her suspendert tørrstoff (STS) og gløderest (SGR)). Det er derfor anbefalt å bruke lange tidsserier ved typifiseringen (her 10 år med måledata for STS og SGR), samt å ha en konservativ tilnærming når vanntypen skal vurderes. Dette i henhold til klassifiseringsveilederen (02:2018).

Tabell 56. Analyseresultater for E. coli, total-fosfor (Tot-P), ufiltrert og filtrert ortofosfat (P-Orto), total-nitrogen (Tot-N), suspendert tørrstoff (STS) og suspendert gløderest (SGR) i 2022.

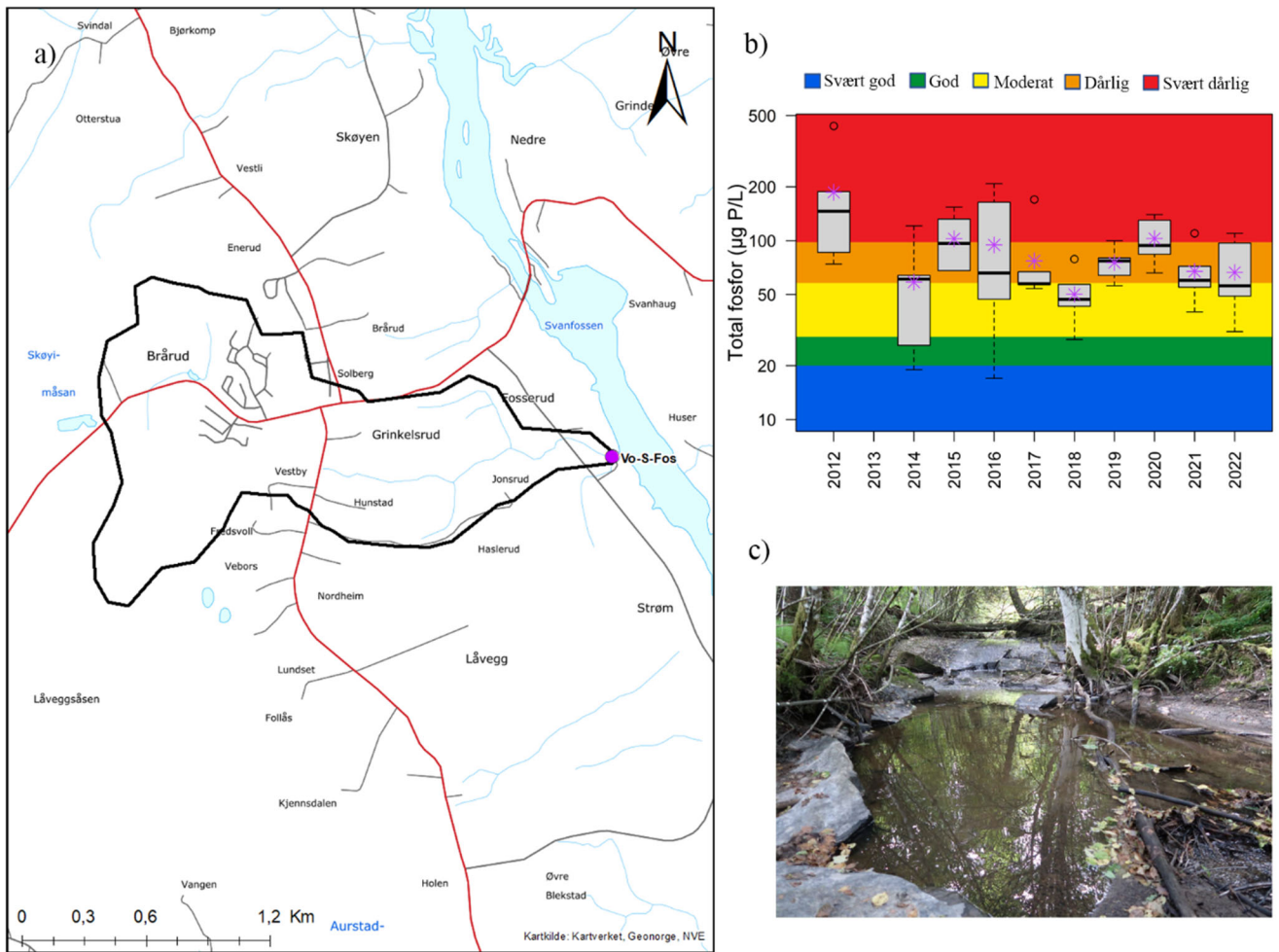
Tilstandsklassen for Tot-P og Tot-N er basert på medianen av konsentrasjonene i 2022. Tot-N benyttes ikke samlet tilstandsvurdering ettersom vannforekomsten antas å være fosforbegrenset.

| R108 | E-coli (ant./100 ml) | Tot-P (µg/L) | P-Orto (ufiltrert) (µg/L) | P-Orto (filtrert) (µg/L) | Tot-N (µg/l) | STS (mg/l) | SGR (mg/l) |
|--------------|-------------------------|-----------------|---------------------------------|--------------------------------|-----------------|---------------|---------------|
| n | 3 | 6 | 6 | 6 | 6 | 6 | 6 |
| Min | 44,0 | 19,0 | 8,0 | 5,0 | 920,0 | 2,30 | 0,90 |
| Maks | 50,0 | 66,0 | 29,0 | 17,0 | 7300,0 | 23,60 | 19,90 |
| Median | 48,0 | 43,5 | 22,0 | 9,0 | 1070,0 | 7,85 | 5,70 |
| Gjennomsnitt | 47,3 | 42,8 | 20,0 | 9,7 | 2116,7 | 11,03 | 8,83 |
| Std. Avvik | 3,1 | 15,6 | 8,1 | 4,5 | 2546,4 | 8,74 | 8,08 |
| 90.persentil | 49,6 | - | - | - | - | - | - |
| EQR | - | 0,25 | - | - | 0,3 | - | - |
| nEQR | - | 0,47 | - | - | 0,46 | - | - |

Tabell 57. Tilstandsklasser for total-fosfor, begroingsalger og bunndyr i perioden 2011-2022, samt samlet økologisk tilstand for 2011-2014, 2017 og 2021.

| Parameter | Total-fosfor | Begroingsalger | Bunndyr | Samlet tilstand |
|---------------------------|--------------|----------------|---------|-----------------|
| Tilstandsklasse 2011-2014 | <God/Moderat | Moderat | God | Moderat |
| Tilstandsklasse 2015-2016 | <God/Moderat | - | - | - |
| Tilstandsklasse 2017 | <God/Moderat | God | God | Moderat |
| Tilstandsklasse 2018 | <God/Moderat | - | - | - |
| Tilstandsklasse 2019 | <God/Moderat | - | - | - |
| Tilstandsklasse 2020 | <God/Moderat | - | - | - |
| Tilstandsklasse 2021 | Moderat | Moderat | Moderat | Moderat |
| Tilstandsklasse 2022 | Moderat | - | - | - |

3.13.3 Vannlokalitet Bekk ved Fosserud (Vo-S-Fos)



Figur 22. Resultater fra vannlokalitet Bekk ved Fosserud (Vo-S-Fos). Figuren viser; a) kart med prøvetakingspunkt (lilla punkt) og tilhørende nedbørdfelt generert vha. nevina.no, b) boksplot med vanntypespesifikke tilstandsklasser for total-fosfor, der årlig median (sort horisontal linje), gjennomsnitt (lilla stjerne) og variasjonsbredde vises for perioden 2012–2022; og c) stasjonsbilde (Foto: Helge B. Pedersen).

Tabell 58. Fakta om vannlokalitet og vannforekomst.

| | |
|--|---|
| Vannlokalitetsnavn (stasjons-ID) og kode | Bekk ved Fosserud (Vo-S-Fos) 002-58996 |
| Kommune | Nes |
| Vannforekomst-ID | 002-1581-R |
| Vannforekomst navn | Tilløpsbekker Vorma sør for Sundet |
| Vanntype | R108, moderat kalkrik, humøs i lavland (grenser mot R111, leirelv). |

Fysisk-kjemiske støtteparametere

Resultatene fra et utvalg parametere analysert i 2022 er vist i **Tabell 59**. Vannlokalitet Bekk ved Fosserud (Vo-S-Fos) ble klassifisert til *dårlig* tilstand basert på medianen av total-fosfor i 2022 (**Tabell 60**). Tilstanden for *E. coli* ble vurdert til *svært dårlig* basert på 90-persentilen (**Tabell 59**).

Konsentrasjonene av bakterier indikerer at vannet på lokaliteten vannet ikke er egnet i det hele tatt (> 1000 *E. coli* / 100 ml) for jordvanning i henhold til grenseverdiene gitt av Vitenskapskomiteen for mattrygghet (2014). De høye konsentrasjonene av total-nitrogen (svært dårlig tilstand), kombinert med svært høye konsentrasjoner av indikatorbakterier, tyder på betydelig påvirkning fra avløp, punktutslipp og/eller jordbruk.

Vannforekomsten er her typifisert med vanntype R109, kalkrik, klar elv i lavland, men den ligger tett opp mot vanntype R111, leirvassdrag (**Figur 3**). I tilfeller der vannforekomsten ligger på grensen mellom to vanntyper har vi valgt å typifisere vannforekomsten etter vanntypen med de strengeste klassegrensene. Selv om det er benyttet overvåkingsdata fra 2012-2022 ved typifiseringen, så vil vanntypen for vannforekomster som ligger helt på grensen kunne variere mellom år som følge av tilfeldig variasjon i parameterne som brukes ved typifiseringen av leirvassdrag (her suspendert tørrstoff (STS) og gløderest (SGR)). Det er derfor anbefalt å bruke lange tidsserier ved typifiseringen (her 10 år med måledata for STS og SGR), samt å ha en konservativ tilnærming når vanntypen skal vurderes. Dette i henhold til klassifiseringsveilederen (02:2018).

Tabell 59. Analyseresultater for *E. coli*, total-fosfor (Tot-P), ufiltrert og filtrert ortofosfat (P-Orto), total-nitrogen (Tot-N), suspendert tørrstoff (STS) og suspendert gløderest (SGR) i 2022.

Tilstandsklassen for Tot-P og Tot-N er basert på medianen av konsentrasjonene i 2022. Tot-N benyttes ikke samlet tilstandsvurdering ettersom vannforekomsten antas å være fosforbegrenset.

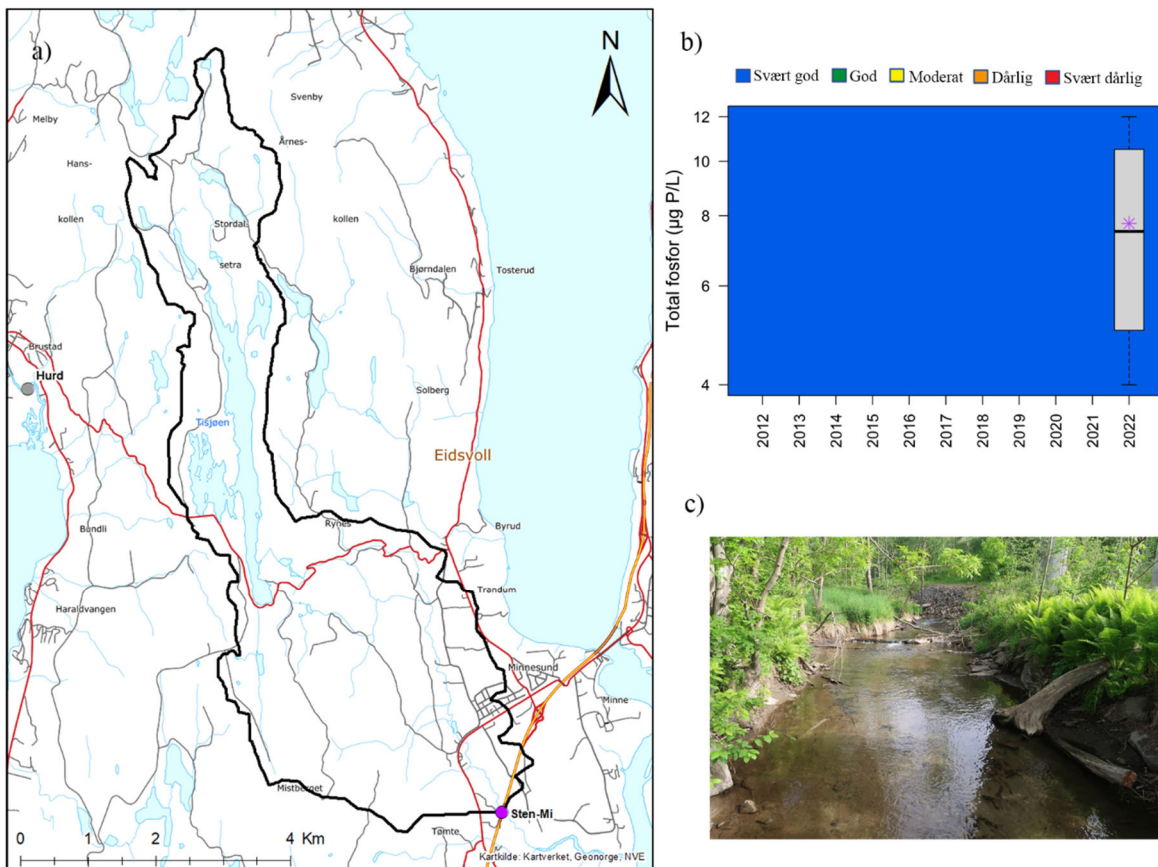
| R108 | E-coli (ant./100 ml) | Tot-P (µg/L) | P-Orto (ufiltrert) (µg/L) | P-Orto (filtrert) (µg/L) | Tot-N (µg/l) | STS (mg/l) | SGR (mg/l) |
|--------------|-------------------------|-----------------|---------------------------------|--------------------------------|-----------------|---------------|---------------|
| n | 2 | 6 | 6 | 6 | 6 | 6 | 6 |
| Min | 140,0 | 31,0 | 25,0 | 19,0 | 1500,0 | 1,90 | 0,90 |
| Maks | >2400 | 110,0 | 68,0 | 44,0 | 9400,0 | 19,50 | 17,10 |
| Median | - | 56,0 | 44,5 | 34,5 | 1900,0 | 4,40 | 2,90 |
| Gjennomsnitt | - | 66,5 | 47,2 | 31,7 | 3233,3 | 7,67 | 6,03 |
| Std. Avvik | - | 30,6 | 17,7 | 10,5 | 3074,8 | 7,21 | 6,70 |
| 90.persentil | >2400 | - | - | - | - | - | - |
| EQR | - | 0,20 | - | - | 0,17 | - | - |
| nEQR | - | 0,41 | - | - | 0,22 | - | - |

Tabell 60. Tilstandsklasser for total-fosfor, begroingsalger og bunndyr i perioden 2011-2022, samt samlet økologisk tilstand for 2011-2014, 2017 og 2021.

| Parameter | Total-fosfor | Begroingsalger | Bunndyr | Samlet tilstand |
|---------------------------|--------------|----------------|---------|-----------------|
| Tilstandsklasse 2011-2014 | <God/Moderat | Dårlig | - | Dårlig |
| Tilstandsklasse 2015-2016 | <God/Moderat | - | - | - |
| Tilstandsklasse 2017 | <God/Moderat | Moderat | Moderat | Moderat |
| Tilstandsklasse 2018 | <God/Moderat | - | - | - |
| Tilstandsklasse 2019 | <God/Moderat | - | - | - |
| Tilstandsklasse 2020 | <God/Moderat | - | - | - |
| Tilstandsklasse 2021 | Dårlig | Moderat | Moderat | Moderat |
| Tilstandsklasse 2022 | Dårlig | - | - | - |

3.14 Vannforekomst Stensbyelva (002-1540-R)

3.14.1 Vannlokalitet Stensbyelva Midtre (Sten-Mi)



Figur 23. Resultater fra vannlokalitet Stensbyelva midtre (Sten-Mi). Figuren viser; a) kart med prøvetakingspunkt (lilla punkt) og tilhørende nedbørsfelt generert vha. nevina.no, b) boksplot med vanntypespesifikke tilstandsklasser for total-fosfor, der årlig median (sort horisontal linje), gjennomsnitt (lilla stjerne) og variasjonsbredde vises for perioden 2014-2022; og c) stasjonsbilde (Foto: Helge B. Pedersen).

Tabell 61. Fakta om vannlokalitet og vannforekomst.

| | |
|--|---|
| Vannlokalitetsnavn (stasjons-ID) og kode | Stensbyelva Midtre (Sten-Mi) 002-111227 |
| Kommune | Eidsvoll |
| Vannforekomst-ID | 002-1540-R |
| Vannforekomst navn | Stensbyelva |
| Vanntype | R107, Moderat kalkrik, klar i lavland |

Fysisk-kjemiske støtteparametere

Resultatene fra et utvalg parametere analysert i 2022 er vist i **Tabell 62**. Vannlokalitet Stensbyelva Midtre (Sten-Mi) ble klassifisert til *svært god* tilstand basert på medianen av total-fosfor i 2022 (**Tabell 63**). Tilstanden for total-nitrogen vurderes til moderat, men siden N/P er større en 20 anses ikke stasjonen for å være nitrogenbegrenset. Total-nitrogen vil derfor ikke inkluderes i vurderingen av fysisk-kjemisk tilstand for lokaliten. Dette i henhold til klassifiseringsveilederen

(Direktoratgruppa 2018). Tilstanden for E. coli ble vurdert til *dårlig* basert på 90-persentilen (**Tabell 62**). Konsentrasjonene av bakterier indikerer at vannet på lokaliteten har mindre god egnethet (100–1000 E. coli / 100 ml) for jordvanning i henhold til grenseverdiene gitt av Vitenskapskomiteen for mattrygghet (2014). De moderat høye konsentrasjonene av total-nitrogen (moderat tilstand), kombinert med forhøyede konsentrasjoner av indikatorbakterier og lave konsentrasjoner av total-fosfor tyder på trolig påvirkning fra jordbruk (avrenning fra jorder).

Tabell 62. Analyseresultater for E. coli, total-fosfor (Tot-P), ufiltrert og filtrert ortofosfat (P-Orto) og total-nitrogen (Tot-N) i 2022. Tilstandsklassen for Tot-P og Tot-N er basert på medianen av konsentrasjonene i 2022. Tot-N benyttes ikke samlet tilstandsvurdering ettersom vannforekomsten antas å være fosforbegrenset.

| R107 | E-coli (ant./100 ml) | Tot-P (µg/L) | P-Orto (ufiltrert) (µg/L) | P-Orto (filtrert) (µg/L) | Tot-N (µg/l) |
|--------------|-------------------------|-----------------|---------------------------------|--------------------------------|-----------------|
| n | 3 | 4 | 4 | - | 4 |
| Min | 54,0 | 4,0 | 2,0 | - | 590,0 |
| Maks | 610,0 | 12,0 | 5,0 | - | 1200,0 |
| Median | 96,0 | 7,5 | 3,5 | - | 730,0 |
| Gjennomsnitt | 253,3 | 7,8 | 3,5 | - | 812,5 |
| Std. Avvik | 309,6 | 3,5 | 1,7 | - | 266,8 |
| 90.persentil | 507,2 | - | - | - | - |
| EQR | - | 1 | - | - | 0,38 |
| nEQR | - | 1 | - | - | 0,54 |

Tabell 63. Tilstandsklasse for total-fosfor i 2022.

| Parameter | Fysisk-kjemisk | Begroingsalger | Bunndyr | Samlet tilstand |
|-------------------------|----------------|----------------|---------|-----------------|
| Tilstandsklasse 2022 | Svært god | - | - | - |

Vannlokaliteten Stensbyelva Midtre (Sten-Mi) ble etablert i 2022, pga. fysiske endringer på den tidligere stasjonen (Stensbyelva Nedre (Sten-Ne), vannlokalitet 002-59001) som gjorde den uegnet for videre prøvetaking. Sten-Mi ligger 1,4 km oppstrøms Sten-Ne. De kjemiske målingene i 2022 samsvarer bra med de tidligere målte resultatene, og det er grunn til å anta at flyttingen av målestasjon fortsatt gir et riktig bilde av elvas miljøtilstand. Målingene i mai og juni ble målt på Sten-Ne, mens de øvrige fire ble målt på Sten-Mi. Alle data ble lagt i vannmiljø, men det var kun målingene utført på Sten-Mi som ble bruk i klassifiseringen av vannlokaliteten.

4 Referanser

Andersen, J.R., Bratli, J.L., Fjeld, E., Faafeng, B., Grande, M., Hem, L., Holtan, H., Krogh, T., Lund, V., Rosland, D., Rosseland, B.O. og Aanes, K.J. 1997. Klassifisering av miljøkvalitet i ferskvann. Statens forurensningstilsyn, SFT. Veileddning 97:04. TA 1468/1997. 31 s.

Barland, T. K. & Karlsen, L. I. 2021. Tiltaksrettet overvåking og klassifisering i vannområdet Hurdalsvassdraget/Vorma 2020. Rambøll rapport. 81 s.

Burgess, S., Karlsen, L. I., Haukø, M. L & Ruiter, H. de. 2022. Tiltaksrettet overvåking og klassifisering i vannområdet Hurdalsvassdraget/Vorma 2021. Rambøll rapport. 105 s.

Eckner, K., Lunestad, B. T., Robertson, L. & Danica, G. O. Vitenskapskomiteen for mattrygghet, 2014. Kvalitetskrav for vann til jordvanning. VKM Report 2014: 23: 30s. ISBN: 978-82-8259-133-1.

Eriksen, T. E., Lindholm, M., Røst, M. K., Lyche Solheim, A. & Friberg N. 2015. Vurdering av kunnskapsgrunnlag for leirpåvirkede elver. NIVA-rapport 6792-2015. 68 s.

Lindholm, M. 2013. Tilstandsklassifisering av vannforekomster i Vannområde Hurdalsvassdraget/Vorma. NIVA-rapport 6463-2013. 42 s.

Lindholm, M. 2015. Tilstandsklassifisering av vannforekomster i Vannområde Hurdalsvassdraget/Vorma 2011, 2012 og 2014. NIVA-rapport 6814-2015. 53 s.

Lyche Solheim, A., Berge, D., Tjomsland, T., Kroglund, F., Tryland, I., Schartau, A.K., Hesthagen, T., Borch, H., Skarbøvik, E., Eggestad, H.O. & Engebretsen, A. (2008) Forslag til miljømål og klassegrenser for fysisk-kjemiske parametre i innsjøer og elver, inkludert leirvassdrag og egnethet for brukerinteresser. Supplement til Veileder for økologisk klassifisering. NIVA rapport, L.NR. 5708, 79.

Lyche Solheim, A., Phillips, G., Drakare, S., Free, G., Järvinen, M., Skjelbred, B., Tierney, D., Trodd, W. 2014. Water Framework Directive Intercalibration Technical Report. Northern Lake Phytoplankton ecological assessment methods. 01/2014; Report EUR 26503 EN, doi:10.2788/70684. Publisher: Luxembourg: Publications Office of the European Union, Editor: Sandra Poikane, ISBN 978-92-79-35455-7.

Simonsen, L., Pengerud, A., Schmidt, I. & Fyhn, A. 2020. Vannområde Hurdalsvassdraget/Vorma. Tiltaksrettet overvåking og klassifisering 2019. Norconsult rapport. 67 s.

Simonsen, L., Pengerud, A., Meland, A., Schmidt, I., Kornstad, T., & Fyhn, A. 2019. Vannområde Hurdalsvassdraget/Vorma. Tiltaksrettet overvåking og klassifisering 2018. Norconsult rapport. 83 s.

Simonsen, L., Pengerud, A., Meland, A., Kornstad, T., & Rostad, L. J. 2018. Vannområde Hurdalsvassdraget/Vorma. Tiltaksrettet overvåking og økologisk klassifisering 2017. Norconsult rapport.

Simonsen, L., Pengerud, A., Fremming, E., Burgess, S., Kornstad, T., Rostad, L. J., Ulla, S. N. & Bomo, A. M. 2017. Vannområde Hurdalsvassdraget/Vorma. Overvåking og klassifisering 2015-2016. Norconsult rapport. 72 s.

Vedlegg A.

Tabell 64. Kvantitative planteplanktonanalyser av prøver fra Hersjøen.

| | Verdier gitt i mm ³ /m ³ (=mg/m ³ våtvekt) | | | | | | |
|--|---|------------|------------|------------|------------|------------|------------|
| | Dato | 24.05.2022 | 28.06.2022 | 19.07.2022 | 18.08.2022 | 22.09.2022 | 18.10.2022 |
| | Dyp | 0-6 m | 0-8 m | 0-6 m | 0-4 m | 0-6 m | 0-4 m |
| Cyanobacteria (Cyanobakterier) | | | | | | | |
| <i>Anathece bachmannii</i> | 8.17 | 11.44 | 4.08 | . | . | . | . |
| <i>Aphanocapsa</i> | 0.82 | . | . | . | . | . | . |
| <i>Aphanocapsa conferta</i> | 3.27 | . | . | . | . | . | . |
| <i>Aphanocapsa holsatica</i> | . | 15.52 | 8.98 | . | . | 0.82 | . |
| <i>Aphanocapsa parasitica</i> | . | . | . | . | 0.82 | . | . |
| <i>Cyanodictyon iac</i> | 3.92 | . | . | . | . | . | . |
| <i>Cyanodictyon planctonicum</i> | . | 5.23 | 5.23 | 2.61 | . | . | . |
| <i>Dolichospermum flos-aquae</i> | 4.40 | 40.95 | 1942.88 | 2688.19 | 9.23 | . | . |
| <i>Dolichospermum macrosporum</i> | . | 1.54 | 8.98 | 49.31 | 2.95 | . | . |
| <i>Dolichospermum planctonicum</i> | . | . | 11.96 | . | . | . | . |
| <i>Geitlerinema splendidum</i> | . | . | . | . | 2.88 | . | . |
| <i>Snowella lacustris</i> | . | 0.09 | 0.18 | 5.51 | 0.09 | . | . |
| Sum - Cyanobakterier | 20.57 | 74.77 | 1982.30 | 2745.63 | 15.96 | 0.82 | . |
| Charophyta/Chlorophyta (Grønnalger) | | | | | | | |
| <i>Botryococcus braunii</i> | . | . | . | . | 0.52 | . | . |
| <i>Carteria</i> (l=20-25) | . | . | . | . | 5.72 | . | . |
| <i>Chlamydomonas</i> (l=10) | . | . | 5.55 | 8.33 | . | . | . |
| <i>Chlamydomonas</i> (l=5-6) | 0.57 | . | 0.57 | 1.14 | 0.57 | . | . |
| <i>Chlamydomonas</i> (l=8) | 6.53 | 6.53 | 7.35 | 28.59 | 2.45 | 2.45 | . |
| Chlorophyta, spherical cells (d=10) | . | . | . | . | 4.25 | 1.06 | . |
| Chlorophyta, spherical cells (d=12) | . | 11.10 | . | . | . | . | . |
| Chlorophyta, spherical cells (d=5) | 2.12 | 15.40 | 4.78 | 4.25 | 1.59 | . | . |

| | | | | | | |
|--|--------|-------|-------|-------|-------|------|
| <i>Elakatothrix gelatinosa</i> | . | 0.05 | . | 1.07 | . | . |
| <i>Elakatothrix genevensis</i> | . | 8.58 | 1.14 | . | 2.86 | 2.86 |
| <i>Eudorina elegans</i> | 1.20 | . | 1.60 | . | . | . |
| <i>Franceia ovalis</i> | . | . | . | 1.23 | . | . |
| <i>Geminella ordinata</i> | . | . | . | . | 0.18 | . |
| <i>Golenkinia radiata</i> | . | . | . | 0.61 | 0.61 | . |
| <i>Koliella longiseta</i> | 0.37 | . | . | . | . | . |
| <i>Lanceola spatulifera</i> | . | . | 0.33 | 0.33 | 7.84 | 1.96 |
| <i>Monoraphidium dybowskii</i> | . | 0.69 | 6.94 | 7.64 | 2.08 | 0.69 |
| <i>Oocystis parva</i> | . | . | 1.63 | 6.13 | . | 0.49 |
| <i>Pandorina morum</i> | . | . | 0.90 | . | . | . |
| <i>Paulschulzia pseudovolvox</i> | 17.51 | . | 1.50 | 4.38 | . | . |
| <i>Paulschulzia tenera</i> | . | . | 1.29 | 2.19 | 0.21 | . |
| <i>Pseudosphaerocystis lacustris</i> | . | . | . | . | 49.01 | . |
| <i>Spirogyra</i> | . | . | . | 0.80 | . | . |
| <i>Staurastrum chaetoceras</i> | . | . | 0.20 | . | . | . |
| <i>Treubaria planctonica</i> | . | . | . | 1.23 | . | . |
| <i>Treubaria schmidlei</i> | . | . | 0.92 | . | . | . |
| Sum - Grønnalger | 28.31 | 42.35 | 34.71 | 67.90 | 77.90 | 9.52 |
| Chrysophyceae/Synurophyceae (Gullalger) | | | | | | |
| <i>Bitrichia chodatii</i> | . | 1.63 | 0.61 | 0.20 | 0.41 | . |
| <i>Chrysamoeba</i> | . | . | . | 8.49 | . | . |
| <i>Chrysidiastrum catenatum</i> | 4.25 | . | . | . | . | . |
| <i>Chrysococcus</i> | . | . | . | . | 7.51 | . |
| Chrysophyceae (<7) | 47.78 | 15.93 | 23.36 | 7.43 | 3.72 | 4.25 |
| Chrysophyceae (>7) | 13.27 | 7.96 | 2.65 | . | 2.65 | 5.31 |
| <i>Dinobryon crenulatum</i> | . | 0.61 | . | . | . | . |
| <i>Dinobryon divergens</i> | 0.61 | 3.68 | 0.41 | 0.57 | 37.98 | . |
| <i>Dinobryon sociale</i> | 147.02 | 0.06 | 0.06 | 0.15 | 60.65 | 0.92 |
| <i>Dinobryon</i> , cellar uten lorica | 13.48 | . | . | . | 8.17 | . |
| <i>Epipyxis aurea</i> | . | 1.23 | . | . | . | . |
| <i>Epipyxis polymorpha</i> | . | . | . | 0.31 | . | . |
| <i>Mallomonas</i> | . | 9.19 | . | . | . | 1.53 |
| <i>Mallomonas caudata</i> | 0.65 | . | . | . | . | 1.63 |
| <i>Mallomonas punctifera</i> | . | 27.16 | . | . | . | . |

| | | | | | | |
|---|---------|---------|--------|--------|---------|---------|
| <i>Mallomonas tonsurata</i> | . | 1.84 | 1.84 | 10.11 | . | . |
| <i>Ochromonas</i> | . | 1.80 | . | . | 0.90 | 1.80 |
| <i>Paraphysomonas</i> | 1.96 | 1.31 | 0.65 | 4.57 | 4.57 | 1.31 |
| <i>Spiniferomonas</i> | . | 2.82 | . | . | . | . |
| <i>Uroglonopsis americana</i> | 92.99 | . | 32.88 | 2.82 | 8.45 | . |
| Sum - Gullalger | 322.02 | 75.21 | 62.46 | 34.66 | 135.02 | 16.74 |
| | | | | | | |
| Bacillariophyta (Kiselalger) | | | | | | |
| <i>Amphora ovalis</i> | 0.80 | . | . | . | . | . |
| <i>Asterionella formosa</i> | 2127.15 | 1367.94 | 295.38 | 11.23 | 1332.00 | 1019.77 |
| <i>Cocconeis placentula</i> | . | . | . | . | 0.48 | . |
| <i>Cyclotella (d=10-12)</i> | 6.13 | . | . | . | . | . |
| <i>Cyclotella radiosa</i> | 80.86 | 150.70 | . | . | . | . |
| <i>Cymbella tumida</i> | . | 0.70 | . | . | 0.70 | . |
| <i>Encyonema silesiacum</i> | 0.20 | . | . | . | . | . |
| <i>Fragilaria</i> | 19.60 | 0.72 | . | . | . | . |
| <i>Fragilaria crotonensis</i> | 92.07 | 10.89 | 37.73 | 2.09 | 2.37 | 0.99 |
| <i>Gyrosigma acuminatum</i> | . | . | . | . | 0.35 | . |
| <i>Melosira varians</i> | . | 0.50 | . | . | . | . |
| <i>Navicula (l=15-20)</i> | . | 2.04 | . | . | . | . |
| <i>Nitzschia (l=40-50)</i> | . | 1.43 | . | 0.71 | . | . |
| <i>Nitzschia acicularis</i> | . | . | 2.14 | 0.71 | 5.72 | . |
| <i>Rhopalodia gibba</i> | . | . | 2.80 | . | . | . |
| <i>Stephanodiscus hantzschii</i> | . | 173.57 | 13.48 | 15.32 | 12.25 | . |
| <i>Stephanodiscus hantzschii</i> var. <i>pusillus</i> | 88.21 | 19.73 | 34.51 | 878.67 | 2625.61 | 2259.06 |
| <i>Surirella linearis</i> | . | . | . | 0.80 | . | . |
| <i>Surirella robusta</i> | 10.00 | . | . | . | . | . |
| <i>Tabellaria flocculosa</i> | . | . | . | 0.08 | . | . |
| <i>Ulnaria (l=110-120)</i> | . | . | . | . | 0.32 | . |
| <i>Ulnaria (l=40-70)</i> | 78.41 | 13.07 | 8.98 | 23.69 | . | . |
| <i>Ulnaria (l=80-100)</i> | . | . | . | . | 7.35 | . |
| <i>Ulnaria acus</i> | 24.36 | . | . | . | . | . |
| <i>Ulnaria delicatissima</i> var. <i>angustissima</i> | 3.60 | 73.51 | 130.69 | 61.26 | 3.80 | 8.40 |
| <i>Ulnaria ulna</i> | 33.60 | . | . | . | . | 0.60 |
| Sum - Kiselalger | 2565.00 | 1814.79 | 525.71 | 994.57 | 3990.94 | 3288.83 |
| | | | | | | |

| | | | | | | |
|---|--------|--------|--------|--------|--------|--------|
| Dictyochophyceae (Pedinnelider) | | | | | | |
| <i>Pseudopedinella</i> | 8.76 | . | 17.51 | 6.57 | 8.76 | 4.38 |
| <i>Pseudopedinella</i> (3 kloroplaster) | . | 2.45 | 2.45 | 3.68 | 4.90 | . |
| Sum - Pedinnelider | 8.76 | 2.45 | 19.96 | 10.24 | 13.66 | 4.38 |
| | | | | | | |
| Cryptophyta (Svelgflagellater) | | | | | | |
| <i>Cryptomonas</i> (l=12-15) | . | . | . | . | . | 1.63 |
| <i>Cryptomonas</i> (l=15-18) | . | . | 2.04 | 25.53 | 4.08 | 6.13 |
| <i>Cryptomonas</i> (l=20-22) | 19.60 | 44.11 | 12.25 | 49.01 | 98.02 | 34.31 |
| <i>Cryptomonas</i> (l=24-30) | 24.50 | 98.02 | 12.25 | 40.84 | 179.70 | 44.92 |
| <i>Cryptomonas</i> (l=30-35) | 22.05 | 33.08 | 16.54 | 16.54 | 88.21 | 16.54 |
| <i>Cryptomonas</i> (l=40) | . | . | 0.41 | . | . | . |
| <i>Cryptomonas curvata</i> | 24.50 | . | . | . | 14.40 | 1.20 |
| <i>Goniomonas truncata</i> | . | . | . | 1.96 | . | . |
| <i>Katablepharis ovalis</i> | 11.76 | 0.74 | 9.56 | 19.11 | 4.41 | 5.88 |
| <i>Plagioselmis lacustris</i> | 32.67 | . | . | 3.27 | . | . |
| <i>Plagioselmis nannoplanctica</i> | 78.41 | 17.15 | 63.71 | 68.61 | 44.11 | 15.93 |
| <i>Telonema</i> | . | . | . | . | . | 2.21 |
| Sum - Svelgflagellater | 213.51 | 193.09 | 116.76 | 224.87 | 432.93 | 128.74 |
| | | | | | | |
| Haptophyta (Svepeflagellater) | | | | | | |
| <i>Chrysochromulina parva</i> | 67.30 | 20.91 | 177.08 | 39.53 | 5.55 | 0.98 |
| Sum - Svepeflagellater | 67.30 | 20.91 | 177.08 | 39.53 | 5.55 | 0.98 |
| | | | | | | |
| Dinophyceae (Fureflagellater) | | | | | | |
| <i>Ceratium hirundinella</i> | . | 3.25 | . | . | 3.25 | . |
| Dinophyceae | . | . | . | . | 0.32 | . |
| <i>Gymnodinium</i> (l=12) | . | . | . | 8.17 | . | . |
| <i>Gymnodinium</i> (l=20-22) | . | . | . | . | . | 0.35 |
| <i>Gymnodinium</i> (l=30) | 0.63 | 1.26 | 13.86 | 5.04 | 8.19 | 1.89 |
| <i>Gymnodinium</i> (l=40) | . | . | . | 3.60 | 18.00 | . |
| <i>Gymnodinium</i> (l=50) | . | . | 4.50 | 9.00 | . | . |
| <i>Gyrodinium helveticum</i> | 3.00 | 0.30 | 1.20 | 0.30 | 9.30 | 11.70 |
| <i>Parvodinium inconspicuum</i> | . | . | . | 3.27 | . | . |
| <i>Peridinium</i> (l=15-17) | 6.74 | . | . | . | . | . |
| <i>Peridinium cinctum</i> | . | 14.00 | 14.00 | 10.50 | 52.50 | 3.50 |

| | | | | | | |
|--------------------------------------|---------|---------|---------|---------|---------|---------|
| <i>Peridinium willei</i> | . | . | 4.50 | 36.00 | . | . |
| <i>Tyrannodinium edax</i> | . | . | 18.38 | 12.25 | . | 3.06 |
| Sum - Fureflagellater | 10.37 | 18.81 | 56.44 | 88.13 | 91.56 | 20.50 |
| | | | | | | |
| Euglenophyta (Øyealger) | | | | | | |
| <i>Bodo</i> | . | 0.33 | . | . | . | . |
| <i>Trachelomonas volvocinopsis</i> | . | . | 10.11 | . | 13.48 | 3.37 |
| Sum - Øyealger | 0.00 | 0.33 | 10.11 | 0.00 | 13.48 | 3.37 |
| | | | | | | |
| Choanozoa (Krageflagellater) | | | | | | |
| Krageflagellater | . | 0.33 | . | 3.92 | . | 0.65 |
| <i>Salpingoeca</i> | . | . | . | . | . | 0.98 |
| Sum - Krageflagellater | 0.00 | 0.33 | 0.00 | 3.92 | 0.00 | 1.63 |
| | | | | | | |
| Ubestemte taksa | | | | | | |
| μ -alger, Picoplankton | 4.45 | 4.45 | 3.43 | 5.84 | 2.16 | 0.74 |
| Heterotrof flagellat ($l < 15$) | 2.45 | 9.80 | 2.45 | 4.49 | 2.86 | 2.86 |
| Heterotrof flagellat ($l = 15-20$) | . | . | 0.31 | . | 0.61 | . |
| Sum - Ubestemte taksa | 6.90 | 14.25 | 6.19 | 10.33 | 5.64 | 3.59 |
| | | | | | | |
| | | | | | | |
| Sum total: | 3242.75 | 2257.28 | 2991.72 | 4219.77 | 4782.63 | 3479.10 |
| | | | | | | |

| Stasjons ID | Stasjon navn | Dato | E-coli | Tot-P | P-PO4 | P-PO4-F | Tot-N | Farge | Ammonium | Kalsium | Klf-a |
|-------------|--------------|------------|-------------|--------|--------|---------|--------|--------|----------|---------|--------|
| Hersj | Hersjøen | | (MPN/100mL) | (µg/L) | (µg/L) | (µg/L) | (µg/L) | (mg/L) | (µg/L) | (µg/L) | (µg/L) |
| | | 24.05.2022 | | 23 | 6 | | 130 | | 62 | | 11 |
| | | 28.06.2022 | 2 | 15 | 2 | | 140 | 5 | 5 | 46,3 | 6,1 |
| | | 19.07.2022 | 5 | 17 | 4 | | 170 | | 72 | | 7 |
| | | 18.08.2022 | 15 | 19 | 3 | | 290 | 6 | 110 | 41,6 | 13 |
| | | 22.09.2022 | 1 | 18 | 6 | | 140 | | 46 | | 10 |
| | | 18.10.2022 | | 46 | 24 | | 550 | | 130 | | 5,4 |
| | n | | 4 | 6 | 6 | | 6 | 2 | 6 | 2 | 6 |
| | Min | | 1 | 15 | 2 | | 130 | 5 | 5 | 41,6 | 5,4 |
| | Max | | 15 | 46 | 24 | | 550 | 6 | 130 | 46,3 | 13 |
| | Median | | 3,5 | 18,5 | 5 | | 155 | 5,5 | 67 | 43,95 | 8,5 |
| | Gjennomsnitt | | 5,8 | 23,0 | 7,5 | | 236,7 | 5,5 | 70,8 | 44,0 | 8,8 |
| | StdDev | | 6,4 | 11,6 | 8,2 | | 164,6 | 0,7 | 44,9 | 3,3 | 3,0 |
| | 90.persentil | | 12,0 | 34,5 | 15,0 | | 420,0 | 5,9 | 120,0 | 45,8 | 12,0 |

| Stasjons ID | Stasjon navn | Dato | E-coli | Tot-P | P-PO4 | P-PO4-F | Tot-N | STS | SGR | Farge | Ammonium | Kalsium |
|-------------|-------------------------|------------|-------------|--------|--------|---------|--------|--------|--------|--------|----------|---------|
| Risa-Ha | Risa ved Haga (Risa-Ha) | | (MPN/100mL) | (µg/L) | (µg/L) | (µg/L) | (µg/L) | (mg/L) | (mg/L) | (mg/L) | (µg/L) | (µg/L) |
| | | 24.05.2022 | | 26 | 19 | | 140 | | | | | |
| | | 28.06.2022 | >100 | 100 | 73 | | 320 | | | 22 | | 37,7 |
| | | 20.07.2022 | 55 | 27 | 19 | | 160 | | | | | |
| | | 18.08.2022 | 60 | 30 | 16 | | 310 | | | 8 | | 38,2 |
| | | 22.09.2022 | 30 | 18 | 12 | | 150 | | | | | |
| | | 18.10.2022 | | 26 | 17 | | 410 | | | | | |
| | n | | 3 | 6 | 6 | | 6 | | | 2 | | 2 |
| | Min | | 30 | 18 | 12 | | 140 | | | 8 | | 37,7 |
| | Max | | 60 | 100 | 73 | | 410 | | | 22 | | 38,2 |
| | Median | | 55 | 26,5 | 18 | | 235 | | | 15 | | 37,95 |
| | Gjennomsnitt | | 48,3 | 37,8 | 26,0 | | 248,3 | | | 15,0 | | 38,0 |
| | StdDev | | 16,1 | 30,7 | 23,2 | | 113,4 | | | 9,9 | | 0,4 |
| | 90.persentil | | 59 | 65 | 46 | | 365 | | | 20,6 | | 38,15 |

| Stasjons ID | Stasjon navn | Dato | E-coli | Tot-P | P-PO4 | P-PO4-F | Tot-N | STS | SGR | Farge | Ammonium | Kalsium |
|-------------|----------------------------|------------|-------------|--------|--------|---------|--------|--------|--------|--------|----------|---------|
| Risa-Gud | Gudmundsbekken (Risa-2) | | (MPN/100mL) | (µg/L) | (µg/L) | (µg/L) | (µg/L) | (mg/L) | (mg/L) | (mg/L) | (µg/L) | (µg/L) |
| | | 24.05.2022 | | 23 | 12 | | 350 | | | | | |
| | | 28.06.2022 | >100 | 56 | 28 | | 520 | | 62 | | | 17,5 |
| | | 19.07.2022 | 24 | 13 | 11 | | 270 | | | | | |
| | | 18.08.2022 | 440 | 12 | 10 | | 220 | | 13 | | | 30,1 |
| | | 22.09.2022 | 520 | 10 | 8 | | 190 | | | | | |
| | | 18.10.2022 | | 19 | 9 | | 610 | | | | | |
| | n | | 3 | 6 | 6 | | 6 | | 2 | | | 2 |
| | Min | | 24 | 10 | 8 | | 190 | | 13 | | | 17,5 |
| | Max | | 520 | 56 | 28 | | 610 | | 62 | | | 30,1 |
| | Median | | 440 | 16 | 10,5 | | 310 | | 37,5 | | | 23,8 |
| | Gjennomsnitt | | 328,0 | 22,2 | 13,0 | | 360,0 | | 37,5 | | | 23,8 |
| | StdDev | | 266,3 | 17,3 | 7,5 | | 170,2 | | 34,6 | | | 8,9 |
| | 90.persentil | | 504,0 | 39,5 | 20,0 | | 565,0 | | 57,1 | | | 28,8 |

| Stasjons ID | Stasjon navn | Dato | E-coli | Tot-P | P-PO4 | P-PO4-F | Tot-N | STS | SGR | Farge | Ammonium | Kalsium |
|-------------|----------------------------|------------|-------------|--------|--------|---------|--------|--------|--------|--------|----------|---------|
| Gudm-2 | Gudmundsbekken (Gudm-2) | | (MPN/100mL) | (µg/L) | (µg/L) | (µg/L) | (µg/L) | (mg/L) | (mg/L) | (mg/L) | (µg/L) | (µg/L) |
| | | 24.05.2022 | | 15 | 7 | 2 | 420 | 2,8 | 1 | | | |
| | | 28.06.2022 | | 42 | 17 | 11 | 580 | Na | Na | | | |
| | | 19.07.2022 | | 11 | 7 | 5 | 310 | 2,8 | 1 | | | |
| | | 18.08.2022 | | 9 | 6 | 8 | 300 | 1,1 | 0,45 | | | |
| | | 22.09.2022 | | 6 | 5 | 3 | 270 | 2,9 | 0,85 | | | |
| | | 18.10.2022 | | 17 | 5 | 4 | 490 | 3 | 1,9 | | | |
| | n | | 6 | 6 | 6 | 6 | 6 | 5 | 5 | | | |
| | Min | | 6 | 5 | 2 | 270 | 1,1 | 0,45 | | | | |
| | Max | | 42 | 17 | 11 | 580 | 3 | 1,9 | | | | |
| | Median | | 13 | 6,5 | 4,5 | 365 | 2,8 | 1 | | | | |
| | Gjennomsnitt | | 16,7 | 7,8 | 5,5 | 395,0 | 2,5 | 1,0 | | | | |
| | StdDev | | 13,0 | 4,6 | 3,4 | 123,1 | 0,8 | 0,5 | | | | |
| | 90.percentil | | 29,5 | 12 | 9,5 | 535 | 2,96 | 1,54 | | | | |

| Stasjons ID | Stasjon navn | Dato | E-coli | Tot-P | P-PO4 | P-PO4-F | Tot-N | STS | SGR | Farge | Ammonium | Kalsium |
|-------------|---------------|------------|-------------|--------|--------|---------|--------|--------|--------|--------|----------|---------|
| Elst-Bjø3 | Bjørtombekken | | (MPN/100mL) | (µg/L) | (µg/L) | (µg/L) | (µg/L) | (mg/L) | (mg/L) | (mg/L) | (µg/L) | (µg/L) |
| | | 24.05.2022 | | 23 | 16 | | 270 | | | | | |
| | | 28.06.2022 | >100 | 38 | 27 | | 280 | | | 16 | | 48,1 |
| | | 19.07.2022 | 38 | 21 | 16 | | 270 | | | | | |
| | | 18.08.2022 | 650 | 24 | 20 | | 310 | | | 9 | | 51,1 |
| | | 22.09.2022 | 5 | 20 | 17 | | 330 | | | | | |
| | | 18.10.2022 | | 23 | 19 | | 610 | | | | | |
| | n | | 3 | 6 | 6 | | 6 | | | 2 | | 2 |
| | Min | | 5 | 20 | 16 | | 270 | | | 9 | | 48,1 |
| | Max | | 650 | 38 | 27 | | 610 | | | 16 | | 51,1 |
| | Median | | 38 | 23 | 18 | | 295 | | | 12,5 | | 49,6 |
| | Gjennomsnitt | | 231,0 | 24,8 | 19,2 | | 345,0 | | | 12,5 | | 49,6 |
| | StdDev | | 363,2 | 6,6 | 4,2 | | 132,0 | | | 4,9 | | 2,1 |
| | 90.persentil | | 527,6 | 31 | 23,5 | | 470 | | | 15,3 | | 50,8 |

| Stasjons ID | Stasjon navn | Dato | E-coli | Tot-P | P-PO4 | P-PO4-F | Tot-N | STS | SGR | Farge | Ammonium | Kalsium |
|-------------|-----------------------|------------|-------------|--------|--------|---------|--------|--------|--------|--------|----------|---------|
| Hæra-Øs | Hæra v/Østli (Hæra 1) | | (MPN/100mL) | (µg/L) | (µg/L) | (µg/L) | (µg/L) | (mg/L) | (mg/L) | (mg/L) | (µg/L) | (µg/L) |
| | | 24.05.2022 | | 34 | 24 | | 900 | | | | | |
| | | 28.06.2022 | >100 | 51 | 27 | | 1200 | | | 83 | | 16,2 |
| | | 19.07.2022 | 93 | 28 | 20 | | 800 | | | | | |
| | | 18.08.2022 | 280 | 32 | 16 | | 870 | | | 63 | | 17,3 |
| | | 22.09.2022 | 48 | 12 | 7 | | 970 | | | | | |
| | | 18.10.2022 | | 24 | 12 | | 2500 | | | | | |
| | n | | 3 | 6 | 6 | | 6 | | | 2 | | 2 |
| | Min | | 48 | 12 | 7 | | 800 | | | 63 | | 16,2 |
| | Max | | 280 | 51 | 27 | | 2500 | | | 83 | | 17,3 |
| | Median | | 93 | 30 | 18 | | 935 | | | 73 | | 16,75 |
| | Gjennomsnitt | | 140,3 | 30,2 | 17,7 | | 1206,7 | | | 73,0 | | 16,8 |
| | StdDev | | 123,0 | 12,8 | 7,5 | | 648,3 | | | 14,1 | | 0,8 |
| | 90.persentil | | 242,6 | 42,5 | 25,5 | | 1850 | | | 81 | | 17,19 |

| Stasjons ID | Stasjon navn | Dato | E-coli | Tot-P | P-PO4 | P-PO4-F | Tot-N | STS | SGR | Farge | Ammonium | Kalsium |
|-------------|----------------------|------------|-------------|--------|--------|---------|--------|--------|--------|--------|----------|---------|
| Hurd | Hurdalselva, nederst | | (MPN/100mL) | (µg/L) | (µg/L) | (µg/L) | (µg/L) | (mg/L) | (mg/L) | (mg/L) | (µg/L) | (µg/L) |
| | | 24.05.2022 | | 5 | 2 | | 340 | | | | | |
| | | 28.06.2022 | >100 | 15 | 4 | | 420 | | 49 | | | 3,23 |
| | | 19.07.2022 | 30 | 4 | 0,5 | | 340 | | | | | |
| | | 18.08.2022 | 440 | 9 | 2 | | 310 | | 51 | | | 2,74 |
| | | 22.09.2022 | 47 | 5 | 0,5 | | 270 | | | | | |
| | | 18.10.2022 | | 6 | 1 | | 550 | | | | | |
| | n | | 3 | 6 | 6 | | 6 | | | 2 | | 2 |
| | Min | | 30 | 4 | 0,5 | | 270 | | 49 | | | 2,74 |
| | Max | | 440 | 15 | 4 | | 550 | | 51 | | | 3,23 |
| | Median | | 47 | 5,5 | 1,5 | | 340 | | 50 | | | 2,985 |
| | Gjennomsnitt | | 172,3 | 7,3 | 1,7 | | 371,7 | | 50,0 | | | 3,0 |
| | StdDev | | 232,0 | 4,1 | 1,3 | | 100,3 | | 1,4 | | | 0,3 |
| | 90.persentil | | 361,4 | 12 | 3 | | 485 | | | | | |

| Stasjons ID | Stasjon navn | Dato | E-coli | Tot-P | P-PO4 | P-PO4-F | Tot-N | STS | SGR | Farge | Ammonium | Kalsium |
|-------------|-------------------------|------------|-------------|--------|--------|---------|--------|--------|--------|--------|----------|---------|
| Sen | Bekk i Eidsvoll sentrum | | (MPN/100mL) | (µg/L) | (µg/L) | (µg/L) | (µg/L) | (mg/L) | (mg/L) | (mg/L) | (µg/L) | (µg/L) |
| | | 24.05.2022 | | 55 | 43 | 22 | 990 | 3,8 | 2,5 | | | |
| | | 28.06.2022 | >100 | 1000 | 831 | 109 | 2900 | 667 | 625 | 100 | | 21,7 |
| | | 20.07.2022 | >2400 | 51 | 43 | 33 | 990 | 3,4 | 2,2 | | | |
| | | 18.08.2022 | >2400 | 78 | 62 | 51 | 1300 | 2,8 | 2 | 36 | | 30,8 |
| | | 22.09.2022 | | 56 | 50 | | 1100 | | | | | |
| | | 18.10.2022 | | 84 | 63 | 38 | 3900 | 11,1 | 9,1 | | | |
| | n | 3 | 6 | 6 | 5 | 6 | 5 | 5 | 2 | | | 2 |
| | Min | NA | 51 | 43 | 22 | 990 | 2,8 | 2 | 36 | | | 21,7 |
| | Max | NA | 1000 | 831 | 109 | 3900 | 667 | 625 | 100 | | | 30,8 |
| | Median | NA | 67 | 56 | 38 | 1200 | 3,8 | 2,5 | 68 | | | 26,25 |
| | Gjennomsnitt | NA | 220,7 | 182,0 | 50,6 | 1863,3 | 137,6 | 128,2 | 68,0 | | | 26,3 |
| | StdDev | NA | 382,0 | 318,1 | 34,3 | 1236,8 | 296,0 | 277,8 | 45,3 | | | 6,4 |
| | 90.persentil | NA | 542 | 447 | 85,8 | 3400 | 404,64 | 378,64 | 93,6 | | | 29,89 |

| Stasjons ID | Stasjon navn | Dato | E-coli | Tot-P | P-PO4 | P-PO4-F | Tot-N | STS | SGR | Farge | Ammonium | Kalsium |
|-------------|---------------------------|------------|-------------|--------|--------|---------|--------|--------|--------|--------|----------|---------|
| And | Andelva ved Bårlidalen | | (MPN/100mL) | (µg/L) | (µg/L) | (µg/L) | (µg/L) | (mg/L) | (mg/L) | (mg/L) | (µg/L) | (µg/L) |
| | | 24.05.2022 | | 18 | 6 | | 270 | | | | | |
| | | 28.06.2022 | >100 | 42 | 26 | | 320 | | 13 | | | 38,2 |
| | | 20.07.2022 | 86 | 18 | 9 | | 200 | | | | | |
| | | 18.08.2022 | 140 | 25 | 11 | | 390 | | 12 | | | 35,5 |
| | | 22.09.2022 | 9 | 13 | 7 | | 180 | | | | | |
| | | 18.10.2022 | | 13 | 6 | | 790 | | | | | |
| | n | | 3 | 6 | 6 | | 6 | | 2 | | | 2 |
| | Min | | 9 | 13 | 6 | | 180 | | 12 | | | 35,5 |
| | Max | | 140 | 42 | 26 | | 790 | | 13 | | | 38,2 |
| | Median | | 86 | 18 | 8 | | 295 | | 12,5 | | | 36,85 |
| | Gjennomsnitt | | 78,3 | 21,5 | 10,8 | | 358,3 | | 12,5 | | | 36,9 |
| | StdDev | | 65,8 | 11,0 | 7,7 | | 225,2 | | 0,7 | | | 1,9 |
| | 90.percentil | | 129,2 | 33,5 | 18,5 | | 590 | | 12,9 | | | 37,93 |

| Stasjons ID | Stasjon navn | Dato | E-coli | Tot-P | P-PO4 | P-PO4-F | Tot-N | STS | SGR | Farge | Ammonium | Kalsium |
|-------------|--------------|------------|-------------|--------|--------|---------|--------|--------|--------|--------|----------|---------|
| Løykj | Løykjebekken | | (MPN/100mL) | (µg/L) | (µg/L) | (µg/L) | (µg/L) | (mg/L) | (mg/L) | (mg/L) | (µg/L) | (µg/L) |
| | | 24.05.2022 | | 25 | 16 | 5 | 320 | 4 | 2,7 | | | |
| | | 28.06.2022 | >100 | 720 | 398 | 19 | 2500 | 503 | 449 | 88 | | 16,1 |
| | | 20.07.2022 | 1700 | 28 | 21 | 11 | 330 | 3,6 | 2,6 | | | |
| | | 18.08.2022 | 490 | 36 | 27 | 14 | 420 | 2,9 | 0,8 | 22 | | 47,7 |
| | | 22.09.2022 | 81 | 10 | 7 | 2 | 130 | 3 | 2 | | | |
| | | 18.10.2022 | | 64 | 38 | 17 | 1700 | 15,9 | 13,7 | | | |
| | n | | 3 | 6 | 6 | 6 | 6 | 6 | 6 | 2 | | 2 |
| | Min | | 81 | 10 | 7 | 2 | 130 | 2,9 | 0,8 | 22 | | 16,1 |
| | Max | | 1700 | 720 | 398 | 19 | 2500 | 503 | 449 | 88 | | 47,7 |
| | Median | | 490 | 32 | 24 | 12,5 | 375 | 3,8 | 2,65 | 55 | | 31,9 |
| | Gjennomsnitt | | 757,0 | 147,2 | 84,5 | 11,3 | 900,0 | 88,7 | 78,5 | 55,0 | | 31,9 |
| | StdDev | | 841,9 | 281,2 | 153,9 | 6,7 | 967,9 | 203,0 | 181,6 | 46,7 | | 22,3 |
| | 90.persentil | | 1458 | 392 | 218 | 18 | 2100 | 259,45 | 231,35 | 81,4 | | 44,54 |

| Stasjons ID | Stasjon navn | Dato | E-coli | Tot-P | P-PO4 | P-PO4-F | Tot-N | STS | SGR | Farge | Ammonium | Kalsium |
|-------------|--------------|------------|-------------|--------|--------|---------|--------|--------|--------|--------|----------|---------|
| Nessa | Nessa (Ne1) | | (MPN/100mL) | (µg/L) | (µg/L) | (µg/L) | (µg/L) | (mg/L) | (mg/L) | (mg/L) | (µg/L) | (µg/L) |
| | | 24.05.2022 | | 26 | 16 | 8 | 810 | 5 | 3,5 | | | |
| | | 28.06.2022 | >100 | 240 | 158 | 39 | 1900 | 113 | 97,5 | 51 | | 26,5 |
| | | 20.07.2022 | 1700 | 34 | 26 | 15 | 1200 | 7 | 5,4 | | | |
| | | 18.08.2022 | 1100 | 59 | 34 | 16 | 2300 | 23,2 | 20,4 | 39 | | 24,4 |
| | | 22.09.2022 | 150 | 20 | 11 | 8 | 1100 | 3 | 0,85 | | | |
| | | 18.10.2022 | | 53 | 36 | 24 | 2900 | 10 | 8,9 | | | |
| | n | | 3 | 6 | 6 | 6 | 6 | 6 | 6 | 2 | | 2 |
| | Min | | 150 | 20 | 11 | 8 | 810 | 3 | 0,85 | 39 | | 24,4 |
| | Max | | 1700 | 240 | 158 | 39 | 2900 | 113 | 97,5 | 51 | | 26,5 |
| | Median | | 1100 | 43,5 | 30 | 15,5 | 1550 | 8,5 | 7,15 | 45 | | 25,45 |
| | Gjennomsnitt | | 983,3 | 72,0 | 46,8 | 18,3 | 1701,7 | 26,9 | 22,8 | 45,0 | | 25,5 |
| | StdDev | | 781,6 | 83,7 | 55,3 | 11,7 | 805,2 | 42,8 | 37,2 | 8,5 | | 1,5 |
| | 90.persentil | | 1580 | 149,5 | 97 | 31,5 | 2600 | 68,1 | 58,95 | 49,8 | | 26,29 |

| Stasjons ID | Stasjon navn | Dato | E-coli | Tot-P | P-PO4 | P-PO4-F | Tot-N | STS | SGR | Farge | Ammonium | Kalsium |
|-------------|--------------------------------------|------------|-------------|--------|--------|---------|--------|--------|--------|--------|----------|---------|
| Hols-Ne | Holsjøvassdraget, Nedre del (Hs2) | | (MPN/100mL) | (µg/L) | (µg/L) | (µg/L) | (µg/L) | (mg/L) | (mg/L) | (mg/L) | (µg/L) | (µg/L) |
| | | 24.05.2022 | | 16 | 4 | | 250 | | | | | |
| | | 28.06.2022 | >100 | 26 | 9 | | 260 | | 106 | | | 3,29 |
| | | 20.07.2022 | 27 | 16 | 4 | | 270 | | | | | |
| | | 18.08.2022 | 130 | 39 | 18 | | 610 | | 89 | | | 8,88 |
| | | 22.09.2022 | 9 | 16 | 3 | | 270 | | | | | |
| | | 18.10.2022 | | 16 | 3 | | 560 | | | | | |
| | n | | 3 | 6 | 6 | | 6 | | 2 | | | 2 |
| | Min | | 9 | 16 | 3 | | 250 | | 89 | | | 3,29 |
| | Max | | 130 | 39 | 18 | | 610 | | 106 | | | 8,88 |
| | Median | | 27 | 16 | 4 | | 270 | | 97,5 | | | 6,085 |
| | Gjennomsnitt | | 55,3 | 21,5 | 6,8 | | 370,0 | | 97,5 | | | 6,1 |
| | StdDev | | 65,3 | 9,5 | 5,9 | | 167,5 | | 12,0 | | | 4,0 |
| | 90.percentil | | 109,4 | 32,5 | 13,5 | | 585 | | 104,3 | | | 8,321 |

| Stasjons ID | Stasjon navn | Dato | E-coli | Tot-P | P-PO4 | P-PO4-F | Tot-N | STS | SGR | Farge | Ammonium | Kalsium |
|-------------|-----------------|------------|-------------|--------|--------|---------|--------|--------|--------|--------|----------|---------|
| Vo-N-Røkh | Bekk ved Måevja | | (MPN/100mL) | (µg/L) | (µg/L) | (µg/L) | (µg/L) | (mg/L) | (mg/L) | (mg/L) | (µg/L) | (µg/L) |
| | | 24.05.2022 | | 50 | 42 | 3 | 620 | 17,3 | 15,2 | | | |
| | | 28.06.2022 | >100 | 46 | 27 | 10 | 1000 | 14 | 12,3 | 147 | | 16,7 |
| | | 20.07.2022 | 220 | 68 | 18 | 0,5 | 1000 | 9 | 2,8 | | | |
| | | 18.08.2022 | 180 | 35 | 30 | 4 | 510 | 6,4 | 4,8 | 12 | | 71,3 |
| | | 22.09.2022 | 44 | 21 | 20 | 3 | 430 | 4,4 | 3,3 | | | |
| | | 18.10.2022 | | 23 | 15 | 11 | 2200 | 3,3 | 2,6 | | | |
| | n | | 3 | 6 | 6 | 6 | 6 | 6 | 6 | 2 | | 2 |
| | Min | | 44 | 21 | 15 | 0,5 | 430 | 3,3 | 2,6 | 12 | | 16,7 |
| | Max | | 220 | 68 | 42 | 11 | 2200 | 17,3 | 15,2 | 147 | | 71,3 |
| | Median | | 180 | 40,5 | 23,5 | 3,5 | 810 | 7,7 | 4,05 | 79,5 | | 44 |
| | Gjennomsnitt | | 148,0 | 40,5 | 25,3 | 5,3 | 960,0 | 9,1 | 6,8 | 79,5 | | 44,0 |
| | StdDev | | 92,3 | 17,9 | 9,9 | 4,2 | 654,2 | 5,6 | 5,5 | 95,5 | | 38,6 |
| | 90.persentil | | 212 | 59 | 36 | 10,5 | 1600 | 15,65 | 13,75 | 133,5 | | 65,84 |

| Stasjons ID | Stasjon navn | Dato | E-coli | Tot-P | P-PO4 | P-PO4-F | Tot-N | STS | SGR | Farge | Ammonium | Kalsium |
|-------------|------------------|------------|-------------|--------|--------|---------|--------|--------|--------|--------|----------|---------|
| Vo-N-Dokn | Bekk bed Dokknes | | (MPN/100mL) | (µg/L) | (µg/L) | (µg/L) | (µg/L) | (mg/L) | (mg/L) | (mg/L) | (µg/L) | (µg/L) |
| | | 24.05.2022 | | 44 | 39 | 5 | 2200 | 24,8 | 22,9 | | | |
| | | 28.06.2022 | >100 | 66 | 44 | 13 | 2000 | 46,2 | 42,1 | 57 | | 21,8 |
| | | 19.07.2022 | 310 | 20 | 13 | 12 | 1900 | 1,8 | 0,5 | | | |
| | | 18.08.2022 | 2400 | 42 | 28 | 16 | 1900 | 15,2 | 10,4 | 51 | | 26,1 |
| | | 22.09.2022 | 62 | 19 | 15 | 7 | 2000 | 6,9 | 5,3 | | | |
| | | 18.10.2022 | | 32 | 21 | 7 | 3300 | 14,2 | 12,7 | | | |
| | n | | 3 | 6 | 6 | 6 | 6 | 6 | 2 | | | 2 |
| | Min | | 62 | 19 | 13 | 5 | 1900 | 1,8 | 0,5 | 51 | | 21,8 |
| | Max | | 2400 | 66 | 44 | 16 | 3300 | 46,2 | 42,1 | 57 | | 26,1 |
| | Median | | 310 | 37 | 24,5 | 9,5 | 2000 | 14,7 | 11,55 | 54 | | 23,95 |
| | Gjennomsnitt | | 924,0 | 37,2 | 26,7 | 10,0 | 2216,7 | 18,2 | 15,7 | 54,0 | | 24,0 |
| | StdDev | | 1284,3 | 17,6 | 12,7 | 4,3 | 541,9 | 15,8 | 15,0 | 4,2 | | 3,0 |
| | 90.persentil | | 1982 | 55 | 41,5 | 14,5 | 2750 | 35,5 | 32,5 | 56,4 | | 25,67 |

| Stasjons ID | Stasjon navn | Dato | E-coli | Tot-P | P-PO4 | P-PO4-F | Tot-N | STS | SGR | Farge | Ammonium | Kalsium |
|-------------|---------------|------------|-------------|--------|--------|---------|--------|--------|--------|--------|----------|---------|
| Vo-S-Brå | Brådalsbekken | | (MPN/100mL) | (µg/L) | (µg/L) | (µg/L) | (µg/L) | (mg/L) | (mg/L) | (mg/L) | (µg/L) | (µg/L) |
| | | 24.05.2022 | | 53 | 35 | 17 | 930 | 6,7 | 4 | | | |
| | | 28.06.2022 | >100 | 49 | 22 | 13 | 890 | 10 | 8,2 | 302 | | 4,39 |
| | | 20.07.2022 | 99 | 140 | 99 | 48 | 2300 | 18,3 | 13,7 | | | |
| | | 18.08.2022 | 180 | 140 | 108 | 80 | 970 | 3,6 | 2,4 | 135 | | 13,5 |
| | | 22.09.2022 | 870 | 95 | 78 | 62 | 2200 | 5 | <1,7 | | | |
| | | 18.10.2022 | | 38 | 16 | 11 | 2200 | 6,8 | 4,6 | | | |
| | n | | 3 | 6 | 6 | 6 | 6 | 6 | 5 | 2 | | 2 |
| | Min | | 99 | 38 | 16 | 11 | 890 | 3,6 | 2,4 | 135 | | 4,39 |
| | Max | | 870 | 140 | 108 | 80 | 2300 | 18,3 | 13,7 | 302 | | 13,5 |
| | Median | | 180 | 74 | 56,5 | 32,5 | 1585 | 6,75 | 4,6 | 218,5 | | 8,945 |
| | Gjennomsnitt | | 383,0 | 85,8 | 59,7 | 38,5 | 1581,7 | 8,4 | 6,6 | 218,5 | | 8,9 |
| | StdDev | | 423,7 | 46,2 | 40,4 | 29,1 | 715,2 | 5,3 | 4,5 | 118,1 | | 6,4 |
| | 90.persentil | | 732 | 140 | 103,5 | 71 | 2250 | 14,15 | 11,5 | 285,3 | | 12,589 |

| Stasjons ID | Stasjon navn | Dato | E-coli | Tot-P | P-PO4 | P-PO4-F | Tot-N | STS | SGR | Farge | Ammonium | Kalsium |
|-------------|------------------------|------------|-------------|--------|--------|---------|--------|--------|--------|--------|----------|---------|
| Vo-S-Gul | Ilebekken ved Gullhaug | | (MPN/100mL) | (µg/L) | (µg/L) | (µg/L) | (µg/L) | (mg/L) | (mg/L) | (mg/L) | (µg/L) | (µg/L) |
| | | 24.05.2022 | | 50 | 26 | 6 | 920 | 23,6 | 19,9 | | | |
| | | 28.06.2022 | >100 | 45 | 20 | 11 | 1200 | 10,3 | 8,2 | 201 | | 9,84 |
| | | 20.07.2022 | 50 | 42 | 24 | 17 | 1400 | 5,4 | 3,2 | | | |
| | | 18.08.2022 | 44 | 35 | 13 | 7 | 940 | 4,8 | 3,2 | 61 | | 39,6 |
| | | 22.09.2022 | 48 | 19 | 8 | 5 | 940 | 2,3 | 0,9 | | | |
| | | 18.10.2022 | | 66 | 29 | 12 | 7300 | 19,8 | 17,6 | | | |
| | n | | 3 | 6 | 6 | 6 | 6 | 6 | 6 | 2 | | 2 |
| | Min | | 44 | 19 | 8 | 5 | 920 | 2,3 | 0,9 | 61 | | 9,84 |
| | Max | | 50 | 66 | 29 | 17 | 7300 | 23,6 | 19,9 | 201 | | 39,6 |
| | Median | | 48 | 43,5 | 22 | 9 | 1070 | 7,85 | 5,7 | 131 | | 24,72 |
| | Gjennomsnitt | | 47,3 | 42,8 | 20,0 | 9,7 | 2116,7 | 11,0 | 8,8 | 131,0 | | 24,7 |
| | StdDev | | 3,1 | 15,6 | 8,1 | 4,5 | 2546,4 | 8,7 | 8,1 | 99,0 | | 21,0 |
| | 90.percentil | | 49,6 | 58 | 27,5 | 14,5 | 4350 | 21,7 | 18,75 | 187 | | 36,624 |

| Stasjons ID | Stasjon navn | Dato | E-coli | Tot-P | P-PO4 | P-PO4-F | Tot-N | STS | SGR | Farge | Ammonium | Kalsium |
|-------------|-------------------|------------|-------------|--------|--------|---------|--------|--------|--------|--------|----------|---------|
| Vo-S-Fos | Bekk ved Fosserud | | (MPN/100mL) | (µg/L) | (µg/L) | (µg/L) | (µg/L) | (mg/L) | (mg/L) | (mg/L) | (µg/L) | (µg/L) |
| | | 24.05.2022 | | 49 | 34 | 19 | 1600 | 4,4 | 3 | | | |
| | | 28.06.2022 | >100 | 97 | 67 | 44 | 3100 | 13,6 | 11,5 | 179 | | 25,8 |
| | | 20.07.2022 | >2400 | 62 | 50 | 39 | 1900 | 4,4 | 2,8 | | | |
| | | 18.08.2022 | 140 | 50 | 39 | 36 | 1500 | 2,2 | 0,9 | 35 | | 42,7 |
| | | 22.09.2022 | | 31 | 25 | 19 | 1900 | 1,9 | 0,9 | | | |
| | | 18.10.2022 | | 110 | 68 | 33 | 9400 | 19,5 | 17,1 | | | |
| | n | | 2 | 6 | 6 | 6 | 6 | 6 | 2 | | | 2 |
| | Min | | 140 | 31 | 25 | 19 | 1500 | 1,9 | 0,9 | 35 | | 25,8 |
| | Max | | >2400 | 110 | 68 | 44 | 9400 | 19,5 | 17,1 | 179 | | 42,7 |
| | Median | | | 56 | 44,5 | 34,5 | 1900 | 4,4 | 2,9 | 107 | | 34,25 |
| | Gjennomsnitt | | | 66,5 | 47,2 | 31,7 | 3233,3 | 7,7 | 6,0 | 107,0 | | 34,3 |
| | StdDev | | | 30,6 | 17,7 | 10,5 | 3074,8 | 7,2 | 6,7 | 101,8 | | 12,0 |
| | 90.persentil | | >2400 | 103,5 | 67,5 | 41,5 | 6250 | 16,55 | 14,3 | 164,6 | | 41,01 |

| Stasjons ID | Stasjon navn | Dato | E-coli | Tot-P | P-PO4 | P-PO4-F | Tot-N | STS | SGR | Farge | Ammonium | Kalsium |
|-------------|--|------------|-------------|--------|--------|---------|--------|--------|--------|--------|----------|---------|
| Sten-Ne | Julrudsåa/Stensbyelva ved Berger (Ste 2) | | (MPN/100mL) | (µg/L) | (µg/L) | (µg/L) | (µg/L) | (mg/L) | (mg/L) | (mg/L) | (µg/L) | (µg/L) |
| | | 24.05.2022 | | 11 | 6 | | 620 | | | | | |
| | | 28.06.2022 | >100 | 22 | 12 | | 740 | | | 31 | | 13,8 |
| | Utgår | | | | | | | | | | | |
| | Utgår | | | | | | | | | | | |
| | Utgår | | | | | | | | | | | |
| | Utgår | | | | | | | | | | | |
| | n | | | 2 | 2 | | 2 | | | 1 | | 1 |

| Stasjons ID | Stasjon navn | Dato | E-coli | Tot-P | P-PO4 | P-PO4-F | Tot-N | STS | SGR | Farge | Ammonium | Kalsium |
|-------------|--------------------|------------|-------------|--------|--------|---------|--------|--------|--------|--------|----------|---------|
| Sten-Mi | Stensbyelva Midtre | | (MPN/100mL) | (µg/L) | (µg/L) | (µg/L) | (µg/L) | (mg/L) | (mg/L) | (mg/L) | (µg/L) | (µg/L) |
| | | 19.07.2022 | 96 | 9 | 5 | | 740 | | | | | |
| | | 18.08.2022 | 610 | 12 | 5 | | 720 | | | 25 | | 14,9 |
| | | 22.09.2022 | 54 | 4 | 2 | | 590 | | | | | |
| | | 18.10.2022 | | 6 | 2 | | 1200 | | | | | |
| | n | | 3 | 4 | 4 | | 4 | | | 1 | | 1 |
| | Min | | 54 | 4 | 2 | | 590 | | | 25 | | 14,9 |
| | Max | | 610 | 12 | 5 | | 1200 | | | 25 | | 14,9 |
| | Median | | 96 | 7,5 | 3,5 | | 730 | | | 25 | | 14,9 |
| | Gjennomsnitt | | 253,3 | 7,8 | 3,5 | | 812,5 | | | 25,0 | | 14,9 |
| | StdDev | | 309,6 | 3,5 | 1,7 | | 266,8 | | | NA | | NA |
| | 90.persentil | | 507,2 | 11,1 | 5 | | 1062 | | | 25 | | 14,9 |

NIVA: Norges ledende kompetansesenter på vannmiljø

NIVA gir offentlig vannforvaltning, næringsliv og allmennheten grunnlag for god vannforvaltning gjennom oppdragsbasert forsknings-, utrednings- og utviklingsarbeid. NIVA kjennetegnes ved stor faglig bredde og godt kontaktnett til fagmiljøer i inn- og utland. Faglig tyngde, tverrfaglig arbeidsform og en helhetlig tilnærningsmåte er vårt grunnlag for å være en god rådgiver for forvaltning og samfunnsliv.



Økernveien 94 · 0579 Oslo
Telefon: 02348 · Faks: 22 18 52 00
www.niva.no · post@niva.no